

ปฏิกริยาร่วมมือระหว่างมวลรวมคองกรี้ตรีไซเคิล
และจีโอกริดเส้นใยธรรมชาติ



โครงการนี้เป็นส่วนหนึ่งของการศึกษาตามหลักสูตรปริญญาวิศวกรรมศาสตรมหาบัณฑิต
สาขาวิชาการบริหารงานก่อสร้างและสาธารณูปโภค
มหาวิทยาลัยเทคโนโลยีสุรนารี
ปีการศึกษา 2560

ปฏิกริยาร่วมมือระหว่างมวลรวมคองกรีตรีไซเคิล และจีโอกรีตเส้นใยธรรมชาติ

มหาวิทยาลัยเทคโนโลยีสุรนารี อนุมัติให้นำโครงการฉบับนี้เป็นส่วนหนึ่งของการศึกษา
ตามหลักสูตรปริญญาวิทยาศาสตรบัณฑิต

คณะกรรมการสอบโครงการ

(ศ. ดร.สุขสันต์ หอพิบูลสุข)

ประธานกรรมการ

(รศ. ดร.อวิรุทธิ์ ชินกุลกิจนิวัฒน์)

กรรมการ (อาจารย์ที่ปรึกษาโครงการ)

(ดร.อภิชาติ สุดดีพงษ์)

กรรมการ

(ดร.อิทธิกร ภูมิพันธ์)

(รศ. ร.อ. ดร.กนต์ธร ชำนิประศาสน์)

คณบดีสำนักวิชาวิศวกรรมศาสตร์

ชื่อนินนัท์ นันทะเสนา : ปฏิบัติการร่วมเดือนระหว่างมวลรวมคอนกรีตรีไซเคิล และ
 จีโอกรีตเส้นใยธรรมชาติ (SHEAR INTERACTION BETWEEN RECYCLED
 CONCRETE AGGREGATE AND NATURAL FIBER GEOGRIDS) อาจารย์ที่ปรึกษา :
 รองศาสตราจารย์ ดร.อวิรุทธิ์ ชินกุลกิจนิวัฒน์

งานวิจัยนี้มีวัตถุประสงค์เพื่อศึกษาปฏิสัมพันธ์ระหว่างมวลรวมคอนกรีตรีไซเคิล และจีโอกรีตเส้นใยธรรมชาติ ในพจน์ของการกระจายขนาดผลของมวลรวมคอนกรีตรีไซเคิล กำลังรับแรงดึง และขนาดช่องเปิดของจีโอกรีตเส้นใยธรรมชาติ มวลรวมคอนกรีตรีไซเคิลที่ใช้ในการศึกษาถูกเตรียมให้มีการกระจายขนาดผลแตกต่างกันสองแบบ คือ 1) การกระจายขนาดผลตามขอบเขตต่าง และ 2) การกระจายขนาดผลตามขอบเขตบน ใกล้เคียงตามมาตรฐานของกรมทางหลวง สำหรับจีโอกรีตเส้นใยธรรมชาติได้จากการถักสานเส้นใยปอแบบเรียบ (Plain pattern) ให้มีขนาดช่องเปิดแตกต่างกันสองขนาด ได้แก่ 7 และ 21 มิลลิเมตร การทดสอบในห้องปฏิบัติการประกอบด้วย ทำการทดสอบหาค่าความถ่วงจำเพาะ ค่าซีบีอาร์ และ ทดสอบการบดอัดด้วยพลังงานแบบสูงกว่ามาตรฐาน (Modified Proctor energy) ของมวลรวมทั้งสองของขนาด การทดสอบคุณสมบัติทางวิศวกรรมของจีโอกรีตเส้นใยธรรมชาติ และการทดสอบปฏิสัมพันธ์ระหว่างจีโอกรีตเส้นใยธรรมชาติและมวลรวมคอนกรีตรีไซเคิล ซึ่งดำเนินการทดสอบด้วยชุดทดสอบแรงเฉือนตรงขนาดใหญ่ (Large-scale direct shear test) ผลการทดสอบถูกนำมาเปรียบเทียบกับผลทดสอบแรงเฉือนของมวลรวมคอนกรีตรีไซเคิลปราศจาก การเสริมจีโอกรีต พบว่า ปฏิสัมพันธ์ระหว่างมวลรวมคอนกรีตรีไซเคิลและ จีโอกรีตเส้นใยธรรมชาติขึ้นอยู่กับขนาดของช่องเปิดของจีโอกรีต (D) และปริมาณอนุภาค ที่มีขนาดเล็กกว่าช่องเปิดของจีโอกรีต (F_D) นอกจากนี้ยังพบว่า ความสัมพันธ์ระหว่าง สัมประสิทธิ์กำลังร่วมเดือนของมวลรวมคอนกรีตรีไซเคิลเสริมจีโอกรีตเส้นใยธรรมชาติ (α) และอัตราส่วนระหว่างขนาดช่องเปิดและปริมาณอนุภาคที่มีขนาดเล็กกว่าช่องเปิดของจีโอกรีตของมวลรวมคอนกรีตรีไซเคิลเสริมจีโอกรีตเส้นใยธรรมชาติได้ (D/F_D) มีลักษณะเป็นเส้นตรง ซึ่งความสัมพันธ์ดังกล่าวมีประโยชน์ในการประมาณค่า สัมประสิทธิ์กำลังร่วมเดือนของ มวลรวมคอนกรีตรีไซเคิลเสริมจีโอกรีตเส้นใยธรรมชาติ เมื่อทราบการกระจายขนาดของ มวลรวมคอนกรีตรีไซเคิลและขนาดช่องเปิดของจีโอกรีต

สาขาวิชา การบริหารงานก่อสร้างและสาธารณูปโภค
 ปีการศึกษา 2560

ลายมือชื่อนักศึกษา _____
 ลายมือชื่ออาจารย์ที่ปรึกษา _____

CHANINNUN NUNTASENA: SHEAR INTERACTION BETWEEN
RECYCLED CONCRETE AGGREGATE AND NATURAL FIBER
GEOGRIDS. ADVISOR : ASSOC. PROF. AVIRUT CHINKULKIJNIWAT,
Ph.D.

This research aims to study shear interaction between recycled concrete aggregate (RCA) and natural fiber geogrids in term of particle size distribution of recycled concrete aggregate, tensile strength and aperture size of natural fiber geogrids. Two particle size distribution curves of RCA samples (recycled concrete aggregate with lower particle size distribution curve and recycled concrete aggregate with upper particle size distribution curve) were prepared based on the specification from Department of Highways, Thailand. Two different aperture sizes (7 and 21 mm) of natural fiber geogrids (plain pattern in machine direction) were used in this study. The laboratory tests on RCA sample carried out in this study include specific gravity, compaction test under modified Proctor energy, CBR and direct shear tests. Direct shear test on RCA and interface interaction between natural fiber geogrid and RCA were conducted using a large-scale direct shear test apparatus. The interface shear strength was found to be highly dependent upon the aperture width of the natural fiber geogrids, D , as well as the RCA particles finer than the aperture width of natural fiber geogrids, F_D . Based on the analysis of test results, a linear relationship between interface shear strength coefficient (α) which is the ratio of interface shear strength of natural fiber geogrids/RCA and shear strength of RCA was proposed, with respect to the D/F_D ratio. The proposed relationship will be useful for a rapid assessment of the interface shear strength coefficient of natural fiber geogrid-reinforced RCA based on the aperture size of natural fiber geogrids and gradation of RCA.

School of Construction and Infrastructure Management Student's Signature _____
Academic Year 2017 Advisor's Signature _____

กิตติกรรมประกาศ

การจัดทำโครงการนี้ สำเร็จได้ด้วยดี ข้าพเจ้าขอขอบพระคุณอาจารย์ที่ปรึกษาโครงการ รองศาสตราจารย์ ดร.อวิรุทธิ์ ชินกุลกิจนิวัฒน์ ผู้ให้แนวคิด ให้โอกาส ให้คำแนะนำรวมทั้งช่วย แก้ปัญหา ตรวจสอบเนื้อหาอย่างละเอียด รวดเร็วอันเป็นความกรุณาและคุณประโยชน์ต่อผู้จัดทำ อย่างยิ่ง

ขอขอบพระคุณ ศาสตราจารย์ ดร.สุขสันต์ หอพิบูลสุข ประธานกรรมการที่ปรึกษา โครงการมหำบัณฑิต ที่ได้ทุ่มเทเวลา อบรมพร่ำสอนทั้งด้านคุณวุฒิและคุณธรรม ซึ่งแนวทางใน การศึกษาให้คำแนะนำและข้อคิดเห็น

ขอขอบพระคุณ ดร.อภิชาติ สุกดีพงษ์ กรรมการที่ปรึกษาร่วมโครงการมหำบัณฑิต ที่ชี้ แนวทางในการศึกษาให้คำแนะนำและข้อคิดเห็นทางด้านวัสดุที่ใช้ทดสอบ การเตรียมการทดสอบ วิธีการทดสอบ รวมถึงการสรุปและจัดทำเอกสาร ตลอดจนการสนับสนุนในด้านต่างๆ จน โครงการมหำบัณฑิตครั้งนี้สำเร็จไปด้วยดี ซึ่งผู้เขียนมีความซาบซึ้งใจเป็นอย่างดี

ขอขอบคุณเจ้าหน้าที่ศูนย์เครื่องมือวิทยาศาสตร์และเทคโนโลยี ประจำห้องปฏิบัติการ คอนกรีตและเทคโนโลยี และห้องปฏิบัติการปฐพีกลศาสตร์ ทุกท่านที่ให้ความช่วยเหลือในการ จัดหาวัสดุอุปกรณ์เครื่องมือในการทดสอบ รวมถึงเอื้อเฟื้อสถานที่ในการทดสอบตลอดระยะเวลา ในการศึกษาครั้งนี้

ขอบคุณเพื่อนพี่น้อง รุ่นที่ 15 ทุกท่านที่ช่วยเหลือกันฝ่าฟันมาจนถึงจุดหมายปลายทาง

และสุดท้ายขอกราบขอบพระคุณบิดา มารดา ขอขอบคุณพี่ชายและครอบครัว ที่สนับสนุน และให้กำลังใจในการเรียน ช่วยเหลือให้สามารถทำโครงการนี้สำเร็จด้วยดี โครขอขอบพระคุณเป็น อย่างสูงมา ณ โอกาสนี้

ชนินันท์ นันทะเสนา

สารบัญ

| | หน้า |
|--|------|
| บทคัดย่อภาษาไทย..... | ก |
| บทคัดย่อภาษาอังกฤษ..... | ข |
| กิตติกรรมประกาศ..... | ค |
| สารบัญ..... | ง |
| สารบัญตาราง..... | ฉ |
| สารบัญรูปภาพ..... | ช |
| 1 บทนำ..... | 1 |
| 1.1 ความเป็นมาและความสำคัญของปัญหา..... | 1 |
| 1.2 วัตถุประสงค์..... | 2 |
| 1.3 ขอบเขตของการศึกษา..... | 2 |
| 1.4 ประโยชน์ที่คาดว่าจะได้รับ..... | 3 |
| 2 ทฤษฎีและงานวิจัยที่เกี่ยวข้อง..... | 4 |
| 2.1 วัสดุมวลรวมคอนกรีตรีไซเคิล..... | 4 |
| 2.2 กำลังรับแรงเฉือนตรงของมวลรวมคอนกรีตรีไซเคิล..... | 5 |
| 2.3 จีโอกรีด..... | 5 |
| 2.4 ปฏิกริยาร่วมเดือนระหว่างวัสดุสังเคราะห์และมวลรวมคอนกรีตรีไซเคิล..... | 6 |
| 2.5 แนวคิดพื้นฐานของการเสริมแรงในดิน..... | 13 |
| 2.5.1 สารสำคัญเกี่ยวกับทฤษฎีการปรับปรุงคุณภาพดินด้วยวัสดุเสริมแรง (Earth Reinforcement)..... | 13 |
| 2.5.2 สารสำคัญเกี่ยวกับการใช้เส้นใยธรรมชาติเป็นวัสดุเสริมแรง (Natural Fiber for Earth Reinforcement)..... | 15 |
| 2.5.3 คุณสมบัติและความเป็นไปได้ในการใช้เส้นใยธรรมชาติ เพื่อผลิตเป็นวัสดุเสริมแรง..... | 16 |
| 2.5.4 ทฤษฎีการใช้งานเส้นใยธรรมชาติที่มีอายุการใช้งานจำกัด (Limited Life Geotextiles - LLGs Theory)..... | 19 |
| 2.6 ประเภทวัสดุที่ใช้เสริมแรง..... | 25 |
| 2.6.1 Inextensible Reinforcement..... | 25 |
| 2.6.2 Extensible Reinforcement..... | 25 |

| | | |
|-------|--|----|
| 2.7 | การประยุกต์ใช้ตาข่ายเสริมแรง (Geogrid)..... | 25 |
| 2.7.1 | ช่วยในการก่อสร้างบนดินอ่อน..... | 26 |
| 2.7.2 | เสริมในโครงสร้างชั้นทาง..... | 26 |
| 2.7.3 | กระบวนการรับแรงโดยตาข่ายเสริมแรง (Geogrid)..... | 26 |
| 2.8 | วิธีการทดสอบหาความต้านทานแรงเฉือนของผิวระหว่างดินและ วัสดุเสริมกำลัง..... | 27 |
| 2.8.1 | การทดสอบโดยวิธีเฉือนโดยตรง (Direct shear Test)..... | 27 |
| 2.8.2 | การทดสอบกำลังรับแรงดึงออก (Pullout Test)..... | 28 |
| 2.9 | การใช้เส้นใยธรรมชาติเป็นวัสดุเสริมแรง..... | 28 |
| 3 | วิธีดำเนินการศึกษา..... | 31 |
| 3.1 | ขั้นตอนการดำเนินงาน..... | 31 |
| 3.2 | วิธีการดำเนินงานและเครื่องมือที่ใช้ในการศึกษา..... | 31 |
| 3.2.1 | ลักษณะการถักสารเส้นใย..... | 31 |
| 3.2.2 | วัสดุมวลรวมคอนกรีตรีไซเคิล (RCA)..... | 32 |
| 3.2.3 | การทดสอบกำลังรับแรงเฉือนของวัสดุเสริมแรง (Tensile Test)..... | 32 |
| 3.2.4 | การทดสอบโดยวิธีเฉือนตรง (Direct Shear Test)..... | 33 |
| 3.3 | การวิเคราะห์ข้อมูล..... | 34 |
| 4 | ผลการศึกษาและวิเคราะห์ผล..... | 35 |
| 4.1 | การทดสอบในห้องปฏิบัติการ..... | 35 |
| 4.1.1 | การเตรียมตัวอย่าง..... | 35 |
| 4.1.2 | การทดสอบแรงเฉือนตรงของมวลรวมคอนกรีตรีไซเคิลปราศจาก การเสริมจีโอกรีตเส้นใยธรรมชาติ และการทดสอบปฏิกริยาร่วมเฉือน ระหว่างมวลรวมคอนกรีตรีไซเคิล และจีโอกรีตเส้นใยธรรมชาติ..... | 38 |
| 4.2 | ผลการทดสอบ..... | 39 |
| 4.2.1 | กำลังต้านทานแรงเฉือนของมวลรวมคอนกรีตรีไซเคิล (RCA) ปราศจาก การเสริม จีโอกรีตเส้นใยธรรมชาติ..... | 39 |
| 4.2.2 | ปฏิกริยาร่วมเฉือนระหว่างมวลรวมคอนกรีตรีไซเคิล (RCA) และ จีโอกรีตเส้นใยธรรมชาติ..... | 43 |
| 5 | สรุปและข้อเสนอแนะ..... | 57 |
| 5.1 | สรุปผลการศึกษา..... | 57 |
| | เอกสารอ้างอิง..... | 58 |
| | ประวัติผู้เขียน..... | 62 |

สารบัญตาราง

| ตารางที่ | หน้า |
|--|------|
| 2.1 คุณสมบัติทางกายภาพและคุณสมบัติทางวิศวกรรมของวัสดุหล่อทิ้ง..... | 4 |
| 2.2 สารประกอบทางเคมีของตัวอย่างเส้นใยธรรมชาติ (Methacanon et al., 2010)..... | 17 |
| 2.3 ลักษณะทางกายภาพของตัวอย่างเส้นใยธรรมชาติ (Methacanon et al., 2010)..... | 18 |
| 4.1 คุณสมบัติพื้นฐานและคุณสมบัติทางวิศวกรรมของจีโอกรีตเส้นใยธรรมชาติ..... | 37 |
| 4.2 คุณสมบัติพื้นฐานและคุณสมบัติทางวิศวกรรมของมวลรวมคอนกรีตรีไซเคิล..... | 37 |
| 4.3 กำลังต้านทานแรงเฉือน และกำลังร่วมเฉือนของมวลรวมคอนกรีตรีไซเคิลเสริม จีโอกรีตและปราศจากการเสริมจีโอกรีต..... | 42 |
| 4.4 สัมประสิทธิ์กำลังร่วมเฉือนระหว่างมวลรวมคอนกรีตรีไซเคิลและจีโอกรีตเส้นใย ธรรมชาติ..... | 52 |

สารบัญรูปลูกภาพ

| รูปที่ | หน้า |
|--|------|
| 2.1 ผลการทดสอบแรงเฉือนตรงของมวลรวมคอนกรีตไร้เหล็กด้วยกล่องรับแรงเฉือนขนาดกลาง(120 x 120 มิลลิเมตร) และขนาดใหญ่ (250 x 250 มิลลิเมตร) (Sobol et al. 2015)..... | 5 |
| 2.2 พฤติกรรมการทรุดตัวถาวรของถนนแบบเสริม และไม่เสริมกำลังด้วยวัสดุใยสังเคราะห์กับจำนวนรอบในการให้น้ำหนัก | 6 |
| 2.3 กำลังรับแรงเฉือนของการทดสอบด้วยมวลรวมหินบดด้วยเงื่อนไขต่างๆ (Touahamia et al. 2002)..... | 7 |
| 2.4 กำลังรับแรงเฉือนของการทดสอบด้วยมวลรวมจากคอนกรีตไร้เหล็กตามเงื่อนไขต่างๆ (Touahamia et al. 2002)..... | 8 |
| 2.5 กำลังรับแรงเฉือนของการทดสอบด้วยมวลรวมจากการรื้อถอนอาคารตามเงื่อนไขต่างๆ (Touahamia et al. 2002)..... | 8 |
| 2.6 กำลังรับแรงเฉือนของการทดสอบด้วยมวลรวมของเสียจากเหมืองตามเงื่อนไขต่างๆ (Touahamia et al. 2002)..... | 9 |
| 2.7 พฤติกรรมการเฉือนมวลรวมคอนกรีตไร้เหล็ก (Arulrajah et al. 2013)..... | 10 |
| 2.8 ความสัมพันธ์ระหว่างความเค้นเฉือน และความเค้นตั้งฉากตามระนาบของจีโอกริตกับมวลรวมรีไซเคิล (Arulrajah et al. 2013)..... | 10 |
| 2.9 กำลังรับแรงเฉือนของมวลรวมแก้วมวลเบารีไซเคิลไม่เสริมจีโอกริต (Arulrajah et al. 2015)..... | 11 |
| 2.10 กำลังรับแรงเฉือนของมวลรวมแก้วมวลเบารีไซเคิลเสริมจีโอกริต (Arulrajah et al. 2015)..... | 11 |
| 2.11 ความสัมพันธ์ระหว่างค่าสัมประสิทธิ์แรงเสียดทานของดินเสริมแรง (α) และความเครียดปกติ (Arulrajah et al. 2015)..... | 12 |
| 2.12 (ก) พื้นผิวสัมผัสของชนิด และวัสดุเสริมแรง (ข) การเสถียรของมวลดินเมื่อมีการรับแรง .. | 14 |
| 2.13 การพิจารณาเสถียรภาพภายใน (Internal Stability) ของโครงสร้างการเสริมแรงในดิน | 14 |
| 2.14 เสถียรภาพภายนอก (External Stability) ของโครงสร้างการเสริมแรงในดิน | 15 |
| 2.15 ความสัมพันธ์ระหว่างความเค้นและความเครียดของเส้นใยจากพืชธรรมชาติชนิดต่างๆ (Anand, 2008)..... | 17 |

| | |
|---|----|
| 2.16 ภาพขยายเส้นใยธรรมชาติ (a) ปอ (b) ป่าน (c) กก (d) ผักตบชวา (Methacanon et al., 2010)..... | 18 |
| 2.17 (ก)ค่ากำลังรับแรงดึงและระยะยืดคชณะขาดของตัวอย่างเส้นใย (Methacanon et al., 2010)..... | 19 |
| 2.18 (ข) ค่าระยะยืดคชณะขาดของตัวอย่างเส้นใย (Methacanon et al., 2010)..... | 19 |
| 2.19 แบบจำลองที่ใช้วิเคราะห์คณดินเสริมแรงด้วยแผ่นถักสานเส้นใยธรรมชาติ บนดินเหนียวอ่อน (Mwasha, 2009)..... | 21 |
| 2.20 แบบจำลองที่ใช้ทดสอบคณดินเสริมแรงด้วยแผ่นถักสานจากเส้นใยปอ (Mwasha and Petersen, 2010)..... | 22 |
| 2.21 ผลทดสอบแรงปฏิสัมพันธ์แบบคิงออกของแผ่นถักสานจากเส้นใยปอในดิน (Mwasha and Petersen, 2010)..... | 22 |
| 2.22 ช่วงเวลาในการใช้งานแผ่นวัสดุสังเคราะห์ในคณดินเสริมแรง (Sarsby, 2007)..... | 23 |
| 2.23 การใช้งานวัสดุเสริมแรงในคณภายในช่วงเวลาสั้น ๆ (a) คณดินทั่วไป (b) การป้องกันการแยกตัว (c) การป้องกันการเลื่อนไถล (d) การทรุดตัวที่มากเกินไป บริเวณฐาน (e) การป้องกันการทรุดตัวที่มากเกินไปบริเวณฐาน (Anand, 2008)..... | 24 |
| 2.24 ความคณที่เกิดขึ้นในมวลดินเสริมด้วย Geogrid (Berg et al. 2000)..... | 27 |
| 2.25 Classification of natural fibers..... | 29 |
| 2.26 Different types of natural fibers..... | 29 |
| 2.27 Different types of natural fibers..... | 30 |
| 3.1 การถักสานเส้นใยปอแบบเรียบ..... | 32 |
| 3.2 แผนภาพแสดงชุดทดสอบปฏิริยาร่วมเหนือนระหว่างมวลรวมคณกรีตรีไซเคิล (RCA) และจีโอกรีคเส้นใยธรรมชาติ..... | 33 |
| 4.1 การกระจายขนาดคละของตัวอย่างมวลรวมคณกรีตรีไซเคิล (RCA)..... | 36 |
| 4.2 จีโอกรีคเส้นใยธรรมชาติ ขนาดช่องเปิด 7x7 มิลลิเมตร และ 21x21 มิลลิเมตร ถักสานแบบเรียบ (Plain pattern)..... | 36 |
| 4.3 แผนภาพแสดงชุดทดสอบปฏิริยาร่วมเหนือนระหว่างมวลรวมคณกรีตรีไซเคิล และจีโอกรีคเส้นใยธรรมชาติ..... | 38 |
| 4.4 ความสัมพันธ์ระหว่างระหว่างความคณเหนือน และการเคลื่อนตัวในแนวราบ ของมวลรวมคณกรีตรีไซเคิลที่มีการกระจายขนาดคละที่ขอบเขตล่าง และขอบเขตบน ตามมาตรฐานของกรมทางหลวง..... | 40 |

| | |
|--|----|
| 4.5 ความสัมพันธ์ระหว่างการเคลื่อนตัวในแนวราบ และการเคลื่อนตัวในแนวตั้ง ของมวลรวมคอนกรีตไร้เหล็ก ที่มีการกระจายขนาดคละที่ขอบเขตล่าง และขอบเขตบน ตามมาตรฐานของกรมทางหลวง..... | 40 |
| 4.6 พารามิเตอร์กำลังต้านทานความเค้นเฉือนของมวลรวมคอนกรีตไร้เหล็ก ที่มีการกระจาย ขนาดคละที่ขอบเขตบนและล่างตามมาตรฐานกรมทางหลวง..... | 42 |
| 4.7 ผลทดสอบแรงเฉือนและปฏิกริยาร่วมเฉือนระหว่างมวลรวมคอนกรีตไร้เหล็ก และจีโอกรีตเส้นใยธรรมชาติของตัวอย่างมวลรวมคอนกรีตไร้เหล็กที่มีการกระจาย ขนาดคละที่ขอบเขตล่าง..... | 44 |
| 4.8 ผลทดสอบแรงเฉือนและปฏิกริยาร่วมเฉือนระหว่างมวลรวมคอนกรีตไร้เหล็ก และจีโอกรีตเส้นใยธรรมชาติของตัวอย่างมวลรวมคอนกรีตไร้เหล็กที่มีการกระจาย ขนาดคละที่ขอบเขตบน..... | 45 |
| 4.9 อิทธิพลของขนาดช่องเปิดของจีโอกรีตต่อพฤติกรรมร่วมเฉือนของ มวลรวมคอนกรีตไร้เหล็กที่มีขนาดคละตามขอบเขตล่างของมาตรฐานกรมทางหลวง เสริมจีโอกรีตเส้นใยธรรมชาติ..... | 46 |
| 4.10 อิทธิพลของขนาดช่องเปิดของจีโอกรีตต่อพฤติกรรมร่วมเฉือนของ มวลรวมคอนกรีตไร้เหล็กที่มีขนาดคละตามขอบเขตบนของมาตรฐานกรมทางหลวง เสริมจีโอกรีตเส้นใยธรรมชาติ..... | 47 |
| 4.11 อิทธิพลของขนาดของมวลรวมต่อพฤติกรรมร่วมเฉือนของมวลรวมคอนกรีตไร้เหล็ก เสริมจีโอกรีตเส้นใยธรรมชาติที่มีขนาดช่องเปิด 7 มิลลิเมตร..... | 48 |
| 4.12 อิทธิพลของขนาดของมวลรวมต่อพฤติกรรมร่วมเฉือนของมวลรวมคอนกรีตไร้เหล็ก เสริมจีโอกรีตเส้นใยธรรมชาติที่มีขนาดช่องเปิด 21 มิลลิเมตร..... | 49 |
| 4.13 พารามิเตอร์กำลังต้านทานความเค้นเฉือนของมวลรวมคอนกรีตไร้เหล็ก เสริมจีโอกรีตเส้นใยธรรมชาติที่มีการกระจายขนาดคละที่ขอบเขตล่าง ตามมาตรฐานกรมทางหลวง..... | 51 |
| 4.14 พารามิเตอร์กำลังต้านทานความเค้นเฉือนของมวลรวมคอนกรีตไร้เหล็ก เสริมจีโอกรีตเส้นใยธรรมชาติที่มีการกระจายขนาดคละที่ขอบเขตบน ตามมาตรฐานกรมทางหลวง..... | 51 |
| 4.15 ลักษณะของจีโอกรีตเส้นใยธรรมชาติก่อนและหลังการทดสอบ..... | 52 |
| 4.16 ความสัมพันธ์ระหว่างสัมประสิทธิ์กำลังร่วมเฉือนและความเค้นแนวตั้งของ มวลรวมคอนกรีตไร้เหล็ก เสริมจีโอกรีตเส้นใยธรรมชาติที่มีการกระจายขนาดคละ ที่ขอบเขตล่างและขอบเขตบนตามมาตรฐานกรมทางหลวง..... | 53 |

4.17 ความสัมพันธ์ระหว่างสัมประสิทธิ์กำลังร่วมเดือนและขนาดช่องเปิดของจีโอกริด
 ของมวลรวมคอนกรีตรีไซเคิลเสริมจีโอกริด.....54

4.18 ความสัมพันธ์ระหว่างสัมประสิทธิ์กำลังร่วมเดือนและปริมาณอนุภาคที่มีขนาด
 เล็กกว่าช่องเปิดของจีโอกริดของมวลรวมคอนกรีตรีไซเคิลเสริมจีโอกริด.....54

4.19 ความสัมพันธ์ระหว่างสัมประสิทธิ์กำลังร่วมเดือนและอัตราส่วนระหว่างขนาดช่องเปิด
 และปริมาณอนุภาคที่มีขนาดเล็กว่าช่องเปิดของจีโอกริดของมวลรวมคอนกรีตรีไซเคิล
 เสริมจีโอกริด.....55



บทที่ 1

บทนำ

1.1 ความเป็นมาและความสำคัญของปัญหา

ปัจจุบันคอนกรีตเป็นวัสดุโครงสร้างที่นิยมใช้กันอย่างมากในประเทศไทยเมื่อเปรียบเทียบกับวัสดุก่อสร้างอื่น เช่น อิฐ ไม้ และเหล็ก แต่เมื่อระยะเวลาผ่านไปโครงสร้างคอนกรีตเกิดการชำรุด สิ้นสุดอายุการใช้งานหรือต้องเปลี่ยนลักษณะการใช้งาน จึงต้องมีการรื้อถอนเพื่อสร้างสิ่งก่อสร้างใหม่ขึ้นมาทดแทน ทำให้มีเศษวัสดุที่ได้จากการรื้อถอนส่วนใหญ่จะนำไปใช้เป็นวัสดุถมที่ซึ่งเป็นการใช้ประโยชน์อย่างไร้คุณค่าในเชิงวิศวกรรมและเศรษฐศาสตร์ วัสดุที่ได้จากการรื้อถอนนี้สามารถนำไปใช้ประโยชน์ในงานวิศวกรรมโยธาได้ Wahlstrom et al. (2000); Jankovic et al. (2012); Engelsen et al. (2012) และ Poon and Chan (2012) ได้แสดงให้เห็นว่ามวลรวมคอนกรีตรีไซเคิลมีคุณสมบัติทางวิศวกรรมอยู่ในเกณฑ์มาตรฐานสำหรับใช้เป็นวัสดุชั้นทางและชั้นพื้นทาง แม้ว่าจะมีคุณสมบัติทางวิศวกรรมที่ด้อยกว่าวัสดุมวลรวมตามธรรมชาติ วัสดุสังเคราะห์ (Geosynthetics) สามารถนำมาประยุกต์ใช้ร่วมกับมวลรวมคอนกรีตรีไซเคิลเพื่อเพิ่มความสามารถในการรับน้ำหนักบรรทุกทุกเสถียรภาพในชั้นทาง และความคงทนของถนน ในปี ค.ศ. 1926 South Carolina Highways Department (Becham et al. 1935) ได้ประยุกต์ใช้วัสดุสังเคราะห์ในงานทางเป็นครั้งแรก พบว่าวัสดุสังเคราะห์ช่วยลดการแตกร้าวของผิวถนนได้เป็นอย่างดี และวัสดุสังเคราะห์ช่วยเพิ่มความแข็งแรงให้กับถนนชั้นพื้นทางและชั้นรองพื้นทาง

วัสดุเส้นใยธรรมชาติของพืชจำพวก ปอ หรือ ป่าน ซึ่งเป็นพืชที่มีจำนวนมากในแต่ละพื้นที่ของประเทศไทย อีกทั้งเป็นวัสดุที่หาง่ายในท้องถิ่นมีราคาถูก และสามารถนำมาใช้โดยไม่มีต้นทุนวัตถุดิบ ในปี 2556 การศึกษาการใช้เส้นใยธรรมชาติเป็นวัสดุเสริมแรง เพื่อเพิ่มเสถียรภาพและป้องกันการชะล้างพังทลายของลาดดิน โดย ดร. ธวัชชัย ตันชัยสวัสดิ์ จากผลการทดสอบเบื้องต้นในส่วนของกำลังรับแรงดึงของเส้นใยที่ถักสานเป็นโครงตาข่าย พบว่า กลุ่มเส้นใยขนาคยาวจำพวก ปอ หรือ ป่าน มีกำลังรับแรงดึงค่อนข้างสูงประมาณ 22 กิโลนิวตันต่อเมตร (ตามแนวการถักสานแบบเรียบ) ซึ่งจะเหมาะสมสำหรับเป็นวัสดุเสริมแรงในดิน

งานวิจัยนี้มีวัตถุประสงค์เพื่อศึกษาเส้นใยปอ (Kenaf) ที่ถักสานเป็นโครงตาข่ายในลักษณะเรียบ (Plain pattern) โดยที่มีขนาดช่องเปิดที่แตกต่างกันคือ 7 และ 21 มิลลิเมตร เพื่อมาเป็นวัสดุเสริมแรงให้แก่ถนนชั้นพื้นทาง และชั้นรองพื้นทาง เพื่อศึกษาปฏิกิริยาร่วมเนื้อระหว่างจีโอกรีตเส้นใยธรรมชาติและมวลรวมคอนกรีตรีไซเคิล และเพื่อสร้างสมการทำนายกำลังร่วมเนื้อในพจน์ของคุณสมบัติของจีโอกรีตเส้นใยธรรมชาติ และคุณสมบัติพื้นฐานของมวลรวมคอนกรีต

รีไซเคิล งานวิจัยนี้จะเริ่มด้วยการศึกษาความเป็นไปได้ของการใช้งานวัสดุมวลรวมคอนกรีตรีไซเคิลที่มีการกระจายขนาดละเอียดอยู่ระหว่างขอบเขตบนและขอบเขตล่างใกล้เคียงตามมาตรฐาน ทล.-ม.201/2544 บดอัดด้วยพลังงานการบดอัดแบบสูงกว่ามาตรฐาน (Modified Proctor) ตามมาตรฐาน ASTM D1557 (2009) คุณสมบัติทางวิศวกรรมของมวลรวมคอนกรีตรีไซเคิล จะได้รับการตรวจวัดในห้องปฏิบัติการอันได้แก่ กำลังต้านทานแรงเฉือน (Shear strength) และ ซีบีอาร์ ตัวแปรอิทธิพลที่ทำการศึกษาได้แก่คุณสมบัติของมวลรวมคอนกรีตรีไซเคิล การทดสอบแรงเฉือนตรง ดำเนินการด้วยชุดทดสอบแรงเฉือนตรงขนาดใหญ่ (Large scale direct shear test) ตามมาตรฐาน ASTM D5321 (2008) ท้ายสุดงานวิจัยนี้จะศึกษาปฏิกริยาร่วมเนื้อระหว่างจีโอกรีตเส้นใยธรรมชาติและมวลรวมคอนกรีตรีไซเคิลในพจน์ของคุณสมบัติของจีโอกรีตเส้นใยธรรมชาติ (ขนาดช่องเปิด) และคุณสมบัติของมวลรวมคอนกรีตรีไซเคิล (การกระจายขนาดและกำลังต้านทานแรงเฉือน) ผลการทดสอบจะนำมาเปรียบเทียบกับผลทดสอบแรงเฉือนของมวลรวมคอนกรีตรีไซเคิล

1.2 วัตถุประสงค์

- 1.2.1. เพื่อศึกษาปฏิกริยาร่วมเนื้อระหว่างจีโอกรีตเส้นใยธรรมชาติ และมวลรวมคอนกรีตรีไซเคิล (RCA) ในพจน์ของคุณสมบัติของจีโอกรีตเส้นใยธรรมชาติ และคุณสมบัติพื้นฐานของมวลรวมคอนกรีตรีไซเคิล (RCA)
- 1.2.2. เพื่อสร้างสมการทำนายกำลังร่วมเนื้อในพจน์ของขนาดช่องเปิดของจีโอกรีตเส้นใยธรรมชาติ การกระจายขนาดและกำลังต้านทานแรงเฉือนของมวลรวมคอนกรีตรีไซเคิล (RCA)

1.3 ขอบเขตของการศึกษา

- 1.3.1 ใช้เส้นใยปอ (Kenaf) เอามาถักแบบเรียบด้วยมือนำไปทดสอบกำลังรับแรงดึง
- 1.3.2 ศึกษาอิทธิพลของการกระจายขนาดมวลรวมคอนกรีตรีไซเคิล (RCA) โดยใช้มวลรวม 2 ขนาด คือ ขอบเขตบนและขอบเขตล่างตามมาตรฐานของกรมทางหลวง(ทล.-ม. 201/2544)
 - 1.3.2.1 ทำการทดสอบหาค่าความถ่วงจำเพาะตามมาตรฐาน ASTM C127 (2012)
 - 1.3.2.2 ทดสอบการบดอัดด้วยพลังงานแบบสูงกว่ามาตรฐาน (modified Proctor energy) ตามมาตรฐาน ASTM D1557 (2009)
 - 1.3.2.3 การทดสอบ CBR ตามมาตรฐาน ASTM D1883-99

- 1.3.3 ศึกษากำลังร่วมเหนือนำเนินการ โดยชุดทดสอบแรงเฉือนตรงขนาดใหญ่ (Large scale direct shear apparatus) ตามมาตรฐาน ASTM D5321 (2008)
 - 1.3.3.1 ใช้ Normal stress เท่ากับ 50 100 และ 200 กิโลพาสกาล
 - 1.3.3.2 ศึกษาอิทธิพลของช่องเปิดโดยใช้ขนาดช่องเปิด 7 และ 21 มิลลิเมตร
 - 1.3.3.3 ในการทดสอบจะทำซ้ำการทดสอบละ 3 ครั้ง

1.4 ประโยชน์ที่คาดว่าจะได้รับ

- 1.4.1 ทราบถึงพฤติกรรมร่วมเหนือนระหว่างจีโอกรีตเส้นใยธรรมชาติและมวลรวมคอนกรีตรีไซเคิล (RCA)
- 1.4.2 ได้สมการทำนายกำลังร่วมเหนือนในพจน์ของขนาดช่องเปิดของจีโอกรีตเส้นใยธรรมชาติ และการกระจายขนาดกำลังต้านทานแรงเฉือนของมวลรวมคอนกรีตรีไซเคิล (RCA)



บทที่ 2

ทฤษฎีและงานวิจัยที่เกี่ยวข้อง

งานวิจัยที่เกี่ยวข้องกับคุณสมบัติทางวิศวกรรมของวัสดุมวลรวมรีไซเคิลประเภทต่างๆและปฏิกิริยาร่วมเนื้อระหว่างจีโอกรีตและมวลรวมรีไซเคิล จะนำเสนอในหัวข้อนี้ซึ่งจะเป็นพื้นฐานสำหรับการออกแบบวิธีการวิจัยและวิธีการวิเคราะห์ผลทดสอบ

2.1 วัสดุมวลรวมคอนกรีตรีไซเคิล

การประยุกต์ใช้วัสดุมวลรวมรีไซเคิลเริ่มต้นจากการบดย่อยเศษวัสดุที่เหลือทิ้งจากงานก่อสร้างและโรงงานให้มีขนาดต่างๆ ขึ้นอยู่กับลักษณะการใช้งานคุณสมบัติทางกายภาพและคุณสมบัติทางวิศวกรรมของวัสดุมวลรวมรีไซเคิลประเภทต่างๆ ดังแสดงในตารางที่ 2.1

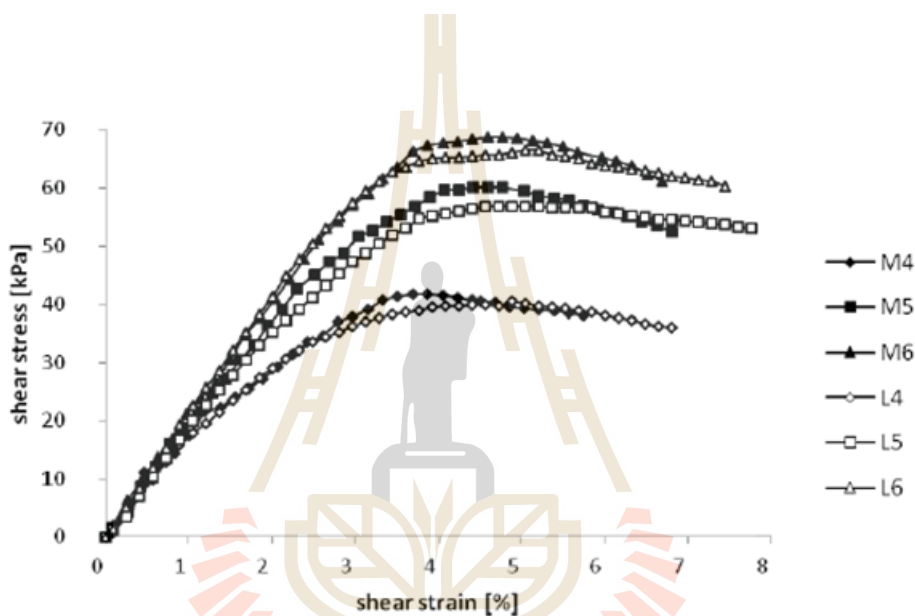
ตารางที่ 2.1 คุณสมบัติทางกายภาพและคุณสมบัติทางวิศวกรรมของวัสดุเหลือทิ้ง

| Engineering Properties | RCA | CB | WR | RAP | FRG | MRG | Typical Quarry Materials |
|---|---------|---------|---------|---------|-------|-------|--------------------------|
| Gravel content (%) | 50.7 | 53.6 | 44.7 | 48.0 | 9.2 | 53.0 | - |
| Sand content (%) | 45.7 | 39.8 | 45.1 | 46.0 | 85.4 | 41.8 | - |
| Fines content (%) | 3.6 | 6.6 | 10.2 | 6.0 | 5.4 | 5.2 | - |
| USCS classification | GW | GW | SW | GW | SW | SW | - |
| Los Angeles Abrasion (max) | 28 | 36 | 21 | 42 | 25 | 25 | < 40 |
| Modified Compaction: Max dry density (Mg/m ³) | 1.96 | 2.02 | 2.23 | 2.00 | 1.78 | 1.99 | > 1.78 |
| Modified Compaction: Optimum moisture content (%) | 12.0 | 10.7 | 9.3 | 8.1 | 10.0 | 8.8 | 8 - 15 |
| California Bearing Ratio (%) | 118-160 | 123-138 | 121-204 | 30-35 | 42-46 | 73-76 | > 80 |
| Unconfined Compression Test: q _u (kPa) | 310-378 | 86-130 | 153-207 | 100-117 | - | - | - |
| Direct Shear Test: Apparent cohesion (kPa) | 154 | 61 | 285 | 9 | 6 | 14 | > 35 |
| Direct Shear Test: Friction angle (degrees) | 45 | 52 | 48 | 49 | 45 | 49 | > 35 |
| Triaxial Test (CD): Apparent cohesion (kPa) | 45 | 41 | 46 | 53 | 0 | 2 | > 35 |
| Triaxial Test (CD): Friction angle (degree) | 49 | 49 | 51 | 37 | 35 | 41 | > 35 |

ซึ่ง RCA คือมวลรวมคอนกรีตรีไซเคิล (Recycled concrete aggregate) CB คืออิฐบด (Crushed brick) WR คือเศษหิน (Waste rock) RAP คือผิวทางแอสฟัลต์รีไซเคิล (Recycled asphalt pavement) FRG คือแก้วรีไซเคิลละเอียด (Fine recycled glass) และ MRG คือแก้วรีไซเคิลขนาดกลาง (Medium recycled glass) จะเห็นได้ว่าวัสดุรีไซเคิลเกือบทั้งหมดมีคุณสมบัติทางวิศวกรรมตามข้อกำหนดทั่วไปสำหรับหินคลุก (Typical quarry materials) นอกจากนี้ นักวิจัยบางท่าน (Tam and Tam 2007; Gomez and Soberon 2002; Poon and Chan 2006a; Poon and Chan 2006b; Courard et al 2010; Arulrajah et al. 2012b; McKelvey et al. 2002) ได้ศึกษาพฤติกรรมทางวิศวกรรมการเฉือน (Shear behavior) ของมวลรวมคอนกรีตรีไซเคิล

2.2 กำลังรับแรงเฉือนตรงของมวลรวมคอนกรีตรีไซเคิล

Sobol et al. (2015) ได้ศึกษาคุณสมบัติทางกลและอิทธิพลของขนาดกล่องทดสอบแรงเฉือนตรงต่อกำลังรับแรงเฉือนของมวลรวมคอนกรีตรีไซเคิล โดยใช้กล่องรับแรงเฉือน 2 ขนาด คือ ขนาดกลาง (120 x 120 มิลลิเมตร) และขนาดใหญ่ (250 x 250 มิลลิเมตร) พบว่า เมื่อทำการเฉือนที่กำลังรับแรงเฉือนของมวลรวมคอนกรีตรีไซเคิลจากกล่องทดสอบทั้งสองขนาด จะมีค่าใกล้เคียงกันมาก ดังแสดงในรูปที่ 2.1 มุมเสียดทานภายในของกล่องทดสอบขนาดกลาง (120 x 120 มิลลิเมตร) สูงกว่ากล่องทดสอบขนาดใหญ่ (250 x 250 มิลลิเมตร) ประมาณ 1.2 องศา

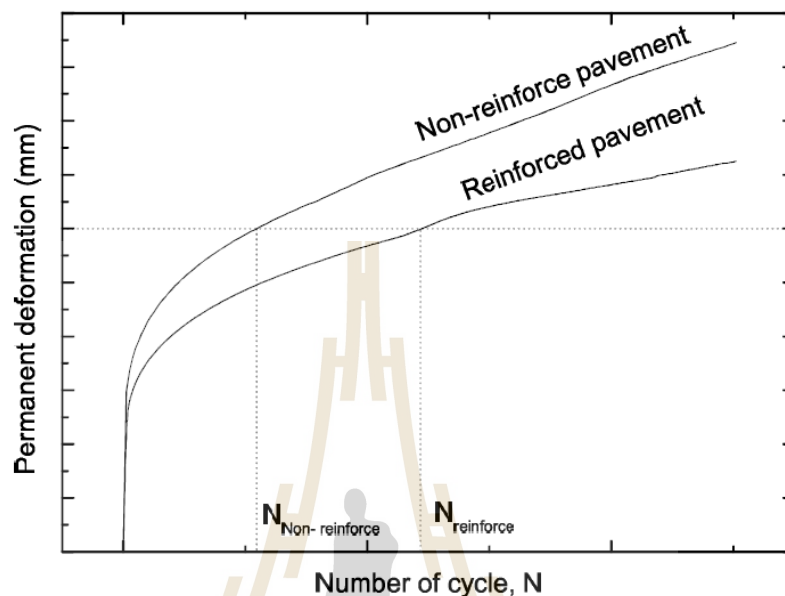


รูปที่ 2.1 ผลการทดสอบแรงเฉือนตรงของมวลรวมคอนกรีตรีไซเคิลด้วยกล่องรับแรงเฉือนขนาดกลาง (120 x 120 มิลลิเมตร) และขนาดใหญ่ (250 x 250 มิลลิเมตร) (Sobol et al. 2015)

2.3 จีโอกรีด

การใช้จีโอกรีดเสริมกำลังในชั้นทางและชั้นรองพื้นทางช่วยให้น้ำหนักบรรทุกกระจายสม่ำเสมอ และช่วยลดการทรุดตัวของผิวทางอันนำมาซึ่งอายุการใช้งานที่ได้นานขึ้น จีโอกรีดมีประสิทธิภาพในการลดการเกิดร่องล้อลึก การเสียรูปเฉือน (Shear Deformation) (Montanelli et al. 1997; Henry et al. 2009) ดังนั้น จึงช่วยลดความหนาของชั้นทางได้ การติดตั้งจีโอกรีดหลายชั้นจะช่วยเสริมแรงในชั้นทาง (Cancelli et al. 1997; Perkins 1999) Youwai et al. (2010) ได้สร้างแบบจำลองของถนนที่เสริมกำลังด้วยวัสดุสังเคราะห์เพื่อศึกษาอิทธิพลของวัสดุสังเคราะห์ต่อพฤติกรรมของถนนเมื่อรับน้ำหนักบรรทุกทุกจากยานพาหนะ ผลการศึกษาแสดงให้เห็นว่าถนนที่

เสริมกำลังด้วยวัสดุสังเคราะห์เกิดการทรุดตัวถาวรน้อยกว่าถนนที่ไม่ได้เสริมกำลังด้วยวัสดุสังเคราะห์ที่จำนวนรอบในการให้น้ำหนักที่เท่ากัน ดังแสดงในรูปที่ 2.2

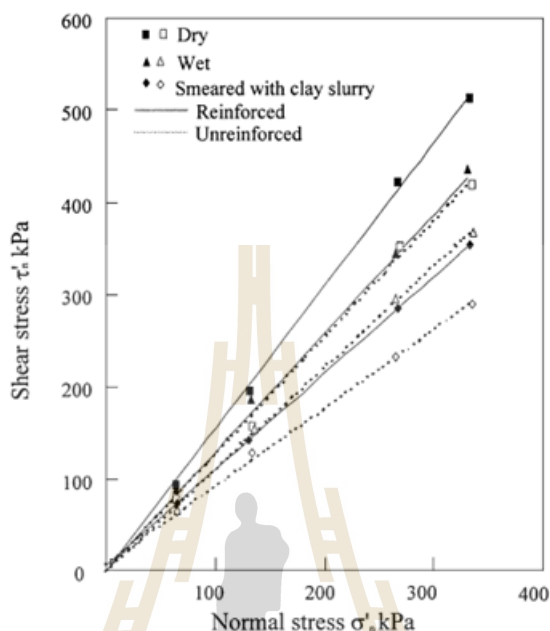


รูปที่ 2.2 พฤติกรรมการทรุดตัวถาวรของถนนแบบเสริมและไม่เสริมกำลังด้วยวัสดุสังเคราะห์ที่จำนวนรอบในการให้น้ำหนัก

2.4 ปฏิกริยาร่วมเนื้อระหว่างวัสดุสังเคราะห์และมวลรวมรีไซเคิล

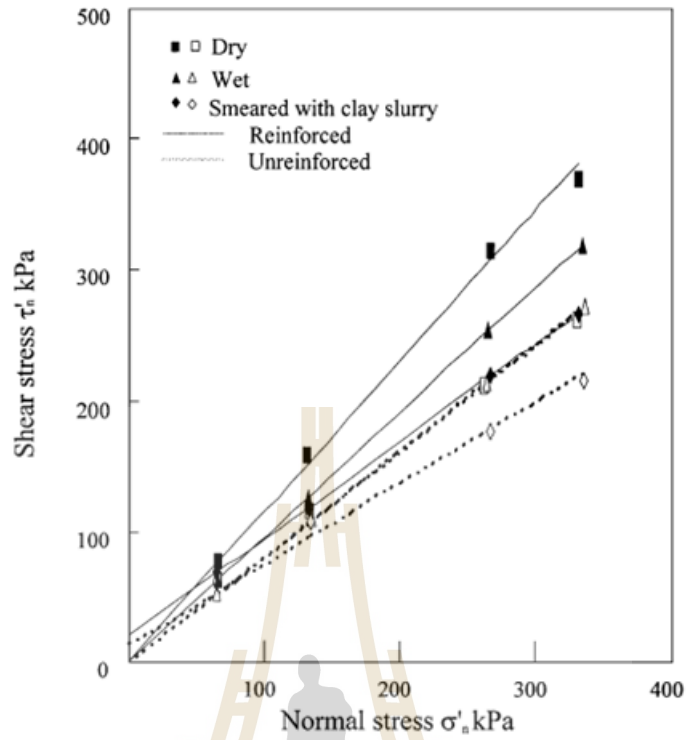
งานวิจัยในอดีตส่วนใหญ่ศึกษาปฏิกริยาร่วมเนื้อระหว่างดินกับวัสดุอิโกรีต (Kazimierowicz 2007; Araujo et al. 2009; Liu et al. 2009a; Liu et al. 2009b; Rowe and Taechakunthorn 2011; Palmeira et al. 2010) ในขณะที่การศึกษาปฏิกริยาร่วมเนื้อระหว่างมวลรวมรีไซเคิลกับวัสดุอิโกรีต (Zekkos et al. 2010; Arulrajah et al. 2012a) ยังมีอยู่อย่างจำกัดและต้องการการศึกษาเพิ่มอย่างจริงจังเพื่อประโยชน์ด้านวิศวกรรมสิ่งแวดล้อมและเศรษฐศาสตร์ Touahamia et al. (2002) ได้ศึกษากำลังรับแรงเฉือนโดยกล่องรับแรงเฉือนขนาดใหญ่ของมวลรวมจากเศษการรีไซเคิลคอนกรีตรีไซเคิลและมวลรวมของเสียจากเหมือง การทดสอบได้ทำการทดสอบกำลังรับแรงเฉือนของวัสดุทั้ง 3 ชนิด เปรียบเทียบกับกำลังรับแรงเฉือนของหินคลุก โดยทดสอบที่ปริมาณความชื้นสูงกว่าความชื้นบดอัดเหมาะสมและต่ำกว่าความชื้นบดอัดเหมาะสมและผสมดินเหนียว 20% และเปรียบเทียบกำลังรับแรงเฉือนระหว่างการเสริมวัสดุอิโกรีตและไม่เสริมวัสดุอิโกรีต ผลการทดลอง พบว่า เมื่อบดอัดหินคลุกที่ความชื้นด้านแห้ง (ต่ำกว่าความชื้นบดอัดเหมาะสม) แล้วทำการทดสอบกำลังรับแรงเฉือน กำลังรับแรงเฉือนจะสูงกว่าการบดอัดที่ใช้ความชื้นด้านเปียก (สูงกว่าความชื้นบดอัดเหมาะสม) เมื่อมีการเพิ่มดินเหนียวลงไปกำลังรับแรง

เหนือนได้ลดลง แต่เมื่อมีการเสริมวัสดุจีโอกรีตเข้ามา พบว่า กำลังรับแรงเหนือนสูงขึ้นมากกว่า การไม่เสริมจีโอกรีต ดังแสดงในรูปที่ 2.3

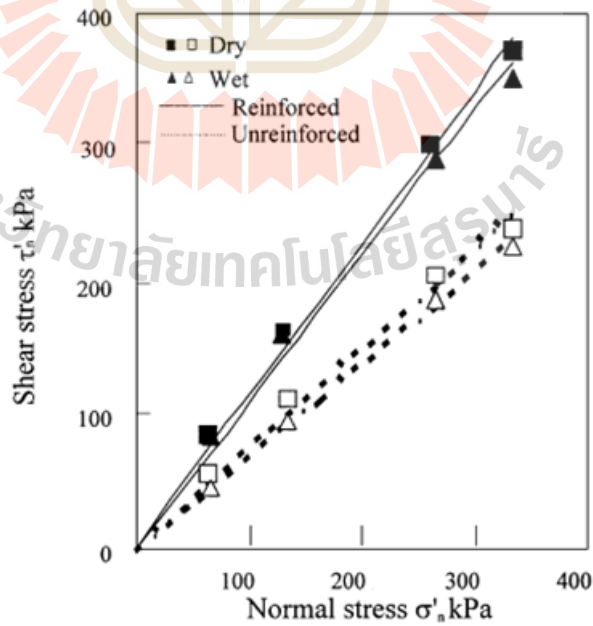


รูปที่ 2.3 กำลังรับแรงเหนือนของการทดสอบด้วยมวลรวมดินบดด้วยเงื่อนไขต่างๆ (Touahamia et al. 2002)

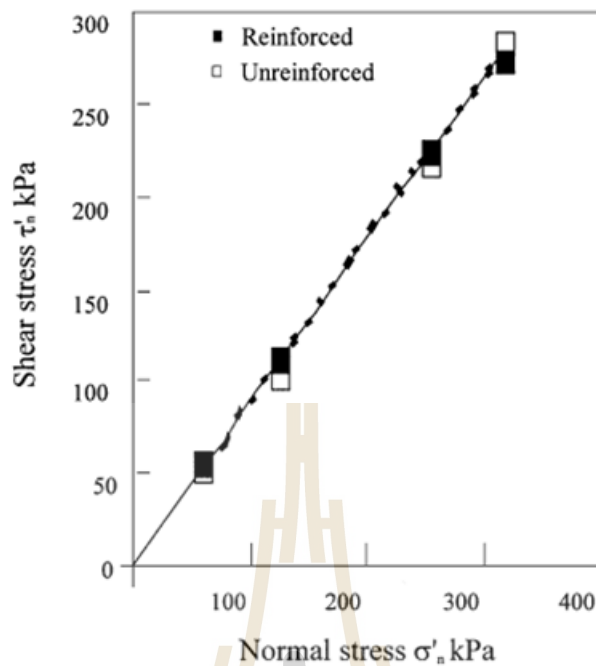
ผลการทดสอบมวลรวมคอนกรีตรีไซเคิลเมื่อบดอัดที่ความชื้นด้านแห้ง (ต่ำกว่าความชื้นบดอัดเหมาะสม) แล้วทำการทดสอบกำลังรับแรงเหนือน พบว่า กำลังรับแรงเหนือนใกล้เคียงกับการบดอัดที่ใช้ความชื้นด้านเปียก (สูงกว่าความชื้นบดอัดเหมาะสม) แต่เมื่อมีการเพิ่มดินเหนียวลงไปกำลังรับแรงเหนือนได้ลดลงและเมื่อมีการเสริมวัสดุจีโอกรีตเข้ามา พบว่า กำลังรับแรงเหนือนสูงขึ้นมากกว่า การไม่เสริมจีโอกรีตและการบดอัดด้านเปียกยังมีค่าสูงกว่าการบดอัดด้านแห้ง ดังแสดงในรูปที่ 2.4 ส่วนผลการทดสอบมวลรวมจากการรีไซเคิลอนุภาคน้ำแข็งบดอัดที่ความชื้นด้านแห้ง (ต่ำกว่าความชื้นบดอัดเหมาะสม) แล้วทำการทดสอบกำลังรับแรงเหนือน พบว่า กำลังรับแรงเหนือนใกล้เคียงกับการบดอัดที่ใช้ความชื้นด้านเปียก (สูงกว่าความชื้นบดอัดเหมาะสม) เช่นเดียวกับมวลรวมคอนกรีตรีไซเคิล และเมื่อมีการเสริมวัสดุจีโอกรีตเข้ามา พบว่า กำลังรับแรงเหนือนสูงขึ้นมากกว่าการไม่เสริมจีโอกรีต และการบดอัดด้านเปียกและด้านแห้งมีค่าใกล้เคียงกัน ดังแสดงในรูปที่ 2.5 ผลการทดสอบเศษมวลรวมจากของเสียจากเหมืองนั้น ได้ทำการทดสอบบดอัดเพียงด้านแห้งด้านเดียว พบว่า กำลังรับแรงเหนือนระหว่างการเสริมจีโอกรีตและไม่เสริมจีโอกรีตมีค่าใกล้เคียงกันมาก ดังแสดงในรูปที่ 2.6



รูปที่ 2.4 กำลังรับแรงเฉือนของการทดสอบด้วยมวลรวมจากคอนกรีต
รีไซเคิลตามเงื่อนไขต่างๆ (Touahamia et al. 2002)

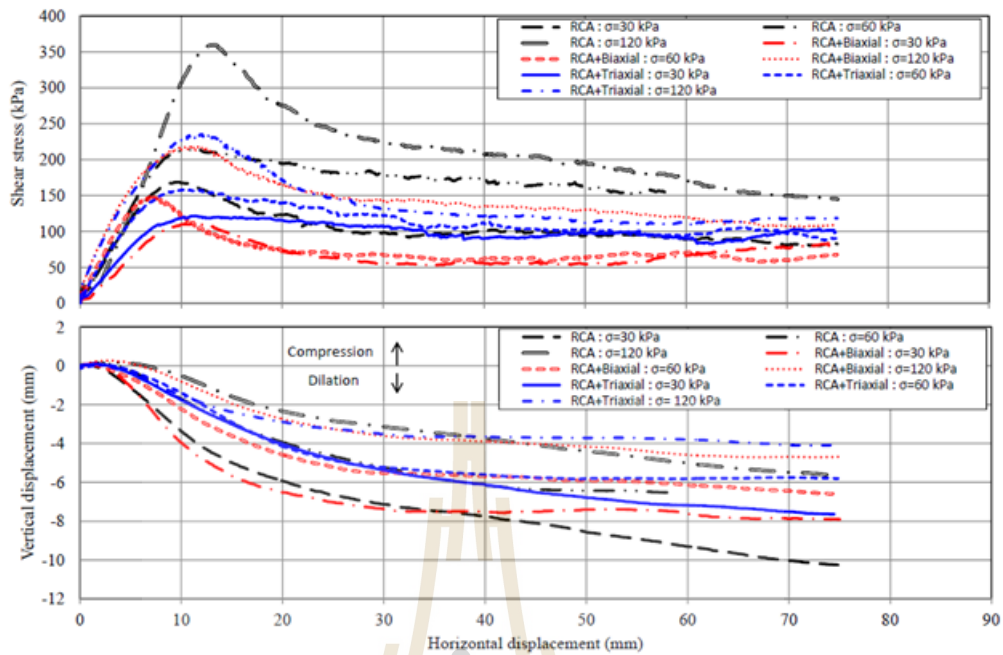


รูปที่ 2.5 กำลังรับแรงเฉือนของการทดสอบด้วยมวลรวมจากการรีไซเคิล
อาคารตามเงื่อนไขต่างๆ (Touahamia et al. 2002)

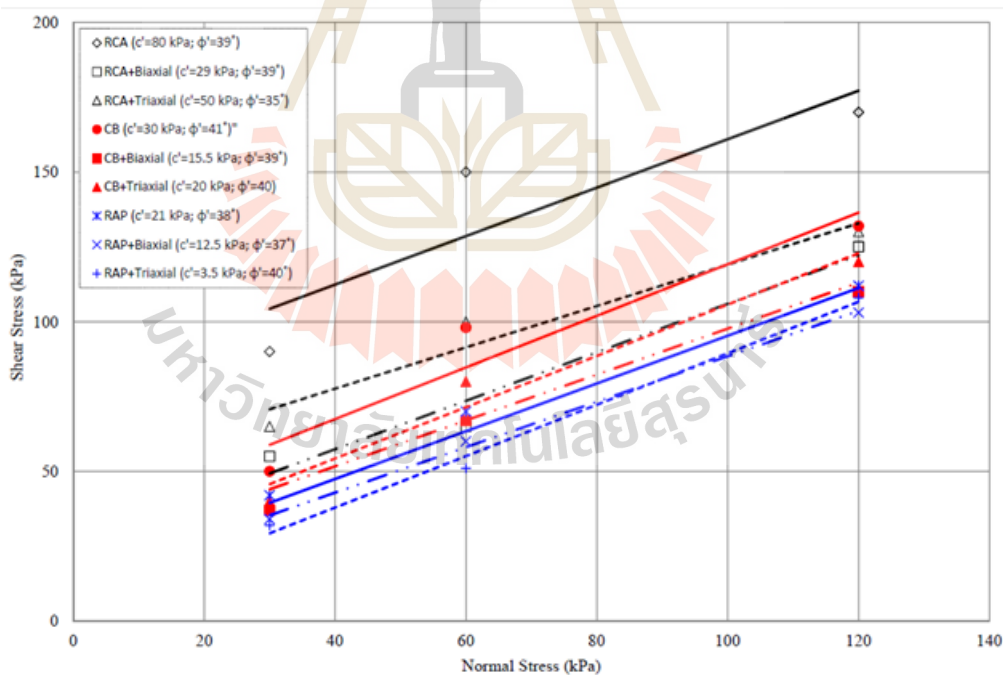


รูปที่ 2.6 กำลังรับแรงเฉือนของการทดสอบด้วยมวลรวมของเสียดจากเหมืองตามเงื่อนไขต่างๆ (Touahamia et al. 2002)

รูปที่ 2.7 แสดงความสัมพันธ์ระหว่างความเค้นเฉือนกับการเคลื่อนตัวตามแนวเฉือนและการเปลี่ยนแปลงปริมาตรกับการเคลื่อนตัวตามแนวเฉือนของมวลรวมคอนกรีตรีไซเคิลกับจีโอกรีต ความสัมพันธ์ความระหว่งกำลังต้านทานแรงเฉือนกับความเค้นตั้งฉากของผิวสัมผัสระหว่งมวลรวมหยาบรีไซเคิล (RCA, CB และ RAP) และจีโอกรีต แสดงในรูปที่ 2.8 จะเห็นได้ว่า มุมเสียดทานภายในมีค่าสูงเกินกว่า 37 องศา ซึ่งมีความเป็นไปได้ในการนำไปใช้งานวิศวกรรมการทาง (Arulrajah et al. 2013)



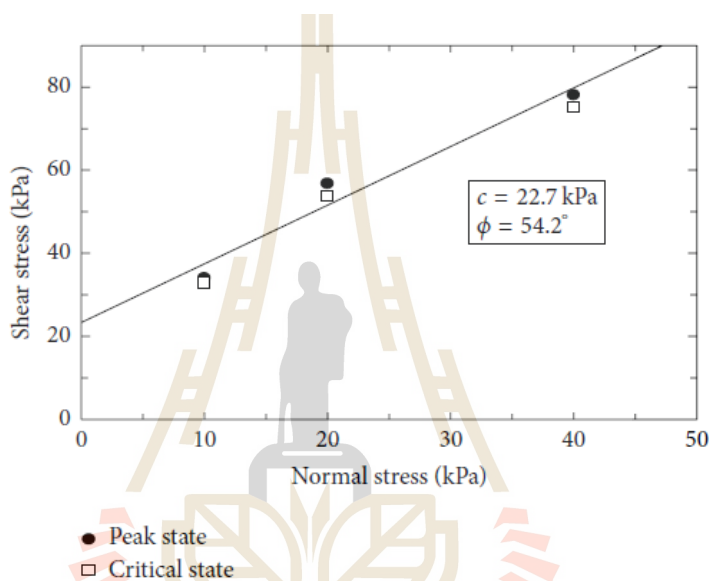
รูปที่ 2.7 พฤติกรรมการเฉือนมวลรวมคอนกรีตรีไซเคิล (Arulrajah et al. 2013)



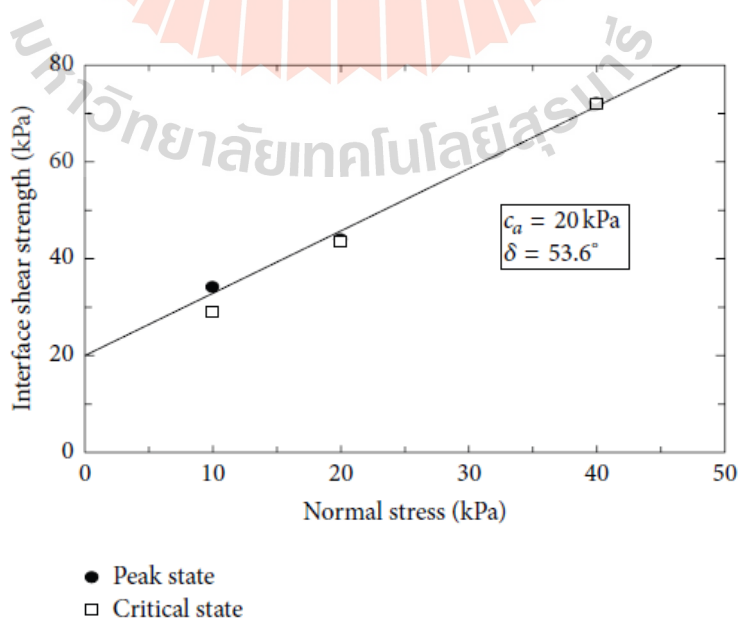
รูปที่ 2.8 ความสัมพันธ์ระหว่างความเค้นเฉือนและความเค้นตั้งฉากตาม
 ระบายของจีโอกริดกับมวลรวมรีไซเคิล (Arulrajah et al. 2013)

Arulrajah et al. (2015) ได้ศึกษาการปฏิกริยาร่วมเฉือนระหว่างมวลรวมแก้วมวลเบารีไซเคิล และจีโอกริดแบบสามแกนด้วยเครื่องทดสอบแรงเฉือนตรงขนาดใหญ่ ซึ่ง โฟมแก้วที่นำมาทดสอบ

ผลิตมาจากตะกอนน้ำเลี้ยวในเขตเมืองเมลเบิร์นประเทศออสเตรเลีย ผลการทดสอบ พบว่า มวลรวมแก้วมวลเบารีไซเคิลมีกำลังยึดเหนี่ยว 22.7 กิโลปาสกาลและมีมุมเสียดทานภายใน 54.2 องศา ดังแสดงในรูปที่ 2.9 ซึ่งสามารถนำมาใช้ทดแทนกรวดแน่นเพื่อเป็นวัสดุถมกลับหลังกำแพงกันดินเสริมกำลังตามมาตรฐาน AASHTO สำหรับมวลรวมแก้วมวลเบารีไซเคิลเสริมจีโอกรีตมีกำลังที่ลดลงเล็กน้อย โดยมีแรงยึดเหนี่ยว 20 กิโลปาสกาลและมีมุมเสียดทานภายใน 53.6 องศา ดังแสดงในรูปที่ 2.10

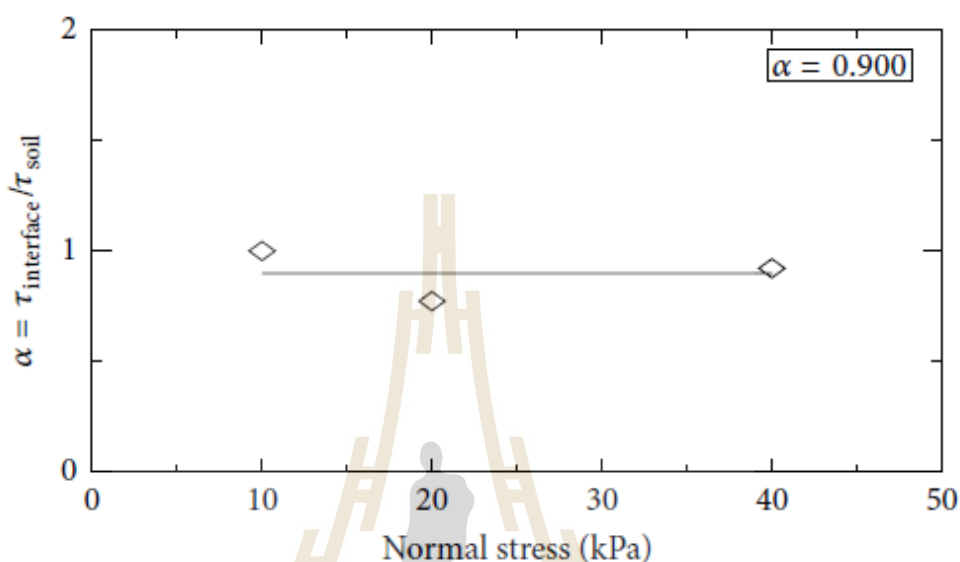


รูปที่ 2.9 กำลังรับแรงเฉือนของมวลรวมแก้วมวลเบารีไซเคิลไม่เสริมจีโอกรีต (Arulrajah et al. 2015)



รูปที่ 2.10 กำลังรับแรงเฉือนของมวลรวมแก้วมวลเบารีไซเคิลเสริมจีโอกรีต (Arulrajah et al. 2015)

ค่าสัมประสิทธิ์กำลังร่วมเฉือนของโฟมแก้วเสริมกำลังมีค่า 0.90 ดังแสดงในรูปที่ 2.11 ซึ่งมีค่าสูงมากเมื่อเปรียบเทียบกับวัสดุชนิดอื่น เช่น มวลรวมผิวทางเสริมกำลัง ($\alpha = 0.88$) มวลรวมอิฐบดเสริมกำลัง ($\alpha = 0.79$) และมวลรวมคอนกรีตรีไซเคิลเสริมกำลัง ($\alpha = 0.71$) เป็นต้น



รูปที่ 2.11 ความสัมพันธ์ระหว่างค่าสัมประสิทธิ์แรงเสียดทานของดินเสริมแรง (α) และความเครียดปกติ (Arulrajah et al. 2015)

จากผลทดสอบคุณสมบัติพื้นฐานและซีบีอาร์ของมวลรวมคอนกรีตรีไซเคิล พบว่า มวลรวมคอนกรีตรีไซเคิลที่มีการกระจายขนาดคละระหว่างขอบเขตล่างและขอบเขตบน ตามมาตรฐานของกรมทางหลวง มีคุณสมบัติที่ดีสามารถใช้เป็นวัสดุพื้นพื้นทางและชั้นรองพื้นทาง ในงานก่อสร้างถนนในประเทศไทยและจากผลทดสอบแรงเฉือนตรง พบว่า มวลรวมคอนกรีตรีไซเคิลที่มีการกระจายขนาดคละที่ขอบเขตล่างตามมาตรฐานของกรมทางหลวงมีกำลังต้านทานแรงเฉือนสูงกว่ามวลรวมที่มีการกระจายขนาดคละที่ขอบเขตบน เนื่องจากอิทธิพลของขนาดเฉลี่ย (D50) ที่มีขนาดใหญ่กว่า

กำลังร่วมเฉือนระหว่างมวลคอนกรีตรีไซเคิลและจีโอกรีดมีค่าน้อยกว่ากำลังต้านทานแรงเฉือนของมวลรวมคอนกรีตรีไซเคิลปราศจากการเสริมจีโอกรีด เนื่องจาก การลดลงของการขัดกัน (interlocking) ระหว่างอนุภาคของมวลรวมคอนกรีตรีไซเคิลในบริเวณที่มีการเสริมจีโอกรีด ซึ่งเป็นบริเวณที่ถูกเหนี่ยวนำให้เกิดหน้าตัดเฉือน (shear plane) สำหรับมวลรวมที่มีการกระจายขนาดคละแบบเดียวกันเมื่อขนาดช่องเปิดของจีโอกรีดมีขนาดใหญ่มากขึ้นกำลังร่วมเฉือนระหว่างมวลรวมคอนกรีตรีไซเคิลและจีโอกรีดมีค่าเพิ่มมากขึ้น เนื่องจาก การขัดกันของอนุภาคที่มีขนาด

เล็กกว่าจีโอกรีตที่เพิ่มมากขึ้นและเมื่อพิจารณาการเสริมจีโอกรีตขนาดเดียวกันกำลังร่วมเดือนของมวลรวมคอนกรีตรีไซเคิลที่ขอบเขตล่างมีค่าสูงกว่าขอบเขตบน เนื่องจาก อิทธิพลของขนาดเฉลี่ย (D50) ที่มีขนาดใหญ่ เช่นเดียวกับผลทดสอบหาลำดับด้านแรงของมวลรวมคอนกรีตรีไซเคิลปราศจากการเสริมจีโอกรีต

สมการกำลังร่วมเดือนที่นำเสนอในงานวิจัยนี้สร้างขึ้นในรูปของสัมประสิทธิ์กำลังร่วมเดือน α ซึ่งเป็นอัตราส่วนระหว่างกำลังร่วมเดือนของมวลรวมคอนกรีตรีไซเคิลเสริมจีโอกรีตและมวลรวมคอนกรีตรีไซเคิลปราศจากการเสริมจีโอกรีต สมการดังกล่าวสามารถใช้ทำนายกำลังร่วมเดือนของมวลรวมคอนกรีตรีไซเคิลเสริมจีโอกรีตเพียงต้องการกำลังต้านทานแรงเดือนของมวลรวมคอนกรีตรีไซเคิล ขนาดช่องเปิดของจีโอกรีตและการกระจายขนาดผลของมวลรวมคอนกรีตรีไซเคิล

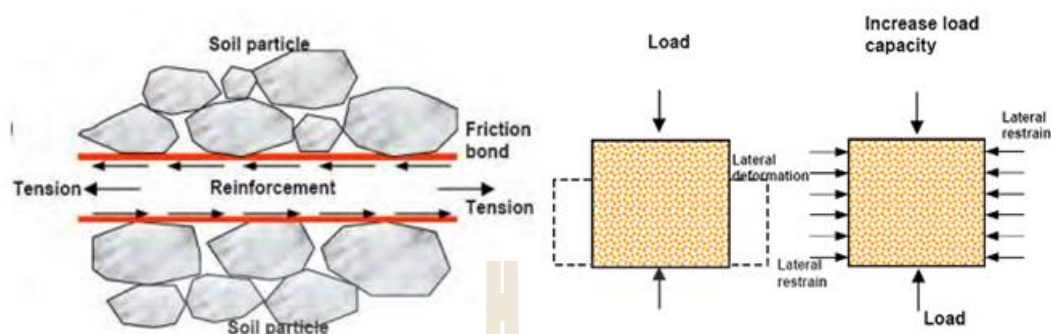
2.5 แนวคิดพื้นฐานของการเสริมแรงในดิน

2.5.1 สารสำคัญเกี่ยวกับทฤษฎีการปรับปรุงคุณภาพดินด้วยวัสดุเสริมแรง (Earth Reinforcement)

แนวคิดการเสริมกำลังให้แก่ดินนั้นมีการใช้งานมานานกว่า 20 ปี การวิวัฒนาการและพัฒนาแนวคิดการเสริมกำลังให้แก่ดินนั้นมาจากรากต้นไม้พืชที่เป็น โครงข่ายยึดเกาะมวลดิน ให้เกาะกลุ่มกันเป็นก้อนไม่หลุดออกจากกันได้ง่ายแต่วัสดุรากต้นไม้มีการเสื่อมย่อยสลายพุงงเน่าเปื่อย มนุษย์มีการค้นคว้าวิจัยเพื่อหาวัสดุที่สามารถควบคุมคุณภาพและมีความคงทนต่อการใช้งาน โดยมีการใช้วัสดุต่าง ๆ อาทิเช่น ไม้ไผ่ เหล็กเส้น เหล็กแผ่น โดยมีลักษณะการเสริมแรงเป็นชั้นแยกจากกัน จากนั้นพัฒนามาเป็นลักษณะแบบ โครงถักหรือตาข่ายเพื่อให้ง่ายต่อการก่อสร้างและสามารถรับแรงได้ดียิ่งขึ้น

โดยทั่วไปคุณสมบัติในการรับแรงดึงของดินแต่ละชนิดจะมีความแตกต่างกันไปตามแต่ลักษณะทางกายภาพของดินซึ่งโดยปกติแล้วดินจะเป็นวัสดุที่มีค่ากำลังรับแรงดึง (Tensile Resistance) น้อย ดินเหนียวหรือดินลูกรังเป็นวัสดุที่มีอนุภาคขนาดเล็กค่ากำลังรับแรงดึงจะขึ้นอยู่กับค่าแรงยึดเหนี่ยวระหว่างอนุภาค (Cohesion) ในขณะที่กำลังรับแรงดึงของทรายหรือกรวด ซึ่งเป็นวัสดุที่มีอนุภาคขนาดใหญ่จะมีค่าน้อยมากหรือไม่มีเลย การปรับปรุงคุณภาพดินเพื่อให้รับแรงดึงได้มากขึ้นสามารถทำได้หลายวิธีซึ่งวิธีหนึ่งที่นิยมใช้กันอย่างแพร่หลาย คือ วิธีการเพิ่มวัสดุตัวอื่นเข้ามาในโครงสร้างดินเพื่อให้วัสดุดังกล่าวรับแรงดึงให้กับดินได้ดียิ่งขึ้น หลักการในการเสริมกำลังให้แก่ดินโดยใช้วัสดุอื่นนั้นเกิดจากพฤติกรรมของแรงเสียดทานของผิวสัมผัสระหว่างอนุภาคดินกับวัสดุที่ใช้เสริมกำลัง โดยแรงเสียดทานระหว่างผิวสัมผัสดังกล่าวจะต้องเพียงพอกระทั่งทำให้อนุภาคดิน

ไม่เกิดการเคลื่อนตัวและสามารถกระจายแรงดึงที่เกิดขึ้นในมวลดินไปสู่วัสดุเสริมกำลัง ทำให้กำลังรับแรงดึงของดินเพิ่มขึ้น (ดังแสดงในรูปที่ 2.12)

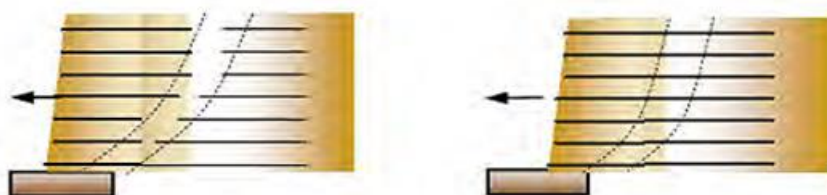


รูปที่ 2.12 (ก) พื้นผิวสัมผัสของชนิดและวัสดุเสริมแรง (ข) การเสีรูปร่างของมวลดินเมื่อมีการรับแรง

2.5.1.1 เสถียรภาพของโครงสร้างการเสริมแรงในดิน (Stability of Reinforced Earth Structures)

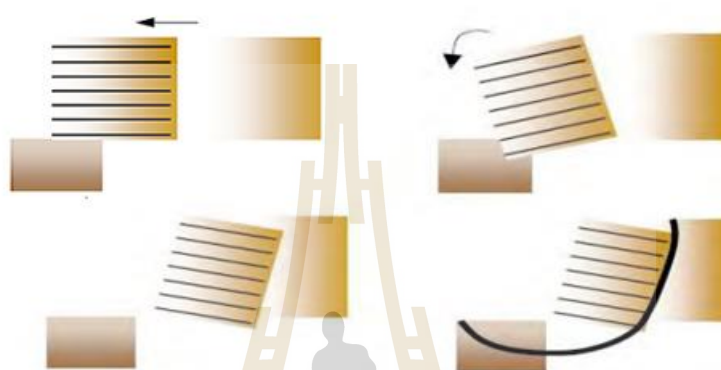
โดยทั่วไป โครงสร้างการเสริมแรงในดินจะต้องมีการวิเคราะห์เสถียรภาพของโครงสร้างเมื่อใช้งานจริง โดยน้ำหนักหรือแรงภายนอกที่กระทำอาจจะมาจากน้ำหนักที่กระทำด้านบนแรงดันดินด้านข้างขณะที่ฐานรากหรือดินที่รองรับโครงสร้าง การเสริมแรงในดินต้องมีความแข็งแรงและมั่นคงเพียงพอการวิเคราะห์เสถียรภาพดังกล่าวพิจารณาได้ 2 ลักษณะ คือ (ปรีดิเทพและอนก 2548)

- ก. เสถียรภาพภายในโครงสร้างการเสริมแรงในดิน (Internal Stability) ซึ่งจะพิจารณาคูณสมบัติของวัสดุเสริมแรงในดินเป็นสำคัญ คือ การวิบัติเนื่องจากกำลังรับแรงดึงของวัสดุเสริมแรงไม่เพียงพอ (Tension Failure) และการวิบัติเนื่องจากค่าแรงเสียดทานระหว่างผิวสัมผัสของดินและวัสดุเสริมแรงในดินมีค่ามากเกินไป (Pullout Failure) ลักษณะการวิเคราะห์เสถียรภาพภายใน แสดงไว้ในรูปที่ 2.13



รูปที่ 2.13 การพิจารณาเสถียรภาพภายใน (Internal Stability) ของโครงสร้างการเสริมแรงในดิน

- ข. เสถียรภาพภายนอกของโครงสร้างการเสริมแรงในดิน (External Stability) โดยจะพิจารณาดินที่รองรับโครงสร้างทั้งหมดว่ามีเสถียรภาพเพียงพอต่อการรับน้ำหนักโครงสร้างการเสริมแรงในดินได้หรือไม่ อีกทั้งยังพิจารณา ถึงเสถียรภาพของลาดดินบริเวณด้านหลังโครงสร้างการเสริมแรงในดินอีกด้วย แสดงไว้ในรูปที่ 2.14



รูปที่ 2.14 เสถียรภาพภายนอก (External Stability) ของโครงสร้างการเสริมแรงในดิน

2.5.2 สารสำคัญเกี่ยวกับการใช้เส้นใยธรรมชาติเป็นวัสดุเสริมแรง (Natural Fiber for Earth Reinforcement)

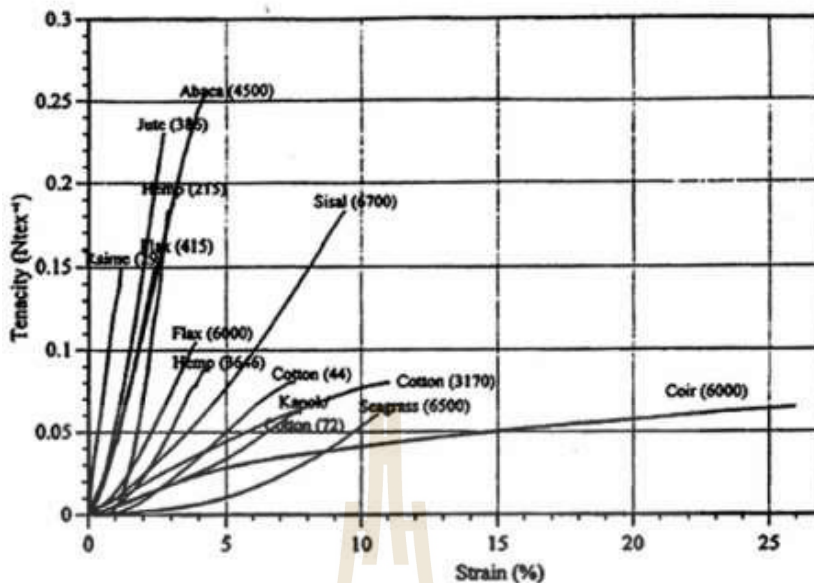
การใช้ต้นไม้หรือหญ้าที่มีระบบรากที่แข็งแรงในการป้องกันการชะล้างพังทลาย (Erosion Control) ตลอดจนการเสริมเสถียรภาพเชิงลาด (Slope Stabilization) นั้นเป็นที่ประจักษ์จากประสบการณ์ของการใช้งานมาแต่ครั้งโบราณกาล การใช้วิธีการเสริมแรงให้แก่ดินโดยใช้พืชในลักษณะที่เป็นระบบและมีลักษณะเชิงวิชาการมากขึ้นนั้นเริ่มมีการพัฒนาองค์ความรู้ในราวปี พ.ศ. 2473 ในช่วงทศวรรษที่ผ่านมามีความนิยมในวิธีการเช่นนี้มีมากขึ้นสืบเนื่องมาจากความตื่นตัวในเรื่องสิ่งแวดล้อม อีกทั้งความรู้และข้อมูลของวิธีการเหล่านี้สามารถหาได้ง่ายขึ้น ในการใช้อ้างอิงเพื่อการออกแบบ อันนำไปสู่ความน่าเชื่อถือของวิธีการเช่นนี้ วิศวกรจึงได้หันมาศึกษาคุณสมบัติของพืชหรือหญ้าที่มีระบบรากแข็งแรง เช่น หญ้าแฝก โดยที่เมื่อเทียบกับพืชนั้นหญ้าแฝกได้เป็นทางเลือกที่ดีในการแก้ปัญหาการชะล้างพังทลายและเสถียรภาพของลาดดิน ซึ่งการใช้งานหญ้าแฝกนั้นอาจใช้หญ้าแฝกแต่เพียงอย่างเดียวหรือจะใช้ร่วมกับวิธีการทางวิศวกรรมด้วยก็ได้ การศึกษาคุณสมบัติด้านกำลังการรับแรงเฉือนของดิน (Shear Strength of Soil) และกำลังรับแรงดึงของราก (Root Tensile Strength) จะทำให้เข้าใจคุณลักษณะของการเพิ่มเสถียรภาพเชิงลาด โดยใช้รากพืชในมากยิ่งขึ้น (ดิถีและวิฑูร 2543)

การนำเส้นใยที่ได้จากพืชตามธรรมชาติหรือพืชท้องถิ่นมาถักทอหรือสานให้เป็นลักษณะโครงตาข่ายหรือเป็นแผ่นนั้น ยังสามารถช่วยให้ประชาชนในพื้นที่ที่มีพืชเหล่านั้นอยู่มาก ได้มีรายได้เพิ่มมากขึ้นจากการนำเส้นใยธรรมชาติมาผลิตให้เป็นวัสดุเสริมแรงในดินอีกด้วย ซึ่งประเทศไทยเป็นประเทศที่มีภูมิอากาศเหมาะสมและมีพืชหลากหลายชนิดที่สามารถนำเส้นใยมาผลิตเป็นวัสดุเสริมแรงในดินดังกล่าวอีกด้วย โดยข้อเสนอการวิจัยนี้ ได้มีการศึกษาข้อมูลจากผลงานวิจัยที่เกี่ยวข้องที่ผ่านมาจากบทความทางวิชาการต่างๆ ซึ่งพบว่า ในต่างประเทศได้มีการศึกษาการใช้งานเส้นใยธรรมชาติ เพื่อนำมาเป็นวัสดุเสริมแรงในดินอย่างแพร่หลายในช่วงเวลาประมาณ 10 ปีที่ผ่านมาโดยประเทศที่เริ่มมีการศึกษาการใช้งานเส้นใยธรรมชาติดังกล่าวเช่น ประเทศอินเดีย ประเทศศรีนิแคว และประเทศที่ประชาชนประกอบอาชีพเกษตรกรรมเป็นหลัก เนื่องจากสามารถเลือกใช้พืชที่ให้เส้นใยธรรมชาติที่เหมาะสมในการนำมาใช้งาน

2.5.3 คุณสมบัติและความเป็นไปได้ในการใช้เส้นใยธรรมชาติเพื่อผลิตเป็นวัสดุเสริมแรง

เส้นใยจากพืชธรรมชาตินั้นสามารถแบ่งตามชนิดของลักษณะการเกิดของเส้นใย เช่น ลำต้น เมล็ด ใบ หรือผล เป็นต้น การนำเอาเส้นใยธรรมชาติต่างๆ เหล่านี้มาใช้งานวิศวกรรมโยธา ในช่วงเริ่มแรกนั้นหน่วยงานทางด้านทางหลวงของรัฐแคลิฟอร์เนียประเทศสหรัฐอเมริกา ได้ทำการทดสอบเส้นใยที่ได้จากฝ้ายเพื่อใช้ในงานก่อสร้างทาง (Beckman and Mills, 1957) โดยวางแผ่นเส้นใยนี้บนพื้นทางก่อนที่จะทำการปูผิวแอสฟัลท์ ซึ่งพบว่า สามารถเพิ่มความแข็งแรงให้กับโครงสร้างชั้นทางได้ โดยพฤติกรรมของแผ่นเส้นใยนี้จะเป็นแบบลักษณะแผ่นเรียบมากกว่าเป็น โครงตาข่ายทำให้ไม่สามารถยึดเกาะมวลดินเป็นเนื้อเดียวกันได้ นอกจากการใช้งานในเชิงวิศวกรรมโยธาแล้วเส้นใยธรรมชาติยังมีการนำไปประยุกต์ใช้งานโดยผสมในวัสดุต่าง ๆ เช่น ไม้เทียมที่ทำจากซีเมนต์ผสมเศษไม้และเส้นใยธรรมชาติ (Askew, 2000) การนำเส้นใยไปผสมกับซีเมนต์เพื่อผลิตกระเบื้องหลังคา (Mwasha et al., 2002) เส้นใยจากมะพร้าวนำไปผลิตเป็นวัสดุที่ใช้ป้องกันการกัดเซาะผิวดิน (Mandal, 1989)

งานวิจัยของ Anand (2008) ได้ศึกษาความสัมพันธ์ระหว่างความเค้นและความเครียดของเส้นใยจากพืชชนิดต่างๆ (รูปที่ 2.15) พบว่า เส้นใยจากพืชชนิดต่างๆ มีกำลังรับแรงดึงสูงมีค่าโมดูลัสยืดหยุ่นสูง ซึ่งคุณสมบัติเหล่านี้เป็นคุณสมบัติที่เหมาะสมในการใช้งานเป็นแผ่นวัสดุเสริมแรงในดิน



รูปที่ 2.15 ความสัมพันธ์ระหว่างความเค้นและความเครียดของเส้นใย จากพืชธรรมชาติชนิดต่างๆ (Anand, 2008)

กลุ่มนักวิจัยจากศูนย์เทคโนโลยีโลหะและวัสดุแห่งชาติ (MTEC) และสถาบันเทคโนโลยีแห่งเอเชีย ได้นำเสนองานวิจัยโดย Methacanon et. al, (2010) ซึ่งทำการศึกษาคุณสมบัติและความเป็นไปได้ในการใช้เส้นใยธรรมชาติเพื่อผลิตเป็นวัสดุเสริมแรง โดยเลือกใช้เส้นใยธรรมชาติในประเทศไทยได้แก่ เส้นใยจากปอ (Sisal) ป่าน (Roselle) กก (Reed) และผักตบชวา (Water Hyacinth) โดยได้นำเอาเส้นใยธรรมชาติเหล่านี้มาทำการทดลองเพื่อหาสารประกอบทางเคมี ลักษณะเส้นใย การดูดความชื้น คุณสมบัติเชิงกลการย่อยสลายเป็นต้น ตารางที่ 2.2 แสดงสารประกอบทางเคมีของเส้นใยธรรมชาติที่ศึกษา ส่วนตารางที่ 2.3 เป็นข้อมูลทางกายภาพด้านความยาวและความกว้างของเส้นใย การศึกษานี้ ยังได้ศึกษาลักษณะของเส้นใยจากภาพถ่ายกำลังสูงซึ่งจะสามารถเห็นความแตกต่างของเส้นใยแต่ละชนิด ดังแสดงในรูปที่ 2.17

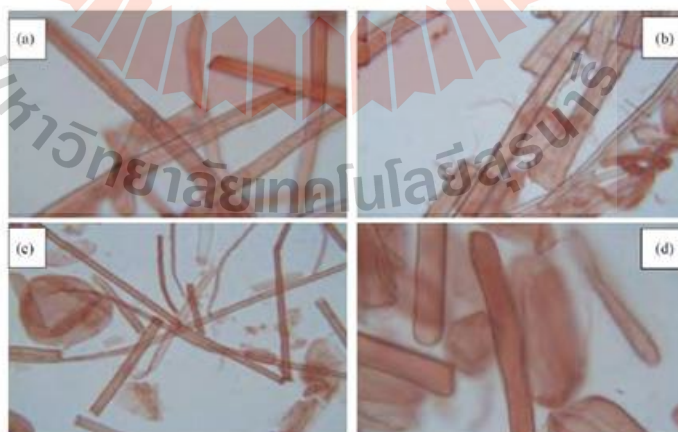
ตารางที่ 2.2 สารประกอบทางเคมีของตัวอย่างเส้นใยธรรมชาติ (Methacanon et al., 2010)

| Natural fiber | Composition (wt% on dry basis) | | | | |
|----------------|--------------------------------|----------------|--------|-------|----------|
| | Cellulose | Hemicelluloses | Lignin | Ash | Moisture |
| Sisal | 72.97 | 5.63 | 13.59 | 0.84 | 7.02 |
| Roselle | 70.2 | 7.21 | 14.91 | 0.72 | 6.97 |
| Reed | 47.46 | 18.75 | 19.81 | 4.65 | 9.32 |
| Water hyacinth | 52.2 | 16.76 | 9.42 | 12.14 | 9.46 |

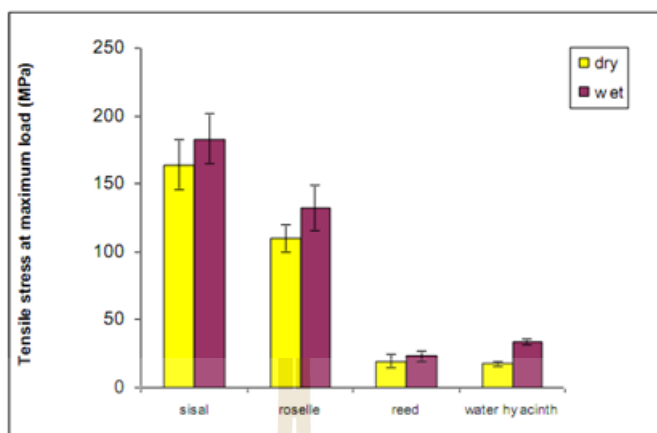
ตารางที่ 2.3 ลักษณะทางกายภาพของตัวอย่างเส้นใยธรรมชาติ (Methacanon et al., 2010)

| Natural fiber | Length (L, μm) | Width (W, μm) | Aspect ratio (L/W) |
|----------------|----------------------------|---------------------------|--------------------|
| Sisal | 201.1 \pm 51.3 | 13.2 \pm 1.9 | 15.3 |
| Roselle | 164.6 \pm 52.9 | 12.0 \pm 3.3 | 13.7 |
| Reed | 108.8 \pm 29.6 | 5.1 \pm 1.3 | 21.5 |
| Water hyacinth | 129.9 \pm 32.4 | 81.8 \pm 7.9 | 1.6 |

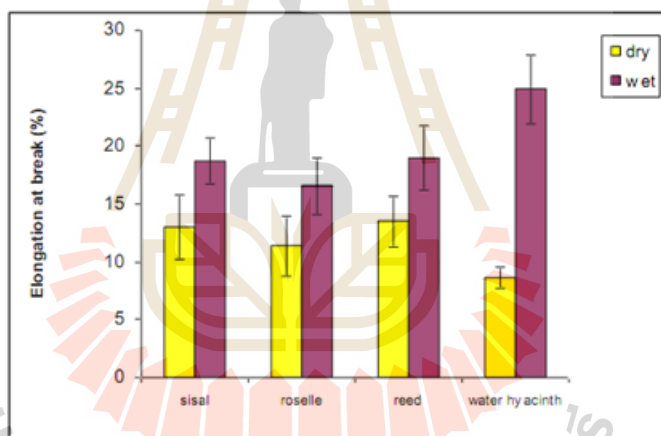
ในส่วนการทดสอบเชิงกลเพื่อหาค่ากำลังรับแรงดึงของเส้นใยนั้น พบว่า เส้นใยที่มีสภาพอุ้มน้ำมีค่ากำลังรับแรงดึงสูงกว่าเส้นใยในสภาพแห้ง ค่ากำลังรับแรงดึงของเส้นใยปอและป่านมีค่าประมาณ 112 -180 MPa. ส่วนเส้นใยกกและเส้นใยผักตบชวามีค่าประมาณ 18-33 MPa. ผลการทดสอบการหาค่ากำลังรับแรงดึงและระยะยืดขนาดของตัวอย่างเส้นใยแสดงไว้ในรูปที่ 2.18 (ก) และ รูปที่ 2.19 (ข) ตามลำดับ ทั้งนี้งานวิจัยนี้ได้สรุปว่าการใช้เส้นใยปอและเส้นใยป่านซึ่งมีลักษณะเส้นใยยาวและมีกำลังรับแรงดึงสูงเหมาะสำหรับการนำมาใช้เป็นวัสดุเสริมแรงเพื่อเพิ่มเสถียรภาพให้แก่ลาดดินหรือคันดินเสริมแรงได้ ส่วนเส้นใยกกและเส้นใยผักตบชวานั้นมีลักษณะเส้นใยสั้นและมีกำลังรับแรงดึงต่ำจึงเหมาะสำหรับการนำมาใช้เป็นวัสดุป้องกันการชะล้างพังทลายหน้าดิน



รูปที่ 2.16 ภาพขยายเส้นใยธรรมชาติ (a) ปอ (b) ป่าน (c) กก (d) ผักตบชวา (Methacanon et al., 2010)



รูปที่ 2.17 (ก) ค่ากำลังรับแรงดึงและระยะยืดขณะขาดของตัวอย่างเส้นใย (Methacanon et al., 2010)



รูปที่ 2.18 (ข) ค่าระยะยืดขณะขาดของตัวอย่างเส้นใย (Methacanon et al., 2010)

2.5.4 ทฤษฎีการใช้งานเส้นใยธรรมชาติที่มีอายุการใช้งานจำกัด (Limited Life Geotextiles - LLGs Theory)

Sarsby et. al. (1992) ได้เสนอทฤษฎีการใช้งานเส้นใยธรรมชาติที่มีอายุการใช้งานจำกัด (Limited Life Geotextiles - LLGs Theory) โดยมีแนวคิดในการนำเส้นใยธรรมชาติมาทำทอเป็นแผ่นและนำมาใช้งานเสมือนเป็นแผ่นวัสดุสังเคราะห์ (Geotextiles) เพื่อใช้ในการเสริมแรงให้กับคันดินที่ก่อสร้างบนดินเหนียวอ่อน โดยเป็นที่ทราบกันดีว่าเสถียรภาพของลาดดินหรือคันดินถมนั้นจะมีค่าน้อยหรือใกล้เคียงค่าวิกฤติในขณะที่ก่อสร้างแล้วเสร็จในเวลาช่วงแรก เมื่อเวลาผ่านไป

ไปเสถียรภาพของลาดดินจะเพิ่มขึ้นตามเวลา ดังนั้นการใช้งานเส้นใยธรรมชาติซึ่งมีอายุการใช้งานจำกัดนั้นสามารถนำมาใช้ในการเพิ่มเสถียรภาพของลาดดินหรือคันดินได้ โดยที่จะต้องเลือกใช้งานเส้นใยธรรมชาติที่มีความแข็งแรงและอายุการใช้งานอยู่ในช่วงที่เหมาะสม การใช้งานแผ่นวัสดุสังเคราะห์หรือแผ่นวัสดุเส้นใยธรรมชาตินั้นสามารถนำมาใช้งานด้านต่างๆทางวิศวกรรมซึ่งสามารถแบ่งตามลักษณะการใช้งานได้ดังนี้ (Sarsby, 2007)

ก. การใช้งานเป็นระบบกรอง (Filtration)

การใช้งานลักษณะนี้โดยมากจะใช้แผ่นวัสดุสังเคราะห์เพื่อห่อหุ้มทรายหรือกรวดที่ใช้ในการกรองน้ำ ซึ่งแผ่นวัสดุสังเคราะห์จะทำหน้าที่กรองไม่ให้ทรายหรือกรวดหลุดออกไปและช่วยให้น้ำหรือมวลละเอียดระบายออกไปจากระบบ

ข. การใช้งานเป็นชั้นแยก (Separation)

โดยมากจะใช้ในงานถนน โดยจะปูแผ่นวัสดุสังเคราะห์ระหว่างชั้นพื้นทางและรองพื้นทาง เพื่อเป็นการแยกวัสดุสองประเภทระหว่างชั้นแยกจากกันและเพื่อป้องกันไม่ให้มวลรวมด้านบนเคลื่อนตัวลงไปด้านล่าง ซึ่งจะทำให้โครงสร้างชั้นทางเสียหาย

ค. การใช้งานเป็นส่วนป้องกันการชะล้าง (Erosion Control)

การใช้งานลักษณะนี้จะแตกต่างจากการใช้งานเชิงวิศวกรรมแบบอื่น โดยจะใช้แผ่นวัสดุสังเคราะห์ในการคลุมผิวดินเพื่อลดการชะล้างพังทลายของหน้าดิน อีกทั้งยังช่วยชะลอความเร็วของน้ำผิวดินได้อีกด้วย

ง. การใช้งานเป็นวัสดุเสริมแรง (Reinforcement)

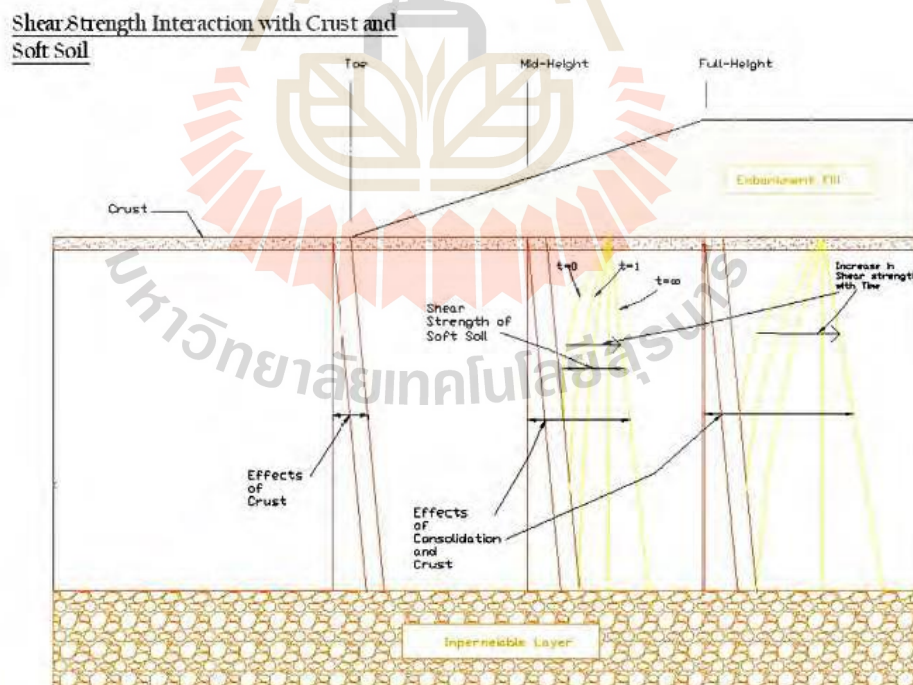
การใช้งานแผ่นวัสดุสังเคราะห์ในลักษณะนี้จะทำการเสริมแผ่นวัสดุสังเคราะห์เป็นชั้นๆ ภายในโครงสร้างคันดินหรือลาดดิน เพื่อช่วยเพิ่มเสถียรภาพป้องกันการเลื่อนไถลการแยกตัวของมวลดิน

2.5.4.1 การใช้งานในลักษณะเพื่อเสริมแรงให้แก่ดิน (Soil Reinforcement)

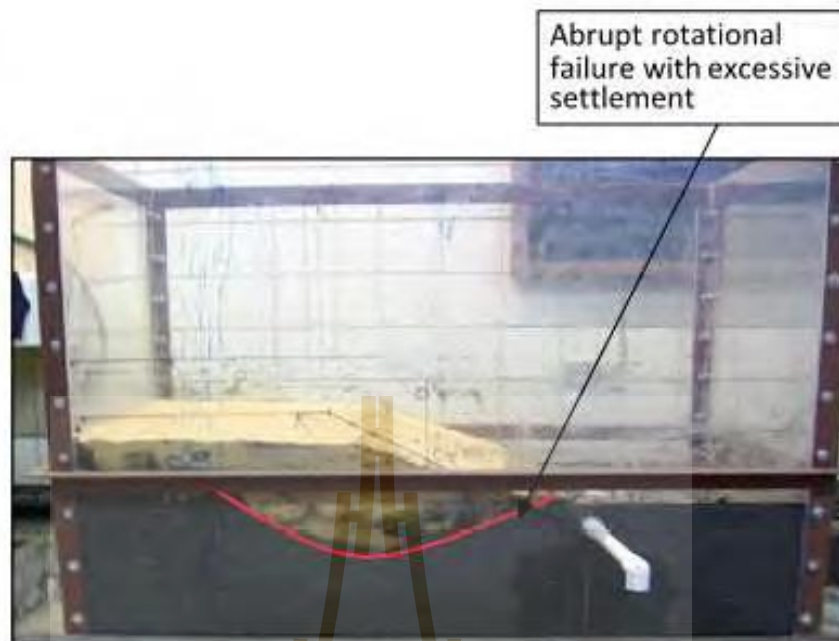
การใช้งานเส้นใยธรรมชาติเพื่อเสริมแรงให้แก่ดินนั้น มีนักวิจัยได้ศึกษามาเป็นเวลากว่า 40 ปีแล้ว โดย Kirby (1963) ได้รายงานผลการศึกษาถึงความคงทนและคุณสมบัติเชิงกลของเส้นใยธรรมชาติ เช่น ปอ และ มะพร้าว ซึ่งเส้นใยธรรมชาติจากปอมีค่ากำลังรับแรงดึงเฉลี่ย 580 MPa ขณะที่เส้นใยธรรมชาติจากมะพร้าวมีค่ากำลังรับแรงดึงเฉลี่ย 150 MPa จากนั้นในช่วง 10 ปีที่ผ่านมา มีผู้วิจัยในการใช้งานเส้นใยธรรมชาติเพื่อเสริมแรงให้แก่ดินเพิ่มมากขึ้น Sarsby (2007) ได้ศึกษาการใช้เส้นใยธรรมชาติที่นำมาถักสานเป็นวัสดุเสริมแรงในคันดินที่ก่อสร้างบนดินเหนียวอ่อนพบว่า สำหรับคันดินที่มีความลาดชันไม่มาก (1:4 หรือ 1:5) ช่วงระยะเวลาตอนเริ่มต้นก่อสร้างที่คันดินมีเสถียรภาพต่ำนั้นอยู่ในช่วงสั้น ๆ ซึ่งวัสดุเสริมแรงที่ทำจากเส้นใยธรรมชาตินั้นสามารถใช้งาน

ได้และมีค่ากำลังรับแรงดึงอยู่ในช่วงที่ปลอดภัยในขณะที่คันดินที่มีความลาดชันมากขึ้น (1:2) วัสดุเสริมแรงจะต้องมีค่ากำลังรับแรงดึงอยู่ในช่วงปลอดภัย เป็นเวลามากกว่า 1 ปีขึ้นไป ซึ่งสามารถเพิ่มจำนวนชั้นของวัสดุเสริมแรงที่มาจากเส้นใยธรรมชาติให้มากขึ้น นอกจากการใช้งานเพื่อเสริมกำลังให้แก่คันดินแล้วยังมีการใช้งานถนนอีกด้วย โดย Chandrakaranet al. (2008) ได้รายงานผลการทดสอบการใช้งานแผ่นทักสานจากเส้นใยมะพร้าวเพื่อเสริมแรงให้กับโครงสร้างชั้นทาง โดยพบว่า เมื่อใช้วัสดุเสริมแรงดังกล่าว ทำให้ ลดการทรุดตัวของผิวทางลดการเกิดร่องล้อและยังเพิ่มกำลังรับแรงเบกทานของดินในชั้นพื้นทางอีกด้วย

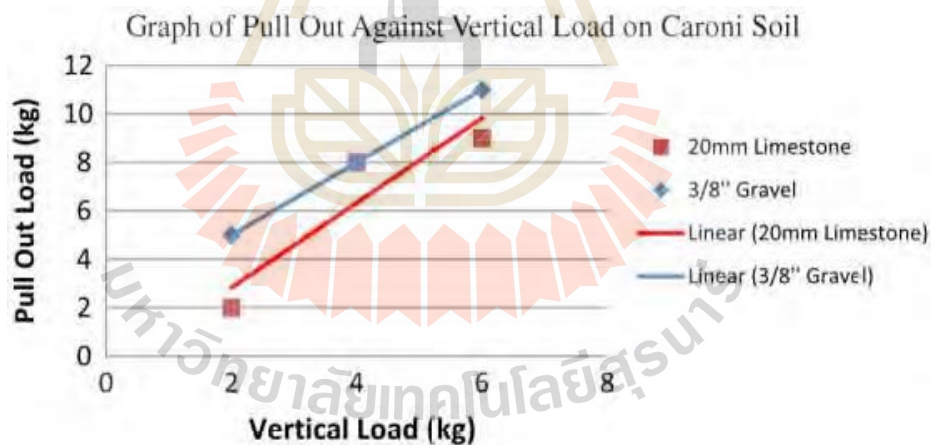
Mwasha and Petersen (2010) ศึกษาการใช้งานเส้นใยปอในการนำมาใช้เป็นวัสดุเสริมแรงตามทฤษฎีการออกแบบโดยจำกัดอายุการใช้งาน โดยตรวจสอบพฤติกรรมตามแบบจำลอง ในรูปที่ 2.21 พบว่า ขนาดช่องเปิดของโครงตาข่ายและขนาดของเม็ดดินมีผลต่อแรงปฏิสัมพันธ์แบบดึงออก ดังแสดงในรูปที่ 2.22 ซึ่งจากผลการวิจัยสามารถสรุปได้ว่าค่าสัมประสิทธิ์แรงยึดเกาะระหว่างวัสดุเสริมแรงกับดินเพิ่มขึ้นในขณะที่เกิดการอัดตัวระบายน้ำ เส้นใยปอซึ่งมีลักษณะยาวและหยาบมีค่าสัมประสิทธิ์แรงยึดเกาะที่ดีและเหมาะสมสำหรับใช้เป็นวัสดุเสริมแรงสำหรับก่อสร้างคันดินเสริมแรง



รูปที่ 2.19 แบบจำลองที่ใช้วิเคราะห์คันดินเสริมแรงด้วยแผ่นถักสานเส้นใยธรรมชาติบนดินเหนียวอ่อน (Mwasha, 2009)



รูปที่ 2.20 แบบจำลองที่ใช้ทดสอบคันดินเสริมแรงด้วยแผ่นถักสาน
จากเส้นใยปอ (Mwasha and Petersen, 2010)

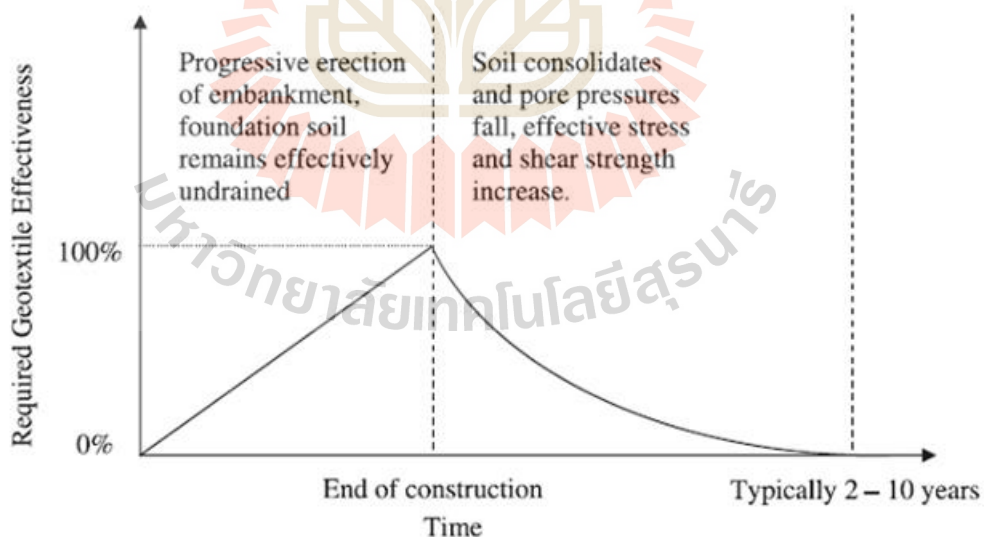


รูปที่ 2.21 ผลทดสอบแรงปฏิสัมพันธ์แบบดึงออกของแผ่นถักสาน
จากเส้นใยปอในดิน (Mwasha and Petersen, 2010)

จากงานวิจัยในต่างประเทศที่กล่าวถึงข้างต้น การศึกษาวิจัยนี้จึงมุ่งเน้นในการนำเส้นใยธรรมชาติมาถักสานเป็นแผ่นวัสดุเสริมแรงให้แก่ดิน โดยการเสริมแรงให้กับลาดดินนั้น เสถียรภาพของลาดดินจะเพิ่มขึ้นตามเวลา ส่วนแรงต้านทานการเลื่อนไถลจากวัสดุเสริมแรงนั้น จะลดลงตามเวลาเมื่อเวลาผ่านไประยะหนึ่งโดยส่วนใหญ่จะประมาณ 6 เดือนถึง 1 ปี ลาดดินหรือคันดินจะมีเสถียรภาพอยู่ได้เองโดยไม่จำเป็นต้องอาศัยแรงต้านทานการเลื่อนไถลจากวัสดุ

เสริมแรง แผนภาพแสดงความสัมพันธ์ระหว่างกำลังรับแรงดึงของแผ่นวัสดุสังเคราะห์กับเวลา แสดงไว้ในรูปที่ 2.21 ด้วยเหตุดังกล่าวการใช้งานวัสดุสังเคราะห์เพื่อเสริมแรงให้กับลาดดินหรือคันดินถมนั้น จะทำให้เราใช้ความสามารถของวัสดุสังเคราะห์อย่างเต็มที่ภายในช่วงเวลาที่จำกัดเท่านั้น สำหรับการก่อสร้างแบบเดิมจะทำให้เราออกแบบการใช้งานวัสดุสังเคราะห์โดยไม่ประหยัด กล่าวคือหากเราสามารถออกแบบให้ใช้งานวัสดุสังเคราะห์ภายใน ช่วงเวลาที่กำหนดได้จะทำให้การใช้งานวัสดุสังเคราะห์มีประสิทธิภาพมากยิ่งขึ้น การนำเส้นใยธรรมชาติมาทักสานเป็นแผ่นวัสดุเสริมแรงจึงเป็นทางเลือกที่ดีเมื่อเราสามารถใช้งานความแข็งแรงของวัสดุเสริมแรงภายในช่วงเวลาที่จำกัดและทราบช่วงเวลาที่แน่นอน อีกทั้งการใช้เส้นใยธรรมชาตินี้สามารถนำวัสดุภายในท้องถิ่นมาใช้งานเป็นมิตรต่อสิ่งแวดล้อมและยังสามารถนำกลับมาใช้ใหม่ได้อีกด้วย

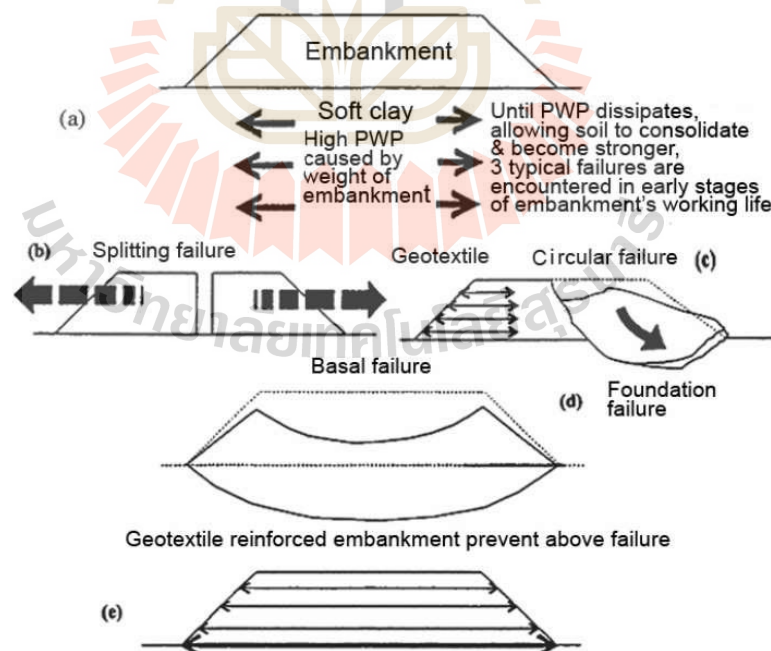
เส้นใยธรรมชาติเป็นวัสดุที่มีการเสื่อมอายุหรือกำลังลดลงเมื่อเวลาผ่านไป เส้นใยธรรมชาตินี้มีมากมายหลายชนิดบางชนิดมีค่ากำลังรับแรงดึงสูงบางชนิดมีกำลังรับแรงดึงต่ำบางชนิดค่ากำลังรับแรงดึงลดลงตามเวลา ดังนั้นหากสามารถนำเอาเส้นใยธรรมชาติมาผลิตเป็นโครงตาข่ายหรือแผ่นเพื่อใช้ในการเสริมกำลังให้แก่ดิน โดยที่ทำให้ค่ากำลังรับแรงดึงมีความเหมาะสมต่อช่วงเวลาในงานวิศวกรรมต่างๆ แล้วการใช้เส้นใยธรรมชาติเหล่านี้จะมีประโยชน์อย่างยิ่งต่องานวิศวกรรม (Sarsby et al., 1992)



รูปที่ 2.22 ช่วงเวลาในการใช้งานแผ่นวัสดุสังเคราะห์ในคันดินเสริมแรง (Sarsby, 2007)

แนวคิดหลักในการพัฒนาเส้นใยธรรมชาติเพื่อใช้งานวิศวกรรมนั้นจะเป็นการออกแบบที่คำนึงถึงหน้าที่การใช้งานเป็นหลัก ซึ่งจากปัญหาทางวิศวกรรมที่เกิดขึ้นเมื่อเราสามารถผลิตและออกแบบให้เส้นใยธรรมชาติทำหน้าที่ได้อย่างมีประสิทธิภาพแล้วเส้นใยธรรมชาติ

เหล่านี้สามารถใช้งานทดแทนวัสดุสังเคราะห์ที่ใช้กันอยู่ทั่วไปได้ กล่าวโดยสรุปจากการศึกษานี้พบว่า ตัวอย่างเส้นใยที่ศึกษาแบ่งได้เป็น 2 ประเภท คือ เส้นใยที่มีลักษณะยาวและมีกำลังรับแรงดึงสูง คือ เส้นใยปอและป่าน อีกประเภทหนึ่งคือเส้นใยที่มีลักษณะสั้นและมีกำลังรับแรงดึงต่ำ คือ เส้นใย กกและผักตบชวา ในการนำมาใช้งานในเชิงวิศวกรรมนั้นเส้นใยลักษณะยาวและมีกำลังรับแรงดึงสูงเหมาะสำหรับการใช้งานเป็นวัสดุเสริมแรงเพื่อเพิ่มเสถียรภาพให้กับลาดดิน ส่วนเส้นใยลักษณะสั้นและมีกำลังรับแรงดึงต่ำเหมาะสำหรับการใช้งานเพื่อเป็นวัสดุป้องกันการชะล้างพังทลายของหน้าดิน การนำเส้นใยธรรมชาติมาใช้งานในเชิงวิศวกรรมนั้นยังต้องคำนึงถึงปัจจัยแวดล้อมต่างๆ เช่น สภาพอากาศ ชนิดของดิน ลักษณะของลาดดินด้วย รูปที่ 2.24 แสดงถึงลักษณะการเสริมแรงแบบต่างๆ ของแผ่นวัสดุเสริมแรงซึ่งสามารถใช้เส้นใยธรรมชาติเป็นวัสดุได้ โดยจะใช้ประโยชน์จากวัสดุเสริมแรงนี้เพื่อเพิ่มเสถียรภาพให้กับลาดดินหรือคันดินในช่วงระยะเวลาเริ่มต้นก่อสร้างและก่อสร้างแล้วเสร็จในช่วงเวลาสั้นๆ (Short Term Stability) ซึ่งลาดดินหรือคันดินเสริมแรงลักษณะนี้จะมีเสถียรภาพมากขึ้นเมื่อเวลาผ่านไปนานๆ (Long Term Stability) ดังนั้นการใช้งานเส้นใยธรรมชาติเป็นวัสดุเสริมแรงนั้นจะมีประสิทธิภาพเพียงพอที่จะเพิ่มเสถียรภาพของคันดินหรือลาดดินได้ตามทฤษฎีการใช้งานแผ่นวัสดุเสริมแรงที่มีอายุการใช้งานจำกัด (Limited Life Geotextiles – LLGs)



รูปที่ 2.23 การใช้งานวัสดุเสริมแรงในคันภายในช่วงเวลาดำเนินการ (a) คันดินทั่วไป (b) การป้องกันการแยกตัว (c) การป้องกันการเลื่อนไถล (d) การทรุดตัวที่มากเกินไปบริเวณฐาน (e) การป้องกันการทรุดตัวที่มากเกินไปบริเวณฐาน (Anand, 2008)

2.6 ประเภทวัสดุที่ใช้เสริมแรง

การเสริมแรงสามารถใช้วัสดุหลายชนิด วัสดุส่วนใหญ่ที่ใช้สำหรับการก่อสร้างคอนกรีตจะเป็นเหล็ก คอนกรีต ยี่แก้ว ไม้ ยาง พลาสติกทนความร้อน อลูมิเนียมและการเสริมแรงอาจใช้รูปแบบของวัสดุแผ่นไม้กระดาน เชือก พืชและการรวมกันของวัสดุเหล่านี้หรือวัสดุรูปแบบอื่นๆ ในปัจจุบันนี้วัสดุเสริมแรงชนิดต่างๆ ได้ถูกใช้ในการก่อสร้างและการออกแบบฐานราก ผนังกันดินลาดตลิ่ง และโครงสร้างเสริมแรงดินอื่นๆ ตัวแปรพื้นฐานของวัสดุเสริมแรงที่เป็นตัวกำหนดในการเพิ่มคุณสมบัติด้านแรงดึงให้ดิน จึงทำให้ เพิ่มความมั่นคงภายใน โครงสร้าง จากการพิจารณาการขยายตัวของวัสดุเสริมแรงสามารถแบ่งได้เป็นสองประเภท คือ Inextensible Reinforcement และ Extensible Reinforcement

2.6.1 Inextensible Reinforcement

ชนิดของการเสริมแรงนี้โดยปกติจะเป็นวัสดุที่แข็งเป็นวัสดุเสริมกำลังที่ไม่สามารถยืดได้และการเปลี่ยนรูปของ Inextensible Reinforcement จะเกิดความวิติน้อยกว่าในโครงสร้างดิน ตัวอย่างของวัสดุเสริมแรงประเภทนี้ส่วนใหญ่จะเป็นวัสดุประเภท โลหะ เช่น Metallic Strips, Metallic Grids, Hexagonal Wire Meshes, Etc

2.6.2 Extensible Reinforcement

โดยทั่วไปวัสดุเสริมแรงชนิดนี้เมื่อเกิดการขยายตัวความแข็งแรงจะลดลงและจะขยายมากกว่าแบบ Inextensible การเพิ่มกำลังขยายมีค่าเทียบเท่าหรือมากกว่าในดิน โดย Extensible Reinforcement จะเป็นวัสดุเสริมแรงที่ไม่ใช่โลหะ เช่น Geosynthetics ได้แก่ Geotextiles, Geogrids, Geocomposites โดยที่ Geotextile และ Geogrids มีพื้นฐานของ Strength Stiffness และคุณสมบัติความเครียดที่ค่อนข้างมาก Extensible Reinforcement มีข้อดีที่สำคัญ คือ จะไม่ถูกกัดกร่อนแต่มีแนวโน้มที่จะเกิดความล้า ซึ่งเป็นปรากฏการณ์ที่เกิดขึ้น โดยดูได้จากความเครียดที่มีแรงกระทำคงที่หรือส่วนเกินที่เกิดจากการให้แรงกระทำครั้งแรกใน โครงสร้างชั่วคราว ความล้าจะทำให้เกิดปัญหาเล็กน้อยแต่ในระยะยาวที่เป็น โครงสร้างถาวรความล้าอาจมีผลรุนแรงมากขึ้น

2.7 การประยุกต์ใช้ตาข่ายเสริมแรง (Geogrid)

โดยทั่วไปแผ่นใยสังเคราะห์สามารถประยุกต์ใช้ได้ ในหลายหน้าที่ ได้แก่ การแยกชั้นวัสดุเสริมกำลัง กรองวัสดุ ระบายน้ำและการกักกันวัสดุ อย่างไรก็ตามตาข่ายเสริมแรงมีลักษณะเป็นช่องซึ่งดินสามารถผ่านได้ หน้าที่หลักจึงเป็นการเสริมกำลังในกรณีที่ต้องใช้คุณสมบัติในการแยกชั้นวัสดุมักใช้ร่วมกับ Geotextile ตาข่ายเสริมแรงซึ่งต่อไปจะขอแทนด้วย คำว่า Geogrid มักจะนำมาประยุกต์ใช้ในรูปแบบต่างๆ ดังต่อไปนี้

2.7.1 ช่วยในการก่อสร้างบนดินอ่อน

การก่อสร้างในดินอ่อนมักเกิดปัญหาหลายอย่าง ได้แก่ ดินไม่สามารถรับน้ำหนักเครื่องจักรในการก่อสร้างทำให้ไม่สามารถเข้าไปทำงานได้ การบดอัดให้ได้ความแน่นตามข้อกำหนดทำได้ยาก โดยปกติก่อนการทำงานจะทำการไถเลนทำการขุดวัสดุดินอ่อนออกแล้วแทนที่ด้วยดินที่มีกำลังสูงพอก่อน นอกจากนี้ในบางครั้งอาจต้องทำการเพิ่มกำลังของดินด้วยการผสมด้วยสารเคมี Geogrid จึงนำมาใช้งานเพื่อเป็นฐานรากชั่วคราวเพื่อให้คนเดินหรือรถบรรทุกวิ่งสำหรับการก่อสร้างในดินอ่อน (Cancelli et al.1996, Douglas 1997, และ Hass et al. 1988) ซึ่งจะช่วยประหยัดเวลาในการขุดหรือและค่าใช้จ่ายในการแทนที่ด้วยวัสดุคุณภาพสูงอีกทั้งสามารถติดตั้งได้อย่างรวดเร็ว นอกจากนี้ Geogrid จะช่วยจำกัดการเคลื่อนที่ของวัสดุออกในแนวราบขณะทำการบดอัดทำให้การบดอัดบนดินอ่อนในสองสามชั้นแรกถัดจากชั้นดินอ่อนทำได้ง่ายขึ้น (Berg et al. 2000)

2.7.2 เสริมในโครงสร้างชั้นทาง

การเสริมกำลังโครงสร้างชั้นทางด้วย Geogrid จะมี 2 ลักษณะ ลักษณะแรกคือการเสริมเพื่อเพิ่มอายุการใช้งานของถนนเมื่อเทียบกับถนนลักษณะเดียวกันที่ไม่ได้เสริมกำลังด้วย Geogrid หรือลักษณะที่สอง คือช่วยลดความหนาของโครงสร้างชั้นทางโดยไม่กระทบกับอายุการใช้งาน (Cancelli et al. 1996, Collin et al. 1996, Haas et al. 1988, Perkins et al. 1997a/b และ Webster 1993) นอกจากนี้ Geogrid ยังนำมาใช้ในคันทางบนดินที่มีการขยายตัวสูง (Expansive Soil) เพื่อลดการเกิด Reflective Crack อีกด้วย การเสริม Geogrid ในโครงสร้างชั้นทางจะมีอยู่ 3 ลักษณะ ดังนี้

2.7.2.1 เพิ่มเสถียรภาพให้กับชั้นดินเดิม (Mechanical Subgrade Stabilization)

2.7.2.2 เสริมกำลังชั้นพื้นทาง (Aggregate Base Reinforcement)

2.7.2.3 เสริมกำลังก่อนทำการ Overlay (Asphalt Concrete Overlay Reinforcement)

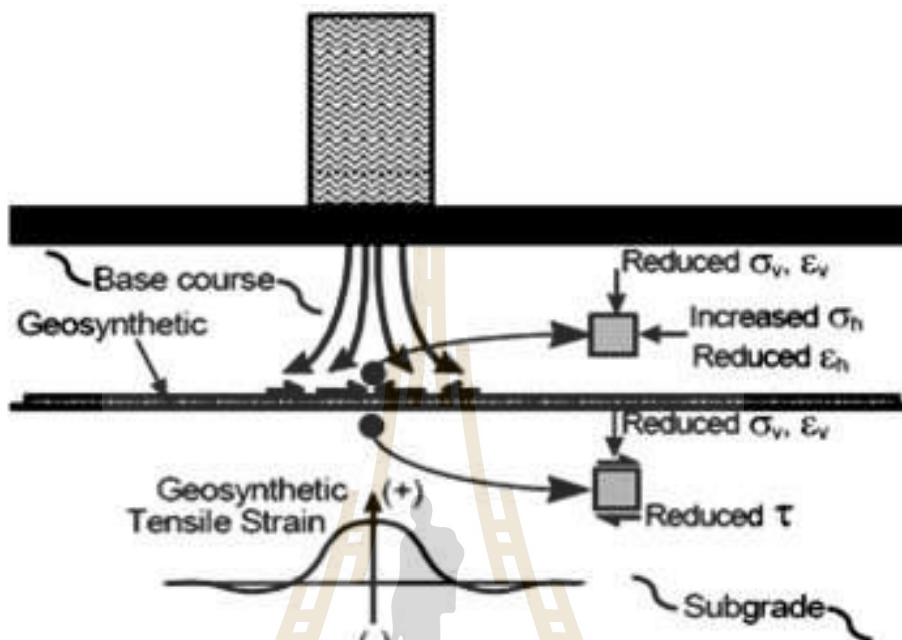
สำหรับการใช้งานเพื่อเพิ่มเสถียรภาพให้กับชั้นดินเดิมและการเสริมกำลังชั้นพื้นทางให้วาง Geogrid ที่ด้านล่างของชั้นพื้นทางสำหรับชั้นพื้นทางที่หนาน้อยกว่า 14 นิ้ว หากชั้นพื้นทางหนากว่า 14 นิ้วให้วาง Geogrid ที่กึ่งกลางของชั้นพื้นทาง (Webster 1993) ในบางกรณีให้ใช้ Geotextile ร่วมกับ Geogrid ขึ้นอยู่กับกำลังของชั้นดินเดิม

2.7.3 กระบวนการรับแรงโดยตะขวยเสริมแรง (Geogrid)

เมื่อมีน้ำหนักบรรทุกมากระทำกับโครงสร้างชั้นทางแรงที่มากกระทำกับผิวทางจะกระจายลงสู่โครงสร้างชั้นทางด้านล่างเมื่อทำการเสริมด้วย Geogrid จะเกิดกระบวนการเสริมแรงทำให้ความเค้นในดินคันทางเปลี่ยนแปลงไปดังนี้ (ดูรูปที่ 2.24)

2.7.3.1 วัสดุเหนือ Geogrid จะมีความเค้นในแนวตั้งลดลง และความเค้นในแนวราบเพิ่มขึ้น ซึ่งความเค้นนี้จะถ่ายลงไปที่ Geogrid

2.7.3.2 วัสดุ Geogrid จะมีค่าความเค้นในแนวดิ่งและความเค้นเฉือนลดลงจะไม่มี
ความเค้นเกิดขึ้นในแนวราบเนื่องจากได้ส่งผ่านไปที่ Geogrid แล้ว



รูปที่ 2.24 ความเค้นที่เกิดขึ้นในมวลดินเสริมด้วย Geogrid (Berg et al. 2000)

กระบวนการเสริมกำลังโดย Geogrid ประกอบด้วยกระบวนการ 3 กระบวนการ คือ

1. กระบวนการยึดรั้งด้านข้าง (Lateral Restraint)
2. กระบวนการเพิ่มกำลังแบกทาน (Improve Bearing Capacity)
3. กระบวนการเทนชันเมมเบรน (Tensioned Membrane Effect)

2.8 วิธีการทดสอบหาความต้านทานแรงเฉือนของผิวระหว่างดินและวัสดุเสริมกำลัง

2.8.1 การทดสอบโดยวิธีเฉือนโดยตรง (Direct shear Test)

การทดสอบโดยวิธีเฉือนโดยตรงเป็นวิธีที่ใช้มากที่สุดในการประเมินหาความต้านทานแรงเฉือนของผิวสัมผัสระหว่างดินและวัสดุเสริมกำลัง Hausmann (1990) ได้สรุปรูปแบบของกล่องเครื่องมือทดสอบเฉือนโดยตรงของดินและวัสดุเสริมกำลังจากผู้วิจัยต่างๆ โดยที่แบบแรกเป็นกล่องเฉือนมาตรฐาน (Standard Direct Shear Box) แต่ให้มีแท่งวัสดุแข็งใส่ไว้ในครึ่งด้านล่างเพื่อรองรับวัสดุเสริมกำลังที่วางให้อยู่ตรงระนาบการเฉือน เครื่องมือทดสอบอีกรูปแบบหนึ่งคือแบบเฉือนจริง (True Shear Apparatus) ที่พัฒนาขึ้นเพื่อจำลองพฤติกรรมที่เกิดขึ้นตรงบริเวณ

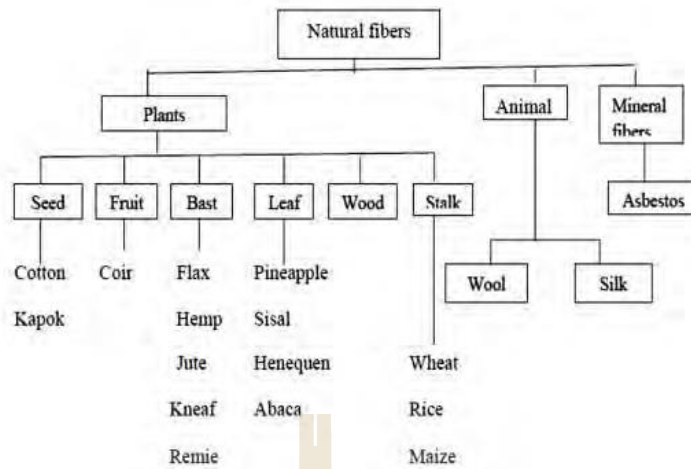
ผิวสัมผัสระหว่างดินและวัสดุเสริมกำลังให้ใกล้เคียงที่สุด โดยลดแรงเสียดทานด้านข้างของฝาปิดด้านบน (CapBlock) ของกล่องเงื่อนไข ดังแสดงในรูป ซึ่งเมื่อเปรียบเทียบกับกล่องเงื่อนไขแบบมาตรฐานแล้ว ให้ผลการทดลองที่ถูกต้องมากกว่าเมื่อดินมีการขยายตัว (Dilatancy) ขณะที่เกิดการเงื่อนไขเป็นกล่องเงื่อนไขแบบปริมาตรคงที่ (Constant Volume – Type Shear Box) ที่มีคุณสมบัติพิเศษคือ มวลดินจะถูกควบคุมให้มีปริมาตรคงที่ซึ่งหากนำไปใช้ทดสอบด้วยกล่องเงื่อนไขจะสูงกว่าที่ได้จากการทดสอบด้วยกล่องเงื่อนไขแบบมาตรฐาน จึงเหมาะสำหรับใช้ทดสอบเฉพาะในกรณีที่จะไม่เกิดการขยายตัวของดินในสภาพจริง

2.8.2 การทดสอบกำลังรับแรงดึงออก (Pullout Test)

เครื่องมือและรูปแบบของการทดสอบกำลังรับแรงดึงออกของวัสดุเสริมกำลังที่ฝังอยู่ในดินนั้น ได้มีการพัฒนาขึ้นหลายวิธี เพื่อให้สามารถจำลองพฤติกรรมของดินและวัสดุเสริมกำลังให้เหมือนกับในสภาพจริงได้มากที่สุด โดยมีขนาดของการทดสอบตั้งแต่ที่เป็นกล่องขนาดเล็กสำหรับการทดสอบในห้องปฏิบัติการซึ่งมีความหนาของดินปิดทับวัสดุเสริมกำลังน้อยกว่า 600 มิลลิเมตร ไปจนถึงการฝังวัสดุเสริมกำลังไว้ในคันดิน เพื่อทำการดึงออกในที่ก่อสร้างในสนาม

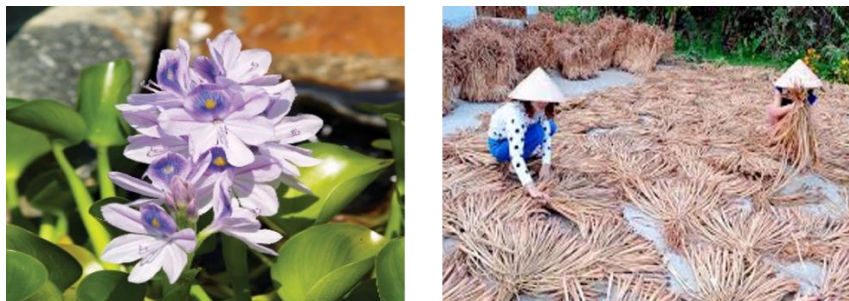
2.9 การใช้เส้นใยธรรมชาติเป็นวัสดุเสริมแรง

เส้นใยตามธรรมชาติซึ่งสามารถย่อยสลายได้ตามธรรมชาติ จะมีการใช้งานอย่างมีประสิทธิภาพในการควบคุมการชะล้างพังทลาย อีกทั้งยังมีประโยชน์มากมาย คือ การติดตั้งได้อย่างรวดเร็วสำหรับการใช้เส้นใยธรรมชาติในวิศวกรรมโยธาครั้งแรกได้เริ่มในปี 1926 เมื่อกรมทางหลวงในเซาท์แคโรไลนาสหรัฐอเมริกา ได้ทำการทดสอบโดยใช้ผ้าฝ้ายทอเป็น Geotextile เพื่อลดการแตกตัวของถนน (Beckman and Mills, 1957) เส้นใยธรรมชาติที่มาจากพืช สัตว์ และแร่ธาตุเป็นแหล่งที่มาของเส้นใยธรรมชาติที่มีคุณสมบัติของเส้นใยทดแทนเส้นใยสังเคราะห์ได้ สามารถนำมาออกแบบเพื่อเพิ่มความแข็งแรงและคุณสมบัติทางวิศวกรรมอื่นๆ ได้มากมาย เส้นใยธรรมชาติสามารถแบ่งได้ 3 ประเภทหลักตามแหล่งกำเนิด ได้แก่ พืช สัตว์ และแร่ธาตุ ในรูปที่ 2.28 เส้นใยพืชโดยทั่วไปส่วนใหญ่จะประกอบด้วยเซลลูโลส เส้นใยเหล่านี้สามารถพบได้ในใยเมสิดพันธุ์ (ผ้าฝ้ายและขน) ใยแก้วนาโบ (Sisal และ Agave) เส้นใย ผิวหนัง (แฟลกซ์ ปอกระเจาปอแก้วอุตสาหกรรม ป่าน ผ้าป่านหวาย ใยถั่วเหลืองและกากใยกล้วย) ใยผลไม้ (ใยมะพร้าว) และก้านใยแก้วนาโบแสง (หลอดของข้าวสาลีข้าว ข้าวบาร์เลย์ไม้ไผ่และหญ้า) สิ่งเหล่านี้เป็นเส้นใยชนิดที่มีแรงดึงสูงกว่าเส้นใยอื่นๆ นอกจากนี้ยังเป็นเส้นใยที่มีความคงทนมากเมื่อนำมาใช้งาน



รูปที่ 2.25 Classification of natural fibers

เส้นใยธรรมชาติจะถูกตัดแปลงเป็น Geotextiles และใช้ในงานวิศวกรรมปฐพีที่ระบุไว้ โดยทั่วไปเรียกว่า Limited Life Geosynthetics (LLGs) มีหลายการทดลองที่เกี่ยวข้องกับ LLGs เช่น Lekha and Kavitha (2006), Dinu and Saska (2007), Mwashu and Pertersen (2010) สำหรับการเสริมความแข็งแรงของดิน การควบคุมการชะล้างพังทลายและการระบายน้ำ นอกจากนี้วัสดุ Geosynthetic ใน Embankments ที่มีการใช้กันอย่างแพร่หลายเพื่อเพิ่มความมั่นคง (Sarsby, 2007) Geotextiles ยังมีหลายชนิดที่ทำจากเส้นใยพืช เช่น มะพร้าว (Subaida et al., 2008) ปอกระเจา (Chattopadhyay and Chakravarty, 2009) ชานอ้อย (Dinu and Saska, 2007) เส้นใยธรรมชาติเป็นสิ่งแวดล้อมที่ไม่เป็นอันตรายและชีวภาพที่ย่อยสลายได้ ปัจจุบันฝักตบขวา ปอแก้ว กก และป่าน เป็นพืชที่มีราคาต่ำและอุดมสมบูรณ์สูงและยังสามารถนำมาประยุกต์ใช้กับวิศวกรรมปฐพีในประเทศไทย ดังรูปที่ 2.26

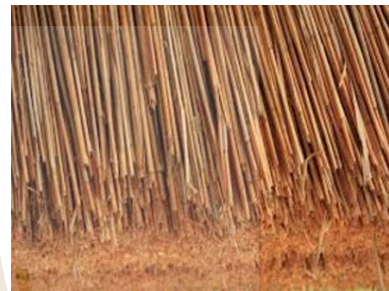


Water Hyacinth

รูปที่ 2.26 Different types of natural fibers



Sisal



Reed

รูปที่ 2.27 Different types of natural fibers



บทที่ 3

วิธีดำเนินการศึกษา

งานวิจัยนี้มีวัตถุประสงค์เพื่อศึกษาเส้นใยปอหรือป่านที่ถักสานเป็นโครงตาข่ายในลักษณะเรียบโดยที่มีขนาดช่องเปิดที่แตกต่างกันเพื่อมาเป็นวัสดุเสริมแรงให้แก่ถนน ชั้นพื้นทาง และชั้นรองพื้นทางเพื่อศึกษาปฏิกิริยาร่วมเนื้อระหว่างจีโอกริดเส้นใยธรรมชาติและมวลรวมชั้นพื้นทางในพจน์ของคุณสมบัติของจีโอกริดเส้นใยธรรมชาติ (ขนาดช่องเปิดและกำลังแรงดึง) และ คุณสมบัติของมวลรวมคอนกรีตรีไซเคิล (RCA) (การกระจายขนาดและกำลังต้านทานแรงเฉือน) ผลการทดสอบจะนำมาเปรียบเทียบกับผลทดสอบแรงเฉือนของมวลรวมคอนกรีตรีไซเคิล (RCA)

3.1 ขั้นตอนการดำเนินงาน

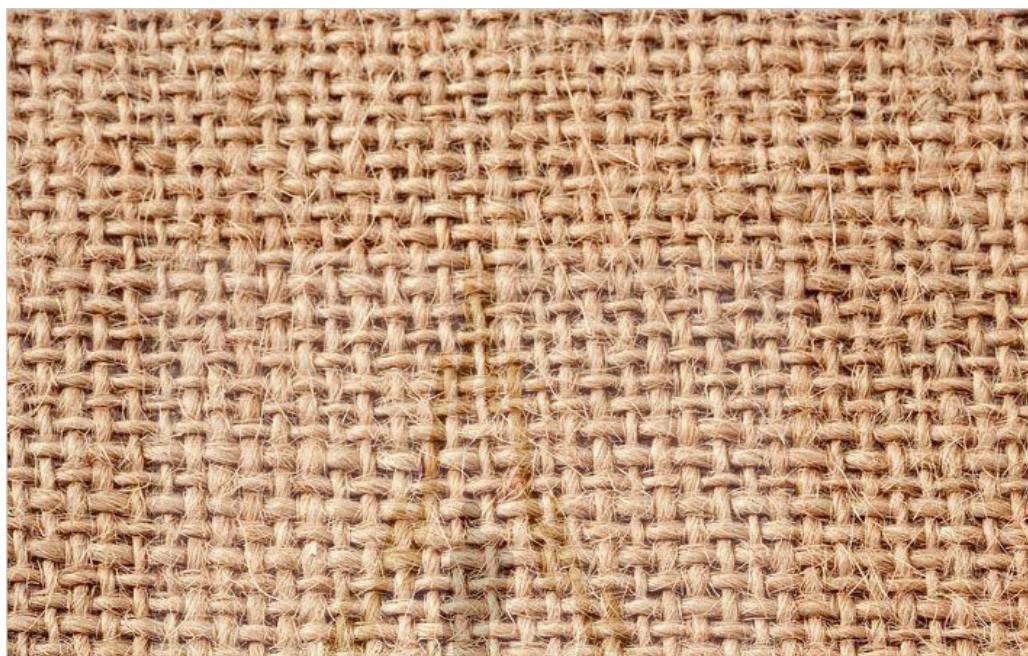
งานวิจัยนี้จะเริ่มด้วยการศึกษาคูสมบัติของการใช้งานวัสดุมวลรวมคอนกรีตรีไซเคิล (RCA) ในงานก่อสร้างชั้นทางที่มีการกระจายขนาดคล้อยระหว่างขอบเขตบนและขอบเขตล่างตามมาตรฐาน ทล.-ม. 201/2544 บดอัดด้วยพลังงานการบดอัดแบบสูงกว่ามาตรฐาน (Modified Proctor) ตามมาตรฐาน ASTM D1557 (2009) คุณสมบัติทางวิศวกรรมมวลรวมคอนกรีตรีไซเคิล (RCA) จะได้รับการตรวจวัดในห้องปฏิบัติการ ได้แก่ กำลังต้านทานแรงเฉือน (Shear strength) และซีพีอาร์ตัวแปรอิทธิพลที่ทำการศึกษา ได้แก่ คุณสมบัติของมวลรวมรีไซเคิล (RCA) การทดสอบแรงเฉือนตรงดำเนินการด้วยชุดทดสอบแรงเฉือนตรงขนาดใหญ่ (Large scale direct shear test) ตามมาตรฐาน ASTM D5321 (2008) ท้ายสุด งานวิจัยนี้จะศึกษาปฏิกิริยาร่วมเนื้อระหว่างจีโอกริดเส้นใยธรรมชาติและมวลรวมคอนกรีตรีไซเคิล (RCA) ในพจน์ของคุณสมบัติของจีโอกริดเส้นใยธรรมชาติ (ขนาดช่องเปิด) และคุณสมบัติของมวลรวมคอนกรีตรีไซเคิล (RCA) (การกระจายขนาดและกำลังต้านทานแรงเฉือน) ผลการทดสอบจะนำมาเปรียบเทียบกับผลทดสอบแรงเฉือนของมวลรวมคอนกรีตรีไซเคิล (RCA)

3.2 วิธีการดำเนินงานและเครื่องมือที่ใช้ในการศึกษา

3.2.1 ลักษณะการถักสารเส้นใย

จากวัตถุประสงค์เบื้องต้นการนำเส้นใยธรรมชาติมาใช้งานเพื่อเป็นวัสดุเสริมแรงให้กับดินนั้นเราจำเป็นต้องมีการถักสานเส้นใยเหล่านั้นเพื่อเพิ่มความสามารถในการรับแรงดึงให้มากขึ้น โดยลักษณะการรับแรงจะเป็นเหมือนโครงตาข่าย (Grid) โดยจะใช้เส้นใยปอ หรือ ป่านนำมาถักสานให้เป็นโครงตาข่ายในลักษณะเรียบที่มีขนาดช่องเปิดที่แตกต่างกัน (Opening Size) ของโครงตาข่าย

มี 2 ขนาดคั้งนี้ 7 และ 21 มิลลิเมตร ขนาดของชิ้นตัวอย่าง ประมาณ กว้าง 305 มิลลิเมตร ยาว 305 มิลลิเมตร การสานเส้นใยดังกล่าวเป็นลักษณะการสานด้วยมือซึ่งเป็นงานหัตถกรรม แสดงในรูปที่ 3.1



รูปที่ 3.1 การถักสารเส้นใยโปแบบเรียบ

3.2.2 วัสดุมวลรวมคอนกรีตรีไซเคิล (RCA)

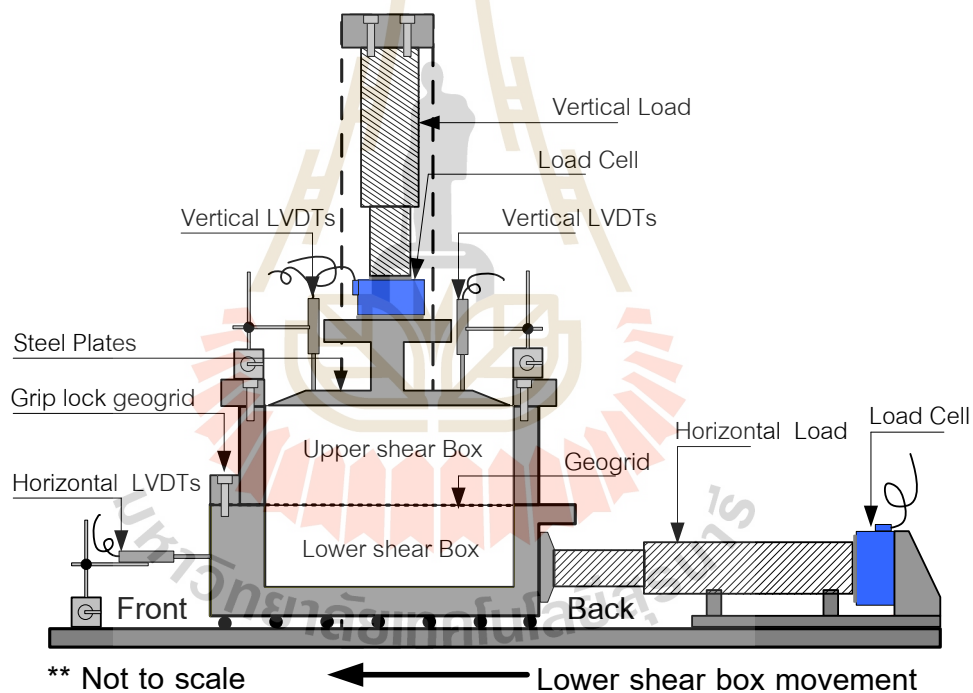
วัสดุมวลรวมคอนกรีตรีไซเคิล (RCA) ที่ใช้ในการศึกษาได้มาจากการทดสอบกำลังรับแรงอัดของก้อนคอนกรีตตัวอย่าง จะปรับปรุงให้มีการกระจายขนาดคละ 2 แบบ คือ 1) การกระจายขนาดคละตามขอบเขตบนของมาตรฐานของกรมทางหลวง และ 2) การกระจายขนาดคละตามขอบเขตล่างของมาตรฐานของกรมทางหลวง (ทล.-ม. 201/2544) เมื่อได้ตัวอย่างมวลรวมคอนกรีตรีไซเคิล (RCA) ที่มีการกระจายขนาดคละที่ต้องการแล้ว ทำการทดสอบหาค่าความถ่วงจำเพาะและค่าความดูดซึมน้ำตามมาตรฐาน ASTM C127 (2012) ทดสอบการบดอัดด้วยพลังงานแบบสูงกว่ามาตรฐาน (modified Proctor energy) ตามมาตรฐาน ASTM D1557 (2009)

3.2.3 การทดสอบกำลังรับแรงดึงของวัสดุเสริมแรง (Tensile Test)

การทดสอบกำลังรับแรงดึงของวัสดุเสริมแรงนั้นทำการทดสอบแบบ Single rib tensile Strength (ASTM D6637/D6637M) โดยตัวอย่างทดสอบ จะมีขนาดยาว 200 มม. มีระยะจับยึดเพื่อวัดระยะยึด (Gauge Length) 100 มม. การทดสอบจะดึงวัสดุเสริมแรง ด้วยอัตรา 10 มม.ต่อนาที ภายใต้การให้แรงจากกระบอกน้ำมัน 3 ตัน โดยอุณหภูมิขณะทำการทดสอบคงที่ที่ 22 องศา

3.2.4 การทดสอบโดยวิธีเฉือนตรง (Direct Shear Test)

การทดสอบแรงเฉือนตรงของจีโอกรีตเส้นใยธรรมชาติและมวลรวมคอนกรีตรีไซเคิล (RCA) ดำเนินการด้วยชุดทดสอบความเค้นเฉือนตรงขนาดใหญ่ (Large scale direct shear apparatus) ซึ่งประกอบด้วยกล่องแรงเฉือน (shear boxes) จำนวนสองกล่อง คือ กล่องด้านบน (upper shear box) และกล่องด้านล่าง (lower shear box) โดยแต่ละกล่องมีขนาด ความกว้าง x ความยาว x ความลึก เท่ากับ 305x305x204 มิลลิเมตร กล่องด้านบนถูกยึดไม่ให้เคลื่อนที่ขณะทดสอบ ขณะที่กล่องด้านล่างสามารถเคลื่อนที่ตามทิศทางการให้แรงเฉือน สำหรับการทดสอบปฏิกริยาร่วมเฉือนระหว่างมวลรวมคอนกรีตรีไซเคิล (RCA) และจีโอกรีตเส้นใยธรรมชาติ จีโอกรีตเส้นใยธรรมชาติถูกติดตั้งบริเวณรอยต่อระหว่างกล่องด้านบนและกล่องด้านล่างโดยยึดปลายด้านหนึ่งไว้กับกล่องด้านล่างดังรูปที่ 3.2



รูปที่ 3.2 แผนภาพแสดงชุดทดสอบปฏิกริยาร่วมเฉือนระหว่างมวลรวมคอนกรีตรีไซเคิล (RCA) และจีโอกรีตเส้นใยธรรมชาติ

ระหว่างการเตรียมตัวอย่างกล่องด้านบนและด้านล่างจะถูกยึดไว้ด้วยกันมวลรวมคอนกรีตรีไซเคิล (RCA) ถูกบดอัดภายในกล่องแรงเฉือนด้วยความชื้นเท่ากับความชื้นเหมาะสมเพื่อให้ได้หน่วยน้ำหนักแห้งเท่ากับหน่วยน้ำหนักแห้งสูงสุดภายใต้พลังงานบดอัดแบบสูงกว่ามาตรฐาน ตัวอย่างมวลรวมคอนกรีตรีไซเคิล (RCA) บดอัดถูกแช่ในน้ำโดยให้กล่องด้านล่างจมอยู่ใต้น้ำ

ทั้งหมดและระดับน้ำอยู่ที่กึ่งกลางของความลึกของกล่องด้านบนเป็นเวลา 12 ชั่วโมง ภายใต้ความเค้นตั้งฉาก เท่ากับ 50 100 และ 200 กิโลพาสกาล หลังจากนั้นประกอบกล่องแรงเฉือนเข้ากับอุปกรณ์ให้แรงและแรงแนวตั้ง ก่อนการทดสอบทำการปล่อยตัวอีกระหว่างกล่องด้านบนและกล่องด้านล่าง และปรับให้กล่องด้านบนและกล่องด้านล่างห่างกันประมาณ 2 มิลลิเมตร เพื่อลดแรงเสียดทานที่เกิดขึ้นระหว่างกล่องทั้งสอง แต่ละตัวอย่างถูกทดสอบภายใต้ความเค้นตั้งฉากคงที่สามค่า ได้แก่ 50 100 และ 200 กิโลพาสกาล ให้แรงเฉือนด้วยอัตราคงที่เท่ากับ 0.025 มิลลิเมตรต่อวินาทีตลอดการทดสอบ บันทึกค่าการเคลื่อนตัวในแนวตั้ง การเคลื่อนตัวในแนวราบ และค่าแรงเฉือน จนการเคลื่อนตัวในแนวราบมีค่าประมาณ 45 มิลลิเมตร จึงหยุดการทดสอบ อุณหภูมิขณะทดสอบถูกรักษาให้คงที่ประมาณ 20 ± 1 องศาเซลเซียส

3.3 การวิเคราะห์ข้อมูล

- 3.3.1 ทราบถึงพฤติกรรมร่วมเฉือนระหว่างจีโอกรีตเส้นใยธรรมชาติและมวลรวมชั้นพื้นทาง
- 3.3.2 เปรียบเทียบผลระหว่างการเสริมกับไม่เสริมจีโอกรีตเส้นใยธรรมชาติ
- 3.3.3 เสนอความสัมพันธ์ระหว่างกำลังร่วมเฉือนในพจน์ของขนาดช่องเปิดของจีโอกรีตเส้นใยธรรมชาติและการกระจายขนาดกำลังต้านทานแรงเฉือนของมวลรวมชั้นพื้นทาง

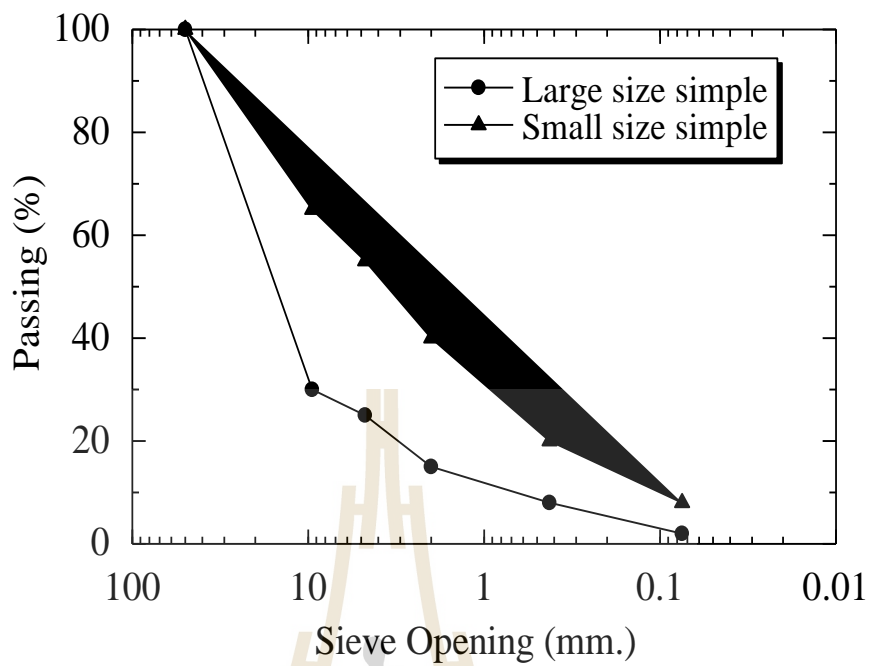
บทที่ 4

ผลการศึกษาและวิเคราะห์ผล

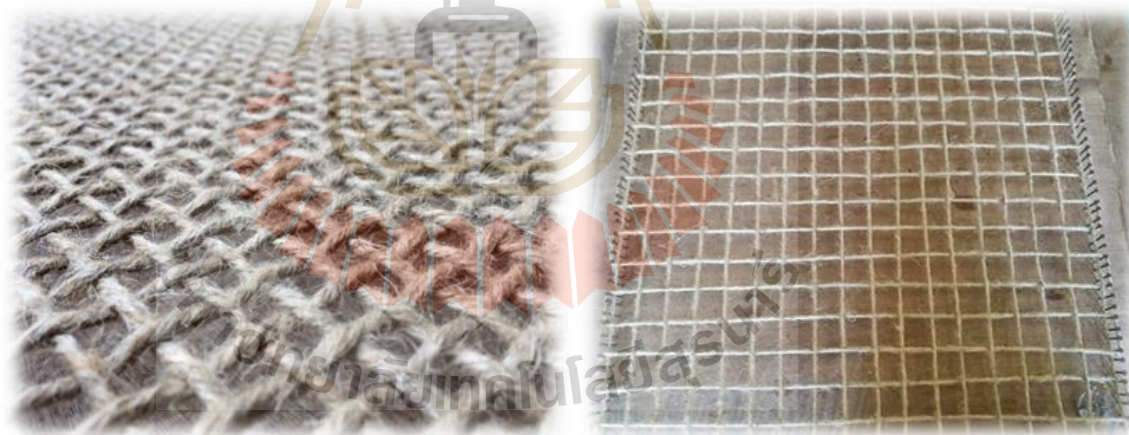
4.1 การทดสอบในห้องปฏิบัติการ

4.1.1 การเตรียมตัวอย่าง

มวลรวมคอนกรีตรีไซเคิล (Recycle Concrete Aggregate, RCA) ที่ใช้ในการศึกษาได้ จากเศษก้อนตัวอย่างทดสอบกำลังอัดของคอนกรีตนำมาผ่านเครื่องย่อยคอนกรีตแล้วนำมาคัดขนาด ด้วยการร่อนผ่านตะแกรง (Sieve) ตามมาตรฐาน ASTM D422-63 (2007) และ ปรับปรุงให้มีการกระจายขนาดคละ 2 แบบ คือ 1) การกระจายขนาดคละตามขอบเขตบนของมาตรฐานของกรมทางหลวงและ 2) การกระจาย ขนาดคละตามขอบเขตล่างของมาตรฐานของกรมทางหลวง (ทล.-ม. 201/2544) แสดงดังรูปที่ 4.1 เมื่อได้ตัวอย่างมวลรวมที่มีการกระจายขนาดคละที่ต้องการแล้วทำการทดสอบหาค่าความถ่วงจำเพาะ และค่าความดูดซึมน้ำตามมาตรฐาน ASTM C127 (2012) ทดสอบการบดอัดด้วยพลังงานแบบสูงกว่ามาตรฐาน (Modified Proctor energy) ตามมาตรฐาน ASTM D1557 (2009) เพื่อหาค่าหน่วยน้ำหนักแห้งสูงสุด ($\gamma_{d,max}$) และปริมาณน้ำเหมาะสม (OWC) จีโกรีตเส้นใยธรรมชาติที่นำมาใช้ในการวิจัยเป็นเส้นใยปอขนาดเส้นผ่านศูนย์กลาง 3 มิลลิเมตร โดยนำมาถักสานแบบเรียบ (Plain Pattern) ด้วยมือที่มีขนาดช่องเปิดที่แตกต่างกัน (Opening Size) ของโครงตาข่าย 2 ขนาด ดังนี้ 7 และ 21 มิลลิเมตร ขนาดของชิ้นตัวอย่างกว้าง 305 มิลลิเมตร ยาว 305 มิลลิเมตรแสดงดังรูปที่ 4.2 คุณสมบัติพื้นฐานและคุณสมบัติทางวิศวกรรมของจีโกรีตเส้นใยธรรมชาติแสดงดังตารางที่ 4.1 กำลังรับแรงดึงของจีโกรีตเส้นใยธรรมชาติแบบเส้นเดี่ยว (Single rip tensile strength) ทดสอบตามมาตรฐาน ASTM D6637/D6637M มีค่าเท่ากับ 43 เมกะปาสคาล การทดสอบแรงเฉือนตรงของวัสดุมวลรวมคอนกรีตรีไซเคิล และการทดสอบปฏิกริยาร่วมเฉือนระหว่างมวลรวมคอนกรีตรีไซเคิล และจีโกรีตเส้นใยธรรมชาติ ดำเนินการโดยชุดทดสอบแรงเฉือนตรงขนาดใหญ่ (Large scale direct shear apparatus) ตามมาตรฐาน ASTM D5321 (2008) การทดสอบทั้งหมดดำเนินการที่ห้องปฏิบัติการภายในมหาวิทยาลัยเทคโนโลยีสุรนารี



รูปที่ 4.1 การกระจายขนาดคละของตัวอย่างมวลรวมคอนกรีตรีไซเคิล (RCA)



7x7mm.

21x21mm.

รูปที่ 4.2 จีโกริดเส้นใยธรรมชาติ ขนาดช่องเปิด 7x7 มิลลิเมตร
และ 21x21 มิลลิเมตร ถักสานแบบเรียบ (Plain pattern)

ตารางที่ 4.1 คุณสมบัติพื้นฐานและคุณสมบัติทางวิศวกรรมของจีโอกริดเส้นใยธรรมชาติ

| Product | Type | Rib thickness (mm) | Mesh type | Aperture Size (mm) | Single rib tensile Strength (MPa) (ASTM D6637/D6637M) |
|-----------------------|-------|--------------------|--------------|--------------------|---|
| Natural Fiber Geogrid | Kenaf | 3 | Plain square | 7×7 | 43 |
| Natural Fiber Geogrid | Kenaf | 3 | Plain square | 21×21 | 43 |

ตารางที่ 4.2 คุณสมบัติพื้นฐานและคุณสมบัติทางวิศวกรรมของมวลรวมคอนกรีตรีไซเคิล

| Parameter | Recycled Concrete Aggregate (RCA) | |
|--|-----------------------------------|-------------|
| | Large sized | Small sized |
| Bulk specific gravity | 2.6 | 2.6 |
| Soil classification (USCS) | GP | GW |
| Average particle size (mm) | 17 | 3.7 |
| Optimum water content (%) | 10.60 | 10.60 |
| Maximum dry unit weight (kN/m ³) | 18.25 | 17.80 |
| California bearing ratio (%) | 122 | 116 |
| Internal friction angle (degree) | 70.54 | 63.67 |
| Cohesion (kPa) | 557.63 | 419.32 |

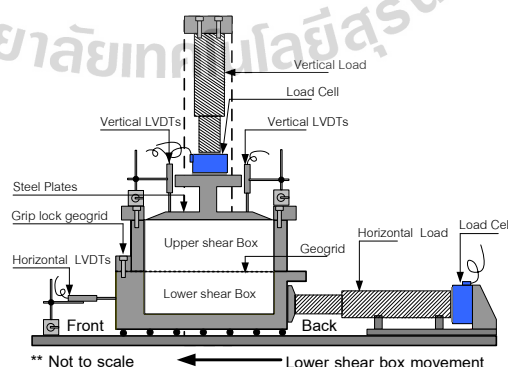
คุณสมบัติพื้นฐานของตัวอย่างมวลรวมคอนกรีตรีไซเคิล แสดงดัง ตารางที่ 4.2

สำหรับตัวอย่างที่มีการกระจายขนาดละเอียดใกล้เคียงกับขอบเขตล่างตามมาตรฐานของกรมทางหลวงมีขนาดเฉลี่ยเท่ากับ 17 มิลลิเมตร ถูกจำแนกเป็นกรวดที่คละกันไม่ดี (GP) ตามระบบเอกภาพ (USCS) มีค่าความถ่วงจำเพาะเท่ากับ 2.6 ตัวอย่างมวลรวมคอนกรีตรีไซเคิลถูกบดอัดภายใต้ พลังงานแบบสูงกว่ามาตรฐานมีค่าหน่วยน้ำหนักแห้งสูงสุดเท่ากับ 18.25 กิโลนิวตันต่อลูกบาศก์เมตรและค่าปริมาณความชื้นเหมาะสมเท่ากับร้อยละ 10.60 ค่าซีบีอาร์ที่ค่าการบดอัดสูงกว่ามาตรฐานเท่ากับร้อยละ 122 ซึ่งมีค่าสูงกว่าข้อกำหนดของกรมทางหลวงสำหรับวัสดุพื้นทาง (ไม่น้อยกว่าร้อยละ 80)

สำหรับตัวอย่างที่มีการกระจายขนาดละเอียดใกล้เคียงกับขอบเขตบนตามมาตรฐานของกรมทางหลวงมีขนาดเฉลี่ยเท่ากับ 3.7 มิลลิเมตร ถูกจำแนกเป็นกรวดที่ละเอียด (GW) ตามระบบเอกภาพ (USCS) มีค่าความถ่วงจำเพาะเท่ากับ 2.6 ตัวอย่างมวลรวมคอนกรีตรีไซเคิลบดอัดภายใต้พลังงานแบบสูงกว่ามาตรฐานมีค่าหน่วยน้ำหนักแห้งสูงสุดเท่ากับ 17.80 กิโลนิวตันต่อลูกบาศก์เมตร และค่าปริมาณความชื้นเหมาะสมเท่ากับร้อยละ 10.6 ค่าซีบีอาร์ที่ค่าการบดอัดสูงกว่ามาตรฐานเท่ากับ ร้อยละ 116 ซึ่งมีค่าสูงกว่าข้อกำหนดของกรมทางหลวงสำหรับพื้นที่ทาง (ไม่น้อยกว่าร้อยละ 80)

4.1.2 การทดสอบแรงเฉือนตรงของมวลรวมคอนกรีตรีไซเคิลปราศจากการเสริมจีโอกรีตเส้นใยธรรมชาติ และการทดสอบปฏิริยาร่วมเฉือนระหว่างมวลรวมคอนกรีตรีไซเคิลและจีโอกรีตเส้นใยธรรมชาติ

การทดสอบแรงเฉือนตรงของมวลรวมคอนกรีตรีไซเคิลปราศจากการเสริมจีโอกรีตเส้นใยธรรมชาติ และการทดสอบปฏิริยาร่วมเฉือนระหว่างมวลรวมคอนกรีตรีไซเคิลและจีโอกรีตเส้นใยธรรมชาติ ดำเนินการด้วยชุดทดสอบความเค้นเฉือนตรงขนาดใหญ่ (Large scale direct shear apparatus) ซึ่งประกอบด้วยกล่องแรงเฉือน (shear boxes) จำนวนสองกล่อง คือ กล่องด้านบน (upper shear box) และกล่องด้านล่าง (lower shear box) โดยแต่ละกล่องมีขนาดความกว้าง x ความยาว x ความลึกเท่ากับ 305 x 305 x 204 มิลลิเมตร กล่องด้านบนถูกยึดไม่ให้เคลื่อนที่ขณะทดสอบ ขณะที่กล่องด้านล่างสามารถเคลื่อนที่ตามทิศทางทำให้แรงเฉือน สำหรับการทดสอบปฏิริยาร่วมเฉือนระหว่างมวลรวมคอนกรีตรีไซเคิลและจีโอกรีตเส้นใยธรรมชาติ จีโอกรีตเส้นใยธรรมชาติถูกติดตั้งบริเวณรอยต่อระหว่างกล่องด้านบนและกล่องด้านล่าง โดยยึดปลายด้านหนึ่งไว้กับกล่องด้านล่างดังรูปที่ 4.3



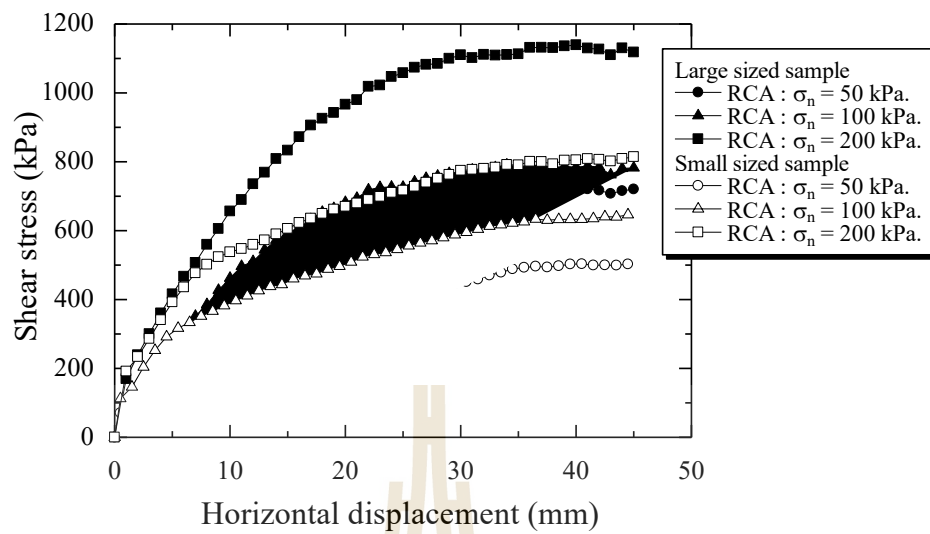
รูปที่ 4.3 แผนภาพแสดงชุดทดสอบปฏิริยาร่วมเฉือนระหว่างมวลรวมคอนกรีตรีไซเคิลและจีโอกรีตเส้นใยธรรมชาติ

ระหว่างการเตรียมตัวอย่างกล่องด้านบนและด้านล่างจะถูกยึดไว้ด้วยกัน มวลรวมคอนกรีตรีไซเคิล ถูกบดอัดภายในกล่องแรงเฉือนด้วยความชื้นเท่ากับความชื้นเหมาะสมเพื่อให้ได้หน่วยน้ำหนักแห้ง เท่ากับหน่วยน้ำหนักแห้งสูงสุด ภายใต้พลังงานบดอัดแบบสูงกว่ามาตรฐาน หลังจากนั้นประกอบ กล่องแรงเฉือนเข้ากับอุปกรณ์ให้แรงแนวราบและแรงแนวตั้ง ก่อนการทดสอบทำการปล่อยตัวยึด ระหว่างกล่องด้านบนและกล่องด้านล่าง และปรับให้กล่องด้านบนและกล่องด้านล่างห่างกัน ประมาณ 2 มิลลิเมตร เพื่อลดแรงเสียดทานที่เกิดขึ้นระหว่างกล่องทั้งสอง แต่ละตัวอย่างถูกทดสอบ ภายใต้ความเค้นตั้งฉากที่สามค่า ได้แก่ 50 100 และ 200 กิโลพาสคาล ให้แรงเฉือนด้วยอัตราคงที่ เท่ากับ 0.025 มิลลิเมตรต่อวินาที ตลอดการทดสอบบันทึกค่าการเคลื่อนตัวในแนวตั้งการเคลื่อนตัว ในแนวราบและค่าแรงเฉือน จนการเคลื่อนตัวในแนวราบมีค่าประมาณ 40 มิลลิเมตร จึงหยุดการ ทดสอบ อุณหภูมิขณะทดสอบถูกรักษาให้คงที่ประมาณ 20 ± 1 องศาเซลเซียส

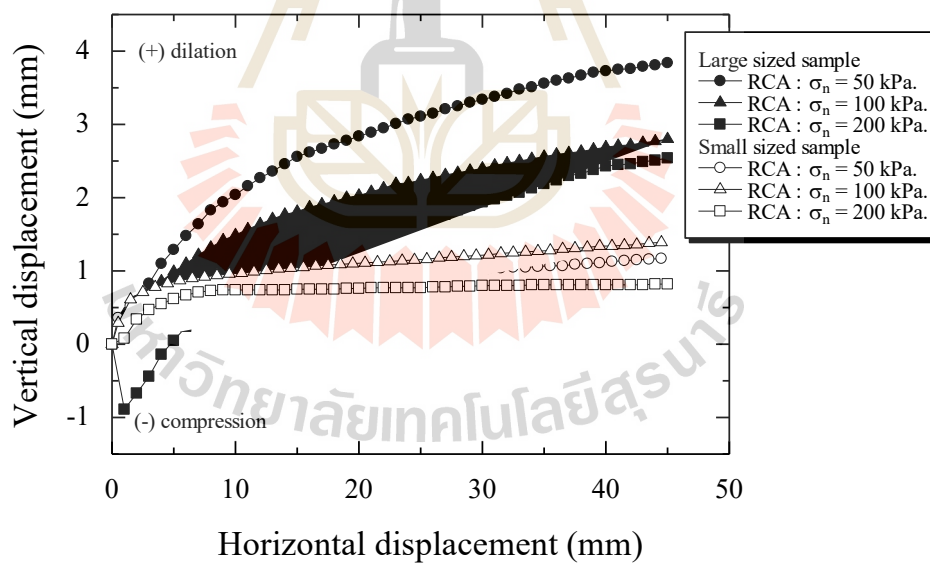
4.2 ผลการทดสอบ

4.2.1 กำลังต้านทานแรงเฉือนของมวลรวมคอนกรีตรีไซเคิล (RCA) ปราศจากการเสริม จีโกรีตเส้นใยธรรมชาติ

ผลทดสอบแรงเฉือนของมวลรวมคอนกรีตรีไซเคิลที่มีการกระจายขนาดละเอียดที่ ขอบเขตต่างตามมาตรฐานของกรมทางหลวงด้วยชุดทดสอบความเค้นเฉือนขนาดใหญ่ (Large scale direct shear apparatus) สามารถแสดงเป็นความสัมพันธ์ระหว่างความเค้นเฉือนและการ เคลื่อนตัวในแนวราบ แสดงในรูปที่ 4.4 และความสัมพันธ์ระหว่างการเคลื่อนตัวในแนวตั้งและการ เคลื่อนตัวในแนวราบ แสดงดังรูปที่ 4.5 จากรูปที่ 4.4 ความเค้นเฉือนมีค่าเพิ่มขึ้นตามการเคลื่อนตัว ในแนวราบจนถึงค่าความเค้นเฉือนสูงสุด (Peak shear strength, τ_{max}) เมื่อการเคลื่อนตัว ในแนวราบมีค่าประมาณ 30 มิลลิเมตร หลังจากนั้นค่าความเค้นเฉือนมีค่าลดลงเล็กน้อยและคงที่ จนกระทั่งสิ้นสุดการทดสอบที่การเคลื่อนตัวในแนวราบมีค่าประมาณ 45 มิลลิเมตร ผลทดสอบยังแสดง ให้เห็นว่าเมื่อความเค้นตั้งฉากมีค่าเพิ่มขึ้นค่าความเค้นเฉือนสูงสุดและค่าความแข็ง (Stiffness) มีค่า เพิ่มขึ้นเมื่อพิจารณาความสัมพันธ์ระหว่างการเคลื่อนตัวในแนวตั้งและการเคลื่อนตัวในแนวราบ ดัง รูปที่ 4.5 พบว่า ตัวอย่างมีพฤติกรรมการอัดตัว (Compression) เล็กน้อยในช่วงแรกหลังจาก นั้นตัวอย่างมีพฤติกรรมการขยายตัว (Dilation) โดยการขยายตัวมีค่าเพิ่มขึ้นตามการเคลื่อนตัว ในแนวราบเมื่อตัวอย่างถูกกระทำด้วยความเค้นตั้งฉากสูงขึ้นค่าการอัดตัวในช่วงแรกมีค่าเพิ่ม มากขึ้น และค่าการขยายตัวมีแนวโน้มลดลง พฤติกรรมดังกล่าวเป็นพฤติกรรมโดยทั่วไปของวัสดุ แน่น (Dense material)



รูปที่ 4.4 ความสัมพันธ์ระหว่างความเค้นเฉือนและการเคลื่อนตัวในแนวราบของมวลรวมคอนกรีตรีไซเคิลที่มีการกระจายขนาดคละที่ขอบเขตล่างและขอบเขตบนตามมาตรฐานของกรมทางหลวง



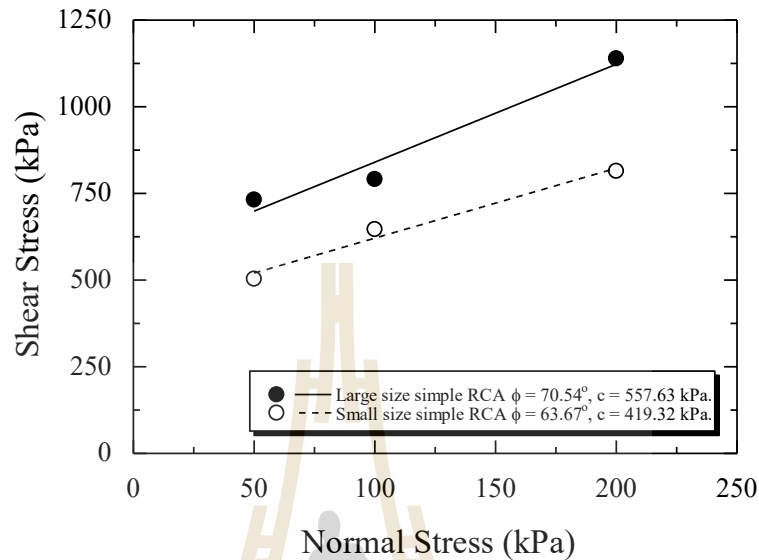
รูปที่ 4.5 ความสัมพันธ์ระหว่างการเคลื่อนตัวในแนวราบและการเคลื่อนตัวในแนวตั้งของมวลรวมคอนกรีตรีไซเคิล ที่มีการกระจายขนาดคละที่ขอบเขตล่างและขอบเขตบนตามมาตรฐานของกรมทางหลวง

ในรูปที่ 4.4 ยังได้แสดงความสัมพันธ์ระหว่างความเค้นเฉือน และการเคลื่อนตัวในแนวราบของมวลรวมคอนกรีตรีไซเคิลที่มีการกระจายขนาดคละที่ขอบเขตบน จากรูปความเค้น

เหนือนมีค่าเพิ่มขึ้นตามการเคลื่อนตัวในแนวราบจนถึงค่าความเค้นเหนือนสูงสุด (Peak shear strength, τ_{max}) เมื่อการเคลื่อนตัวในแนวราบมีค่าประมาณ 30 มิลลิเมตร หลังจากนั้นความเค้นเหนือนมีค่าลดลงเล็กน้อย และคงที่จนกระทั่งสิ้นสุดการทดสอบที่การเคลื่อนตัวในแนวราบมีค่าประมาณ 45 มิลลิเมตรเมื่อความเค้นตั้งฉากมีค่าเพิ่มขึ้นค่าความเค้นเหนือนสูงสุดและค่าความแข็ง (Stiffness) มีค่าเพิ่มขึ้น เช่นเดียวกับผลทดสอบของมวลรวมคอนกรีตรีไซเคิลที่มีการกระจายขนาดคละที่ขอบเขตต่างเมื่อพิจารณาความสัมพันธ์ระหว่างการเคลื่อนตัวในแนวตั้ง และการเคลื่อนตัวในแนวราบ (รูปที่ 4.5) พบว่ามีพฤติกรรมการณ์การอัดตัวในช่วงแรกหลังจากนั้นตัวอย่างมีพฤติกรรมการณ์การขยายตัวในทุกความเค้นตั้งฉากเช่นเดียวกับผลทดสอบของมวลรวมคอนกรีตรีไซเคิลที่มีการกระจายขนาดคละที่ขอบเขตต่างซึ่งพฤติกรรมการณ์การขยายตัวนี้เกิดจากการขัดกัน (Interlocking) ระหว่างอนุภาคที่อยู่ติดกันขณะทำการเหนือนตัวอย่างทำให้ตัวอย่างเกิดการขยายตัว โดยปกติพฤติกรรมการณ์การขยายตัวนี้สัมพันธ์กับพฤติกรรมการณ์การลดลงของความเค้นเหนือนเนื่องจากความเครียด (Strain-softening) ผลทดสอบในรูปที่ 4.4 และรูปที่ 4.5 แสดงให้เห็นว่าตัวอย่างมีพฤติกรรมการณ์การลดลงของความเค้นเหนือน เนื่องจากความเครียด (Strain-softening) เพียงเล็กน้อยเนื่องจากการจัดเรียงตัวของอนุภาคของมวลรวมที่เกิดจากการแตกหักขณะทำการเหนือนตัวอย่าง โดยที่มวลรวมที่เกิดจากการแตกหักที่มีขนาดเล็กกว่าจะเข้าไปแทนที่ช่องว่างในตัวอย่างทดสอบ ทำให้ยังมีความสามารถในการรับความเค้นเหนือนได้โดยเกิดการลดลงของความเค้นเหนือนเพียงเล็กน้อย (Arulrajah et al. 2014a; Arulrajah et al. 2014b; Arulrajah et al. 2014c)

ค่าความเค้นเหนือนสูงสุดของมวลรวมคอนกรีตรีไซเคิลที่มีการกระจายขนาดคละที่ขอบเขตบนและขอบเขตล่าง แสดงดังตารางที่ 4.3 เมื่อเปรียบเทียบค่าความเค้นเหนือนสูงสุดของตัวอย่างทั้งสองการกระจายขนาดคละ พบว่า ภายใต้ความเค้นตั้งฉากเท่ากันค่าความเค้นเหนือนสูงสุดของมวลรวมคอนกรีตรีไซเคิลที่มีการกระจายขนาดคละที่ขอบเขตล่างมีค่าสูงกว่ามวลรวมคอนกรีตรีไซเคิลที่มีการกระจายขนาดคละที่ขอบเขตบนในทุกความเค้นตั้งฉาก เนื่องจากมวลรวมคอนกรีตรีไซเคิลที่มีการกระจายขนาดคละที่ขอบเขตล่างมีขนาดอนุภาคเฉลี่ย (D_{50}) ที่ใหญ่กว่าซึ่งสอดคล้องกับงานวิจัยของ Kim and Ha (2014) เมื่อพิจารณาพารามิเตอร์กำลังต้านทานความเค้นเหนือน (Shear strength parameter) ซึ่งประกอบด้วยค่าการยึดเกาะ (Cohesion, c) และมุมเสียดทานภายใน (Internal friction angle, ϕ) ตามเงื่อนไขการวิบัติของมอร์-คูลอมบ์ (Mohr-Coulomb failure criterion) ที่ค่าความเค้นเหนือนสูงสุด แสดงดังรูปที่ 4.6 พบว่า ค่ามุมเสียดทานภายในที่ค่าความเค้นเหนือนสูงสุด (Peak internal friction angle) และค่าการยึดเกาะของมวลรวมทั้งสองการกระจายขนาดคละมีค่าใกล้เคียงกันซึ่งอาจกล่าวได้ว่าขนาดคละที่อยู่ภายในขอบเขตบน และขอบเขตล่างตามมาตรฐาน

กรรมทางหลวงไม่มีผลต่อมุมเสียดทานภายในและค่าการยึดเกาะของมวลรวมคอนกรีตรีไซเคิล เนื่องจากค่าความหนาแน่นแห้งสูงสุดที่ใช้บังคับตัวอย่างทั้งสองขนาดมีค่าใกล้เคียงกัน



รูปที่ 4.6 พารามิเตอร์กำลังต้านทานความเค้นเฉือนของมวลรวมคอนกรีตรีไซเคิลที่มีการกระจายขนาดละเอียดขอบเขตบนและล่างตามมาตรฐานกรรมทางหลวง

ตารางที่ 4.3 กำลังต้านทานแรงเฉือนและกำลังร่วมเฉือนของมวลรวมคอนกรีตรีไซเคิลเสริมจีโอกรี๊ดและปราศจากการเสริมจีโอกรี๊ด

| RCA sample | Aperture size | Normal stress (kPa) | Shear strength, τ (kPa) or Interface shear strength, $\tau_{\text{interface}}$ (kPa) |
|-------------------------------------|---------------|---------------------|---|
| Lower bound (Large sized simple) | - | 50 | 731.76 |
| | | 100 | 790.90 |
| | | 200 | 1,139.16 |
| | 7x7 mm | 50 | 679.51 |
| | | 100 | 790.40 |
| | | 200 | 935.44 |
| | 21x21 mm | 50 | 702.23 |
| | | 100 | 767.06 |
| | | 200 | 1,045.51 |

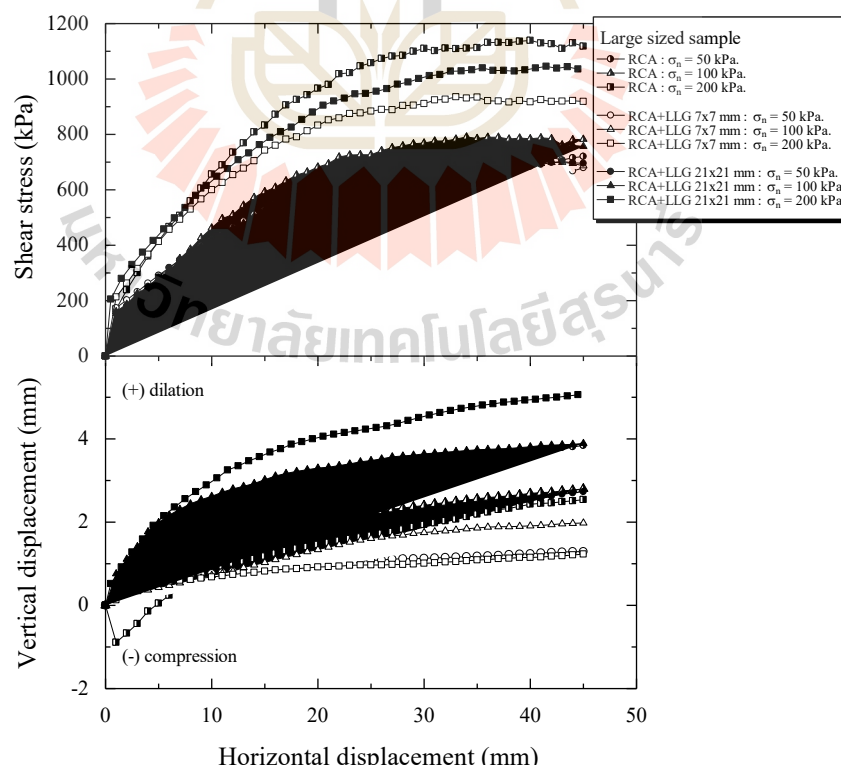
ตารางที่ 4.3 (ต่อ)

| RCA sample | Aperture size | Normal stress (kPa) | Shear strength, τ (kPa) or Interface shear strength, $\tau_{\text{interface}}$ (kPa) |
|-------------------------------------|---------------|---------------------|---|
| Upper bound (Small sized simple) | - | 50 | 503.36 |
| | | 100 | 646.37 |
| | | 200 | 814.44 |
| | 7x7 mm | 50 | 398.32 |
| | | 100 | 525.11 |
| | | 200 | 669.21 |
| | 21x21 mm | 50 | 452.52 |
| | | 100 | 569.77 |
| | | 200 | 727.15 |

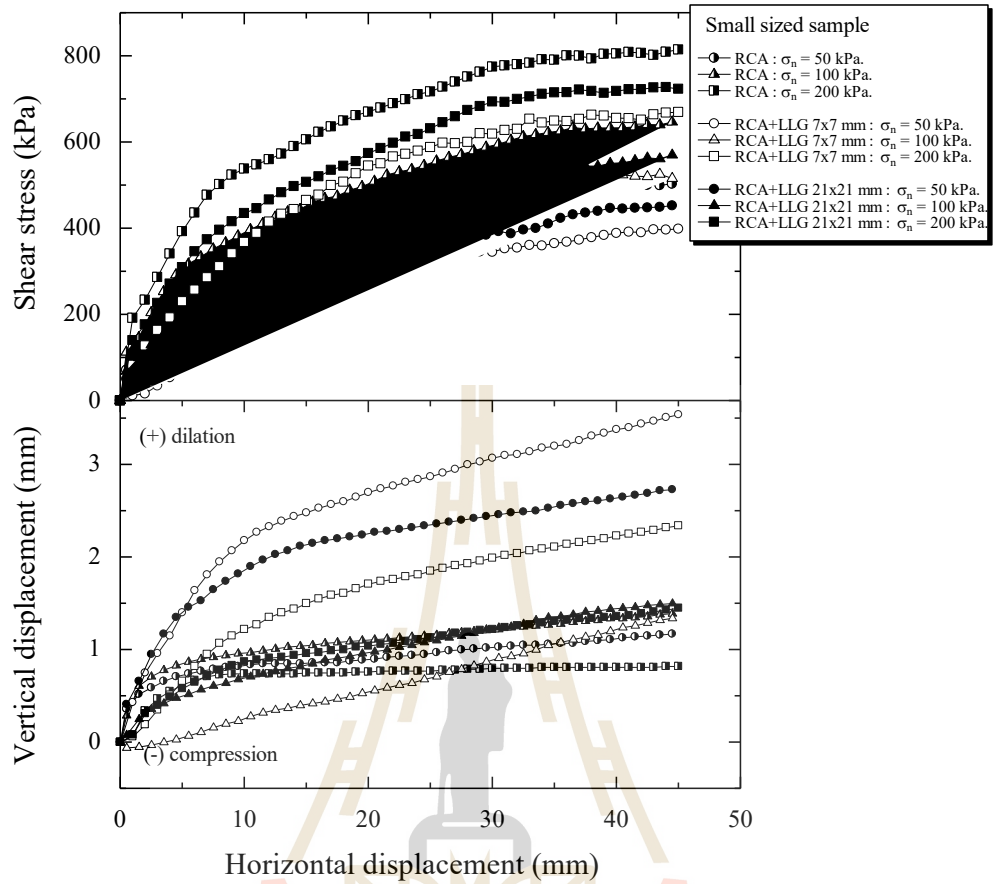
4.2.2 ปฏิบัติการร่วมเนื้อระหว่างมวลรวมคอนกรีตรีไซเคิล (RCA) และจีโอกรีตเส้นใยธรรมชาติ

ผลทดสอบปฏิบัติการร่วมเนื้อระหว่างมวลรวมคอนกรีตรีไซเคิลและจีโอกรีตเส้นใยธรรมชาติเปรียบเทียบกับผลทดสอบแรงเฉือนตรงของมวลรวมคอนกรีตรีไซเคิลปราศจากการเสริมจีโอกรีตเส้นใยธรรมชาติของตัวอย่างมวลรวมคอนกรีตรีไซเคิลที่มีการกระจายขนาดคละที่ขอบเขตล่างและขอบเขตบนตามมาตรฐานกรมทางหลวง แสดงดังรูปที่ 4.7 และ 4.8 ตามลำดับ เมื่อพิจารณาการเสริมจีโอกรีตขนาดเดียวกัน พบว่า ในทุกความเค้นตั้งฉากและการกระจายขนาดคละความเค้นเนื้อมามีค่าเพิ่มขึ้นตามการเคลื่อนตัวในแนวราบจนถึงค่าความเค้นเนื้อสูงสุด เมื่อการเคลื่อนตัวในแนวราบมีค่าประมาณ 30 มิลลิเมตร หลังจากนั้นความเค้นเนื้อมีค่าลดลงเล็กน้อย และคงที่จนกระทั่งสิ้นสุดการทดสอบที่การเคลื่อนตัวในแนวราบมีค่าประมาณ 45 มิลลิเมตร และเมื่อความเค้นตั้งฉากมีค่าเพิ่มขึ้นค่าความเค้นเนื้อสูงสุด และค่าความแข็งมีค่าเพิ่มขึ้นซึ่งได้ผลเช่นเดียวกับการทดสอบแรงเฉือนตรงของมวลรวมคอนกรีตรีไซเคิลปราศจากการเสริมจีโอกรีตเส้นใยธรรมชาติ นอกจากนี้ ความสัมพันธ์ระหว่างการเคลื่อนตัวในแนวตั้งและการเคลื่อนตัวในแนวราบแสดงให้เห็นว่าในทุกการทดสอบมวลรวมคอนกรีตรีไซเคิลเสริมจีโอกรีตเส้นใยธรรมชาติ มีพฤติกรรมการอัดตัวเล็กน้อยในช่วงแรก หลังจากนั้นมวลรวมคอนกรีตรีไซเคิลเสริมจีโอกรีตเส้นใยธรรมชาติมีพฤติกรรมการขยายตัวซึ่งเหมือนกับผลทดสอบมวลรวมคอนกรีตรีไซเคิล

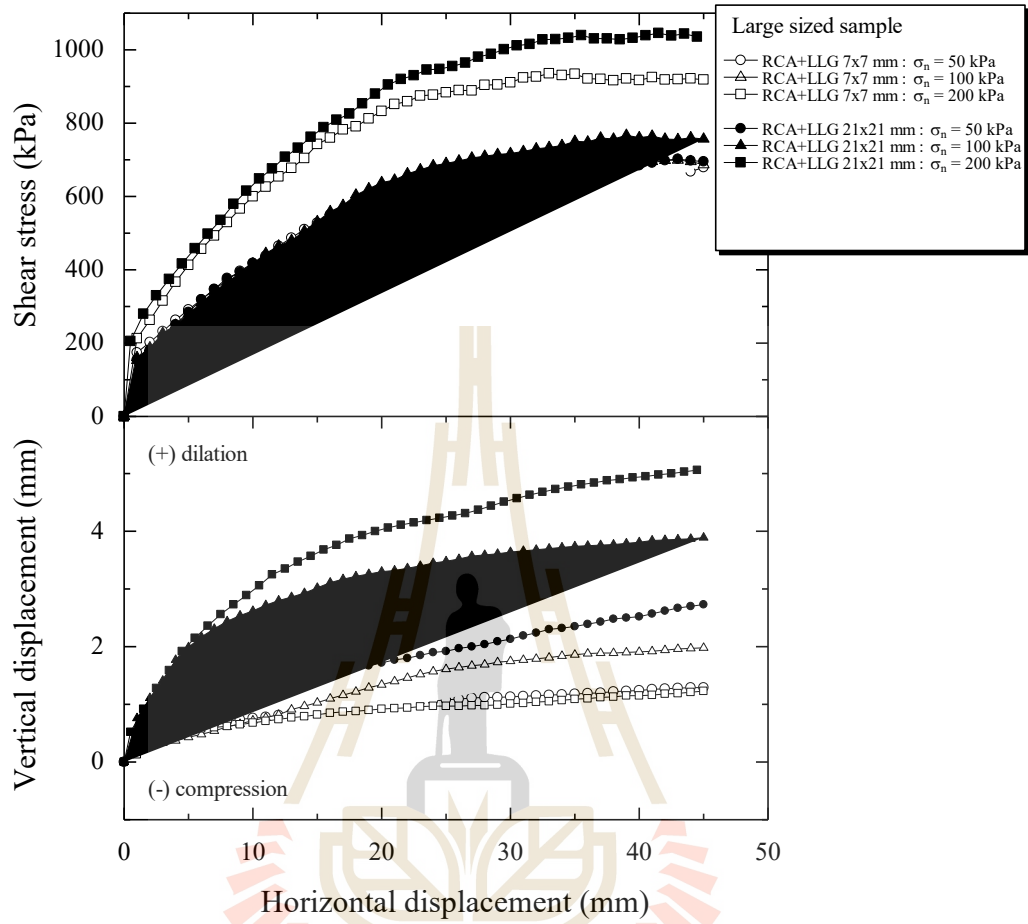
ปราศจากการเสริมจีโอกริดเส้นใยธรรมชาติ ซึ่งพฤติกรรมการอัดตัวและขยายตัวในลักษณะนี้สามารถพบได้ทั่วไปในการทดสอบปฏิริยาร่วมเนื้อระหว่างวัสดุมวลรวมหยาบและจีโอกริด (Arulrajah et al. 2013, Arulrajah et al. 2015 และ Suddepong et al. 2018) ซึ่งมีสาเหตุจากการขัดกันระหว่างจีโอกริดและอนุภาคของมวลรวมที่มีขนาดเล็กกว่าช่องเปิดของจีโอกริด จากตารางที่ 4.3 เมื่อพิจารณาที่ความเค้นตั้งฉากค่าเดียวกัน พบว่า ความเค้นเฉือนสูงสุด (Peak shear stress) ของมวลรวมคอนกรีตรีไซเคิลปราศจากการเสริมจีโอกริดเส้นใยธรรมชาติมีค่าสูงกว่าความเค้นเฉือนของมวลรวมคอนกรีตรีไซเคิลเสริมจีโอกริดเส้นใยธรรมชาติซึ่งสอดคล้องกับงานวิจัยที่ได้รายงานโดยนักวิจัยจำนวนมาก (Liu et al. 2009a; Liu et al. 2009b; Abu-Farsakh et al. 2007; Ling et al. 2008; McCartney et al. 2009; Lee and Manjunath 2000) พบว่า พารามิเตอร์กำลังร่วมเฉือน (Interface shear strength parameter) ของดินและวัสดุมวลรวมซึ่งถูกเสริมด้วยจีโอกริดที่ทดสอบโดยชุดทดสอบแรงเฉือนตรงจะมีค่าต่ำกว่าวัสดุอื่นๆที่ปราศจากการเสริมจีโอกริด เนื่องจากผลของการลดลงของการขัดกัน (Interlocking) ระหว่างอนุภาควัสดุมวลรวมจากการเสริมจีโอกริด บริเวณรอยต่อของกล่องความเค้นเฉือนด้านบนและด้านล่าง ซึ่งเป็นบริเวณที่ถูกเหนี่ยวนำให้เกิดระนาบเฉือน (Shear plane) อีกทั้งผิวที่มีความเรียบของจีโอกริดยังส่งผลต่อการลดลงของกำลังร่วมเฉือนด้วยเช่นกัน



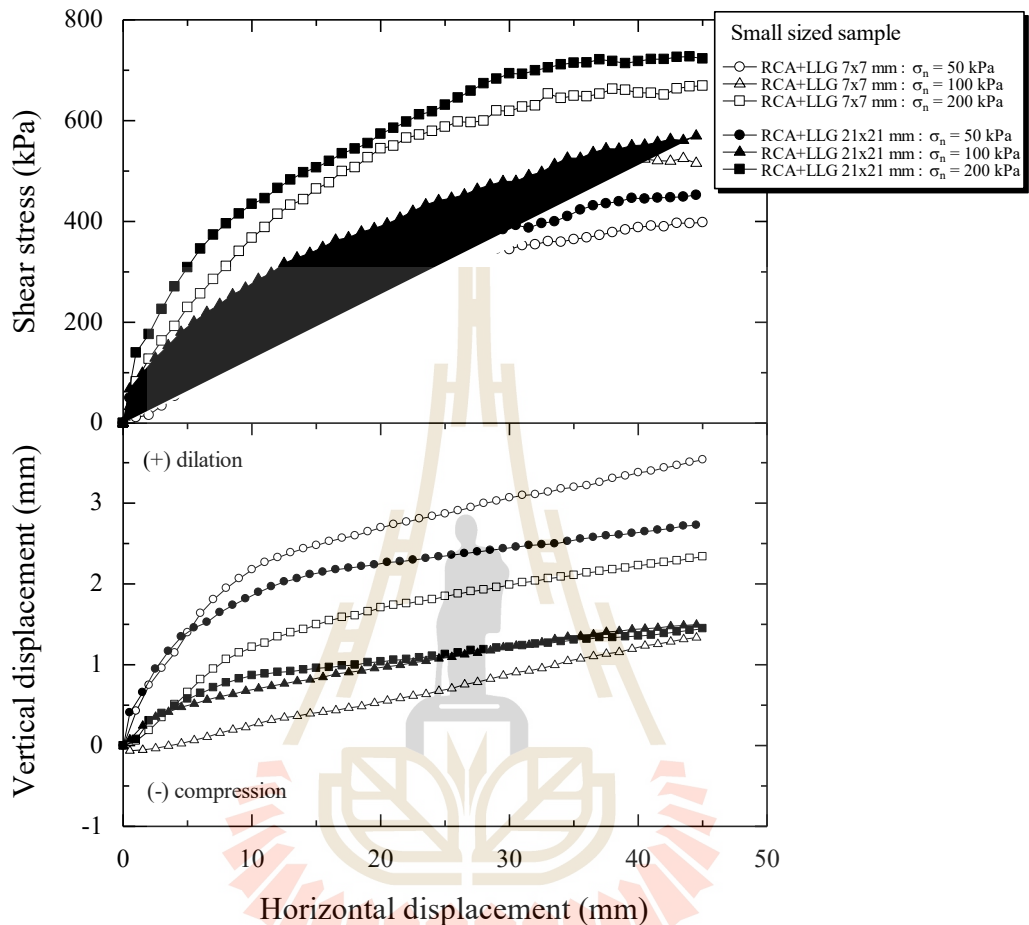
รูปที่ 4.7 ผลทดสอบแรงเฉือน และปฏิริยาร่วมเนื้อระหว่างมวลรวมคอนกรีตรีไซเคิลและจีโอกริดเส้นใยธรรมชาติของตัวอย่างมวลรวมคอนกรีตรีไซเคิลที่มีการกระจายขนาดคละที่ขอบเขตต่าง



รูปที่ 4.8 ผลทดสอบแรงเฉือน และปฏิกริยาร่วมเฉือนระหว่างมวลรวมคอนกรีตรีไซเคิลและจีโอกรีดเส้นใยธรรมชาติของตัวอย่างมวลรวมคอนกรีตรีไซเคิลที่มีการกระจายขนาดคละที่ขอบเขตบน



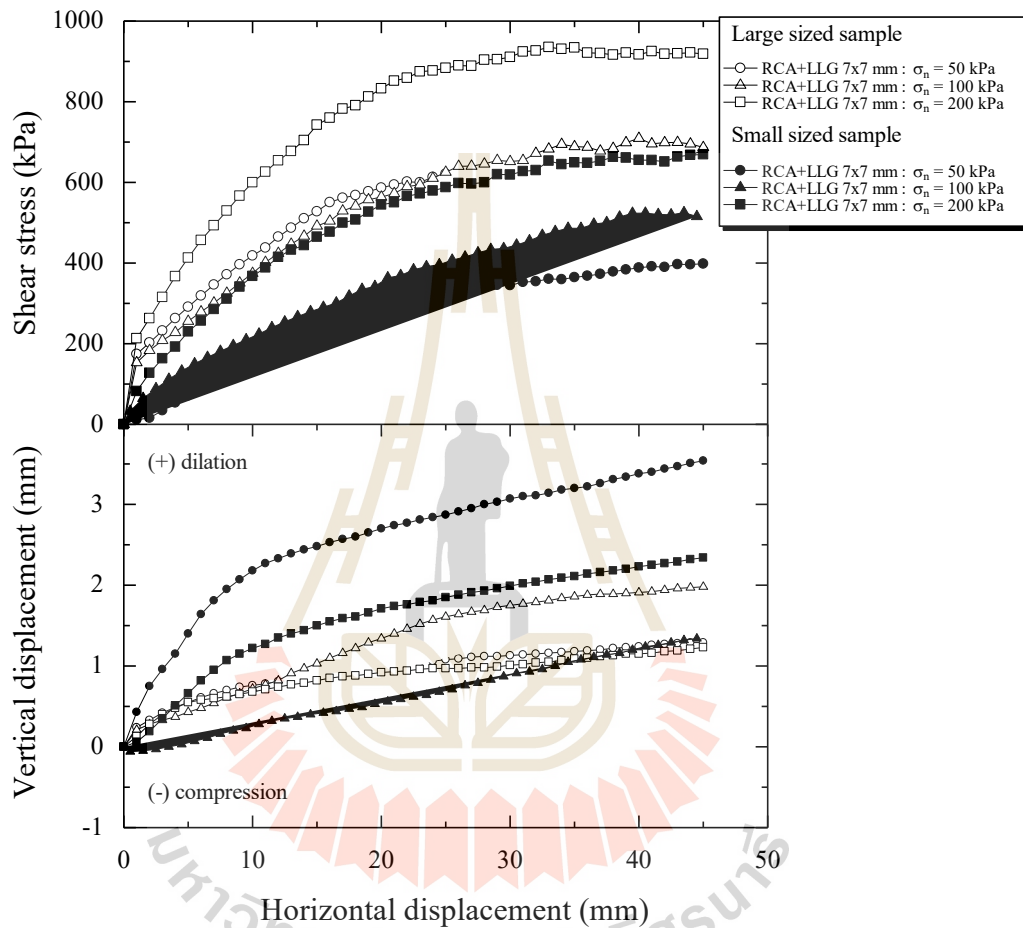
รูปที่ 4.9 อิทธิพลของขนาดช่องเปิดของจีโอกรีดต่อพฤติกรรมร่วมเฉือนของมวลรวมคอนกรีตรีไซเคิลที่มีขนาดคละตามขอบเขตล่างของมาตรฐานกรมทางหลวงเสริมจีโอกรีดเส้นใยธรรมชาติ



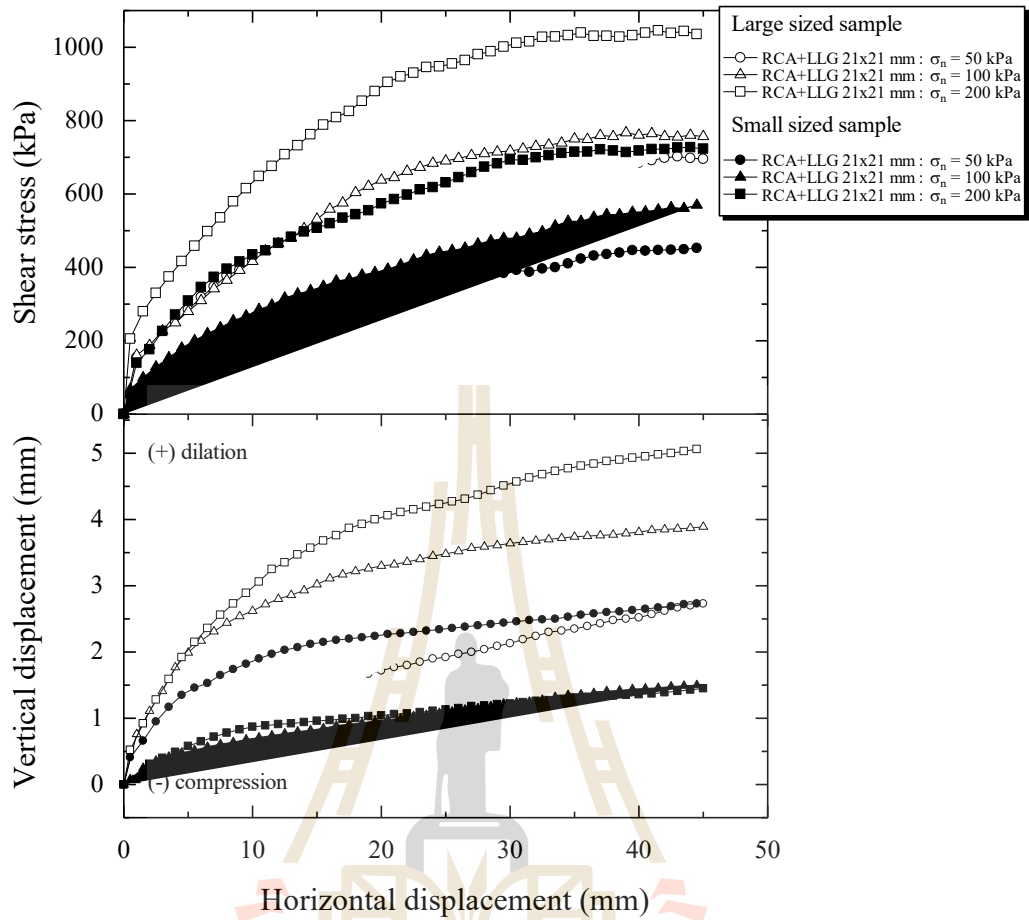
รูปที่ 4.10 อิทธิพลของขนาดช่องเปิดของจีโอกริดต่อพฤติกรรมร่วมเฉือนของมวลรวมคอนกรีตตรีไซเคิลที่มีขนาดคละตามขอบเขตบนของมาตรฐานกรมทางหลวงเสริมจีโอกริดเส้นใยธรรมชาติ

รูปที่ 4.9 และ 4.10 แสดงอิทธิพลของขนาดช่องเปิดของจีโอกริดเส้นใยธรรมชาติต่อพฤติกรรมร่วมเฉือนของมวลรวมคอนกรีตตรีไซเคิล จะเห็นว่า มวลรวมชนิดเดียวกัน เมื่อขนาดช่องเปิดมีค่าเพิ่มขึ้นกำลังร่วมเฉือนมีค่าเพิ่มขึ้น ซึ่งมีสาเหตุมาจากการใช้จีโอกริดที่มีช่องเปิดขนาดใหญ่มากขึ้นนั้นทำให้ปริมาณอนุภาคที่เล็กกว่าขนาดช่องเปิดของจีโอกริดมีจำนวนเพิ่มมากขึ้นดังนั้นจึงมีโอกาสเกิดการขัดกันระหว่างอนุภาคของมวลรวมที่อยู่ข้างเคียงและอนุภาคมวลรวมกับจีโอกริดบริเวณระนาบเฉือนเพิ่มมากขึ้น โดยที่อนุภาคที่มีขนาดเล็กกว่าช่องเปิดของจีโอกริดนี้เมื่อถูกต้านทานการเคลื่อนที่โดยจีโอกริดอนุภาคของมวลรวมที่อยู่ข้างเคียงเคลื่อนที่ไป

รอบกันโดยไม่เกิดการไถลไปบนจีโอกริด ซึ่งสอดคล้องกับงานวิจัยของ Suddepong et al. (2018) ที่ได้อธิบายว่าการเสริมจีโอกริดที่มีขนาดช่องเปิดใหญ่ขึ้นสามารถให้กำลังร่วมเพิ่มขึ้น เนื่องจากการขัดกันระหว่างอนุภาคของมวลรวมที่มีขนาดเล็กกว่าช่องเปิดของจีโอกริดมีปริมาณเพิ่มขึ้น



รูปที่ 4.11 อิทธิพลของขนาดของมวลรวมต่อพฤติกรรมร่วมเฉือนของมวลรวม
คอนกรีตรีไซเคิลเสริมจีโอกริดเส้นใยธรรมชาติที่มีขนาดช่องเปิด 7 มิลลิเมตร



รูปที่ 4.12 อิทธิพลของขนาดของมวลรวมต่อพฤติกรรมร่วมเฉือนของมวลรวม

คอนกรีตรีไซเคิลเสริมจีโอกรีดเส้นใยธรรมชาติที่มีขนาดช่องเปิด 21 มิลลิเมตร

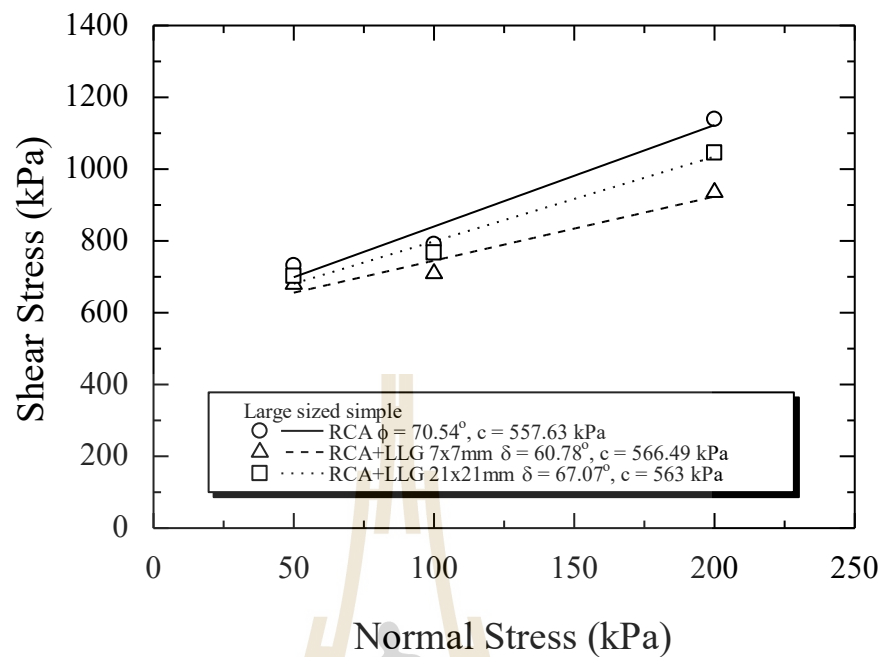
รูปที่ 4.11 และ 4.12 แสดงอิทธิพลของขนาดของมวลรวมต่อพฤติกรรมร่วมเฉือน จะเห็นว่ากำลังร่วมเฉือนของมวลรวมเสริมจีโอกรีดชนิดเดียวกันแต่มวลรวมมีการกระจายขนาดแตกต่างกันพบว่า ในทุกความเค้นตั้งฉากมวลรวมคอนกรีตรีไซเคิลที่มีการกระจายขนาดละเอียดที่ขอบเขตล่าง จะมีกำลังร่วมเฉือนสูงกว่า เนื่องจากมีขนาดเฉลี่ยที่ใหญ่มากกว่า ซึ่งให้ผลลัพธ์เช่นเดียวกันกับผลทดสอบมวลรวมคอนกรีตรีไซเคิลเสริมจีโอกรีดเส้นใยธรรมชาติและปราศจากการเสริมจีโอกรีดเส้นใยธรรมชาติพารามิเตอร์กำลังร่วมเฉือน (Interface shear strength parameter) ระหว่างมวลรวมคอนกรีต รีไซเคิล เสริมจีโอกรีดเส้นใยธรรมชาติตามเงื่อนไขการวิบัติของมอร์-คูลอมบ์ (Mohr-Coulomb failure criterion) แสดงดังรูปที่ 4.13 และ รูปที่ 4.14 จากรูป พบว่า มวลรวมคอนกรีตรีไซเคิลที่มีการกระจายขนาดละเอียดเหมือนกันถูกเสริมด้วยจีโอกรีดเส้นใยธรรมชาติที่มีขนาดช่องเปิดแตกต่างกันมีค่ามุมเสียดทานใกล้เคียงกันและมีค่าแรงยึดเกาะ

(Cohesion) ใกล้เคียงกันเช่นกัน อย่างไรก็ตามตัวอย่างมวลรวมคอนกรีตไร้เซลที่มีการกระจายขนาดละเอียดตามขอบเขตล่างมีค่ามุมเสียดทานสูงกว่ามวลรวมคอนกรีตไร้เซลที่มีการกระจายขนาดละเอียดตามขอบเขตบนตามมาตรฐานกรมทางหลวง

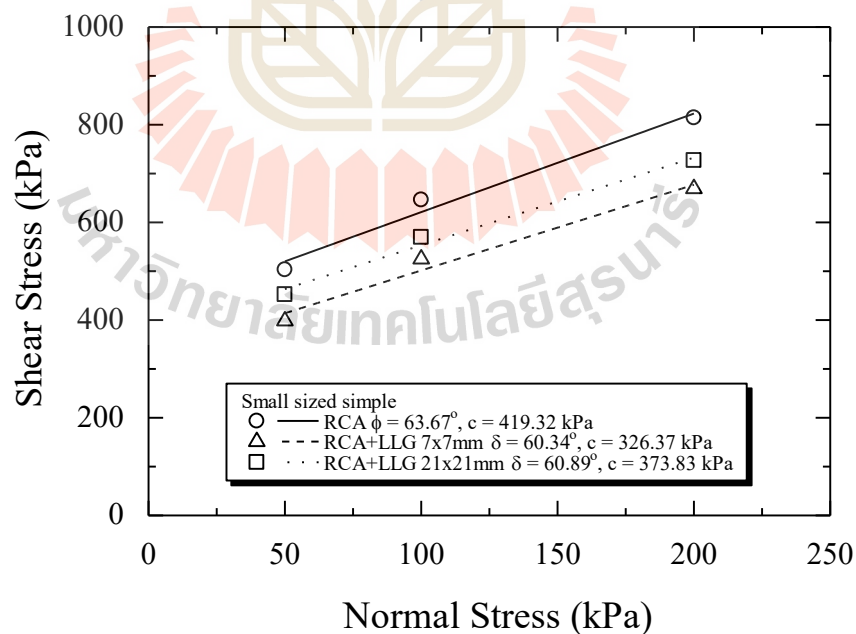
มวลรวมคอนกรีตไร้เซลเป็นวัสดุที่มีกำลังรับแรงดึง (Tensile strength) ต่ำซึ่งสามารถวิบัติด้วยแรงดึงเนื่องจากน้ำหนักบรรทุกจากการจราจร (Traffic load) เมื่อมวลรวมนี้ถูกเสริมด้วยจีโอกริตลักษณะการวิบัติ (Mode of failure) อาจเป็นได้ทั้งแบบแตกหักจากแรงดึง (Tensile rupture failure) หรือ การวิบัติแบบลื่นไถล (Slip failure) ทั้งนี้การวิบัติแบบแตกหักเกิดขึ้นเมื่อแรงดึง (Tensile stress) ที่เกิดกับจีโอกริตมีค่าเกินกว่ากำลังรับแรงดึงของจีโอกริต จากรูปที่ 4.15 แสดงลักษณะของจีโอกริตเส้นใยธรรมชาติหลังการทดสอบปฏิกิริยาร่วมเหนียว พบว่า จีโอกริตเส้นใยธรรมชาติยังคงมีสภาพเดิมไม่เกิดการเสียรูป ดังนั้น ลักษณะการวิบัติจึงเป็นแบบลื่นไถลซึ่งเป็นการเคลื่อนตัวของมวลรวมคอนกรีตไร้เซลบนจีโอกริตเส้นใยธรรมชาติซึ่งถูกควบคุมโดยกำลังร่วมเหนียว (Interface shear strength) ระหว่างมวลรวมและจีโอกริตกำลังร่วมเหนียวระหว่างจีโอกริตเส้นใยธรรมชาติ และมวลรวมคอนกรีตไร้เซล สามารถอธิบายในรูปของสัมประสิทธิ์กำลังร่วมเหนียว (Interface shear strength coefficient, α) ซึ่งสามารถหาได้จากสมการที่ (4.1)

$$\alpha = \tau_{\text{interface}} / \tau_{\text{RCA}} \quad \dots\dots\dots(4.1)$$

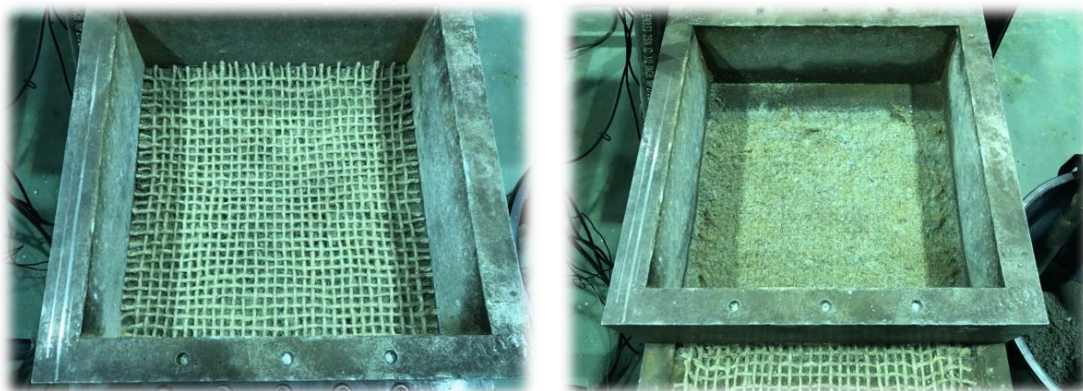
เมื่อ $\tau_{\text{interface}}$ คือ กำลังร่วมเหนียวระหว่างมวลรวมคอนกรีตไร้เซลและจีโอกริตเส้นใยธรรมชาติ และ τ_{RCA} คือ กำลังต้านทานแรงเหนียวของมวลรวมคอนกรีตไร้เซลปราศจากการเสริมจีโอกริต จากรูปที่ 4.16 แสดงให้เห็นว่า เมื่อมวลรวมคอนกรีตไร้เซลมีการกระจายขนาดละเอียดเหมือนกัน ค่าสัมประสิทธิ์กำลังร่วมเหนียวของจีโอกริตที่มีขนาดช่องเปิดเท่ากันแปรผันในช่วงแคบๆ และจากการวิเคราะห์ความถดถอยเชิงเส้น (Linear regression analysis) สามารถพิจารณาให้เป็นค่าคงที่ได้ผลลัพธ์ดังแสดงในตารางที่ 4.4



รูปที่ 4.13 พารามิเตอร์กำลังต้านทานความเค้นเฉือนของมวลรวมคอนกรีตรีไซเคิลเสริมจีโอกรีดเส้นใยธรรมชาติที่มีการกระจายขนาดคละที่ขอบเขตล่างตามมาตรฐานกรมทางหลวง



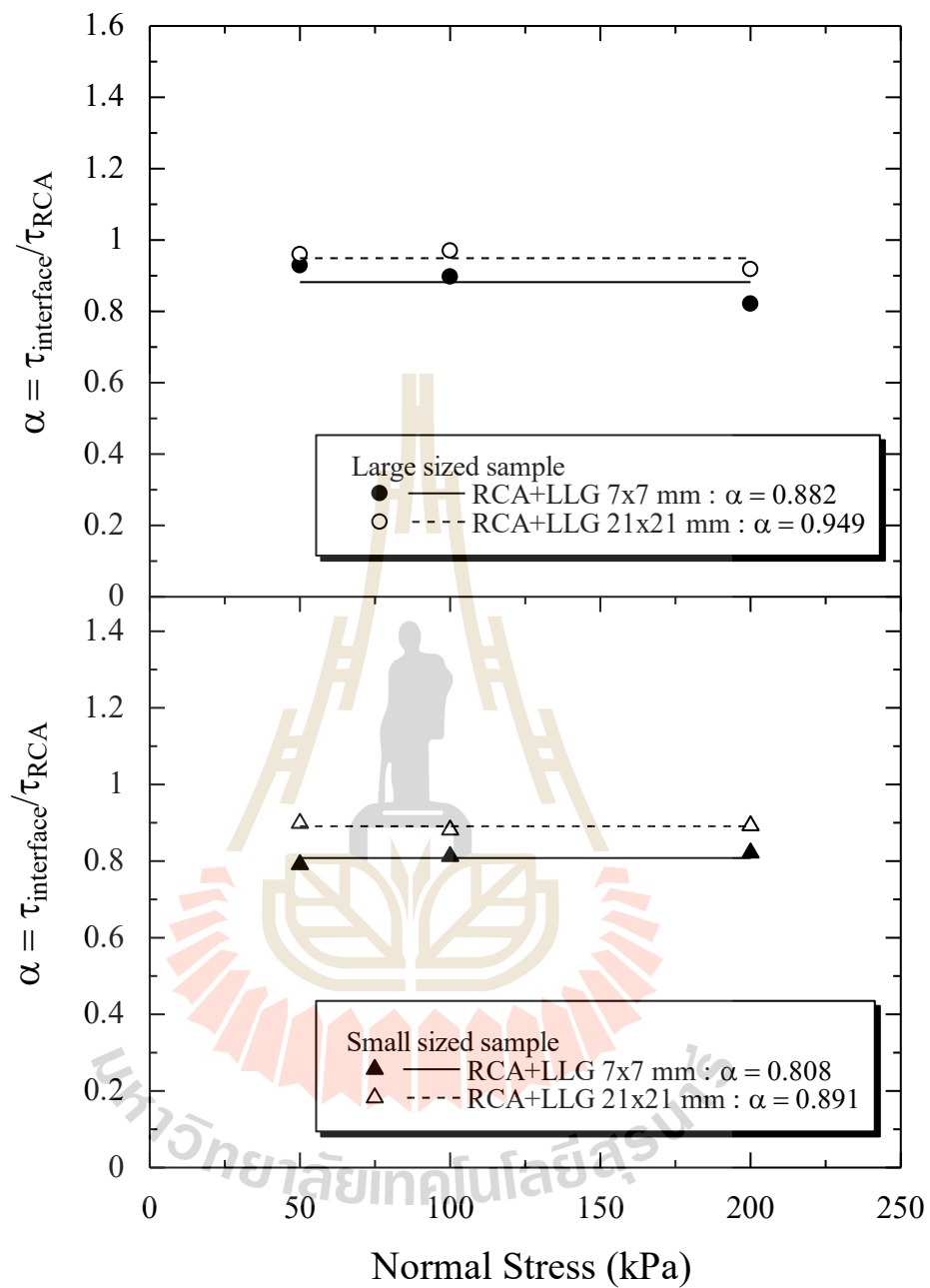
รูปที่ 4.14 พารามิเตอร์กำลังต้านทานความเค้นเฉือนของมวลรวมคอนกรีตรีไซเคิลเสริมจีโอกรีดเส้นใยธรรมชาติที่มีการกระจายขนาดคละที่ขอบเขตบนตามมาตรฐานกรมทางหลวง



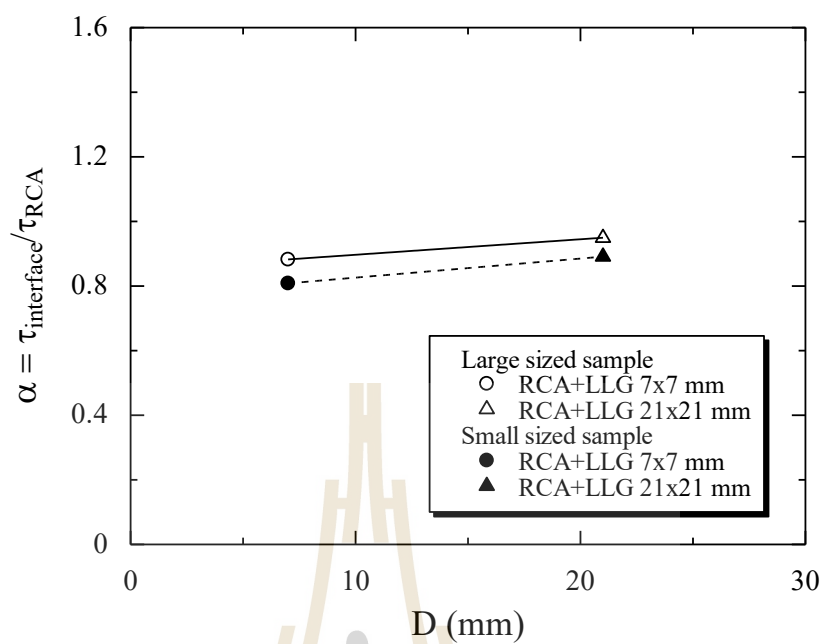
รูปที่ 4.15 ลักษณะของจีโอกริดเส้นใยธรรมชาติก่อนและหลังการทดสอบ

ตารางที่ 4.4 สัมประสิทธิ์กำลังร่วมเฉือนระหว่างมวลรวมคอนกรีตรีไซเคิลและจีโอกริดเส้นใยธรรมชาติ

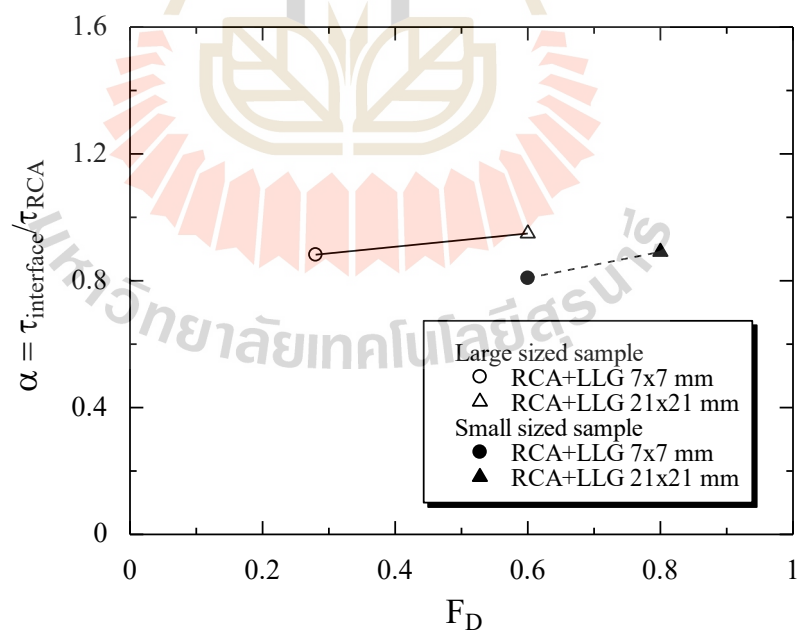
| RCA samples | Aperture width of geogrid, D (mm) | RCA particles finer than aperture width of geogrid, F_D | Interface shear strength coefficient, α |
|-------------|-------------------------------------|---|--|
| Large sized | 7 | 0.28 | 0.882 |
| | 21 | 0.60 | 0.949 |
| Small sized | 7 | 0.60 | 0.808 |
| | 21 | 0.80 | 0.891 |



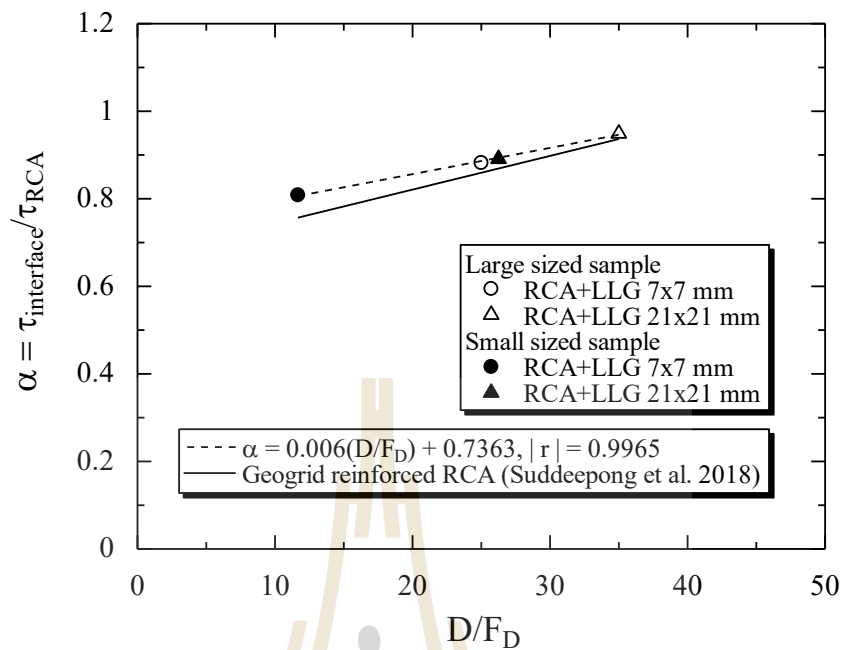
รูปที่ 4.16 ความสัมพันธ์ระหว่างสัมประสิทธิ์กำลังร่วมเฉือนและความเค้นแนวตั้งของมวลรวมคอนกรีตรีไซเคิลเสริมจีโอกรีตเส้นใยธรรมชาติที่มีการกระจายขนาดละเอียดที่ขอบเขตล่างและขอบเขตบนตามมาตรฐานกรมทางหลวง



รูปที่ 4.17 ความสัมพันธ์ระหว่างสัมประสิทธิ์กำลังร่วมเฉือนและขนาดช่องเปิดของจีโอกรีตของมวลรวมคอนกรีตรีไซเคิลเสริมจีโอกรีต



รูปที่ 4.18 ความสัมพันธ์ระหว่างสัมประสิทธิ์กำลังร่วมเฉือนและปริมาณอนุภาคที่มีขนาดเล็กกว่าช่องเปิดของจีโอกรีตของมวลรวมคอนกรีตรีไซเคิลเสริมจีโอกรีต



รูปที่ 4.19 ความสัมพันธ์ระหว่างสัมประสิทธิ์กำลังร่วมเฉือนและอัตราส่วนระหว่างขนาดช่องเปิดและปริมาณอนุภาคที่มีขนาดเล็กกว่าช่องเปิดของจีโอกริดของมวลรวมคอนกรีตรีไซเคิลเสริมจีโอกริด

รูปที่ 4.17 และ 4.18 แสดงอิทธิพลของขนาดของช่องเปิดของจีโอกริดและปริมาณของอนุภาคมวลรวมคอนกรีตรีไซเคิลที่มีขนาดเล็กกว่าช่องเปิดของจีโอกริด ตามลำดับ จากรูปที่ 4.17 จะเห็นว่า ตัวอย่างมวลรวมคอนกรีตรีไซเคิลที่มีการกระจายขนาดละเอียดเดียวกัน เมื่อถูกเสริมด้วยจีโอกริดเส้นใยธรรมชาติที่มีช่องเปิดขนาดใหญ่มากขึ้นทำให้อนุภาคของมวลรวมที่มีขนาดเล็กกว่าช่องเปิดของจีโอกริดเส้นใยธรรมชาติมีจำนวนเพิ่มมากขึ้นส่งผลให้กำลังร่วมเฉือนและสัมประสิทธิ์กำลังร่วมเฉือนของมวลรวมคอนกรีตรีไซเคิลเสริมจีโอกริดเส้นใยธรรมชาติสูง เมื่อพิจารณารูปที่ 4.18 เห็นได้ว่า ปริมาณของอนุภาคมวลรวมคอนกรีตรีไซเคิลที่มีขนาดเล็กกว่าช่องเปิดของจีโอกริดเส้นใยธรรมชาติส่งผลต่อค่าสัมประสิทธิ์กำลังร่วมเฉือน เมื่อพิจารณาตัวอย่างมวลรวมชนิดเดียวกันเมื่อปริมาณอนุภาคมวลรวมคอนกรีตรีไซเคิลที่มีขนาดเล็กกว่าช่องเปิดของจีโอกริดเส้นใยธรรมชาติมีค่าเพิ่มขึ้นค่าสัมประสิทธิ์กำลังร่วมเฉือนมีค่าสูงขึ้น เมื่อพิจารณาความสัมพันธ์ระหว่างสัมประสิทธิ์กำลังร่วมเฉือนของมวลรวมคอนกรีตรีไซเคิลเสริมจีโอกริดเส้นใยธรรมชาติกับอัตราส่วนระหว่างด้านขนาดของช่องเปิดของจีโอกริดเส้นใยธรรมชาติและปริมาณของอนุภาคมวลรวมคอนกรีตรีไซเคิลที่มีขนาดเล็กกว่าช่องเปิดของจีโอกริดเส้นใยธรรมชาติ ดังรูปที่ 4.19

พบว่ามีความสัมพันธ์เกือบเป็นเส้นตรงเดียวกัน เช่นเดียวกับผลการศึกษากำลักร่วมเนียนของมวลรวมคอนกรีตรีไซเคิลเสริมจีโอกรีด (Geogrid reinforced recycled concrete aggregate) ของ Suddepong et al. (2018) ผลจากการวิเคราะห์ ความถดถอยเชิงเส้น (Linear regression analysis) ได้ความสัมพันธ์ดังสมการที่ (4.2)

$$\alpha = 0.006(D/F_D) + 0.736 ; 10 < D/F_D < 35 \quad \dots\dots\dots (4.2)$$

เมื่อ D คือ ขนาดของช่องเปิดของจีโอกรีด มีหน่วยเป็น มิลลิเมตร และ F_D คือ ปริมาณของอนุภาคมวลรวมคอนกรีตรีไซเคิลที่มีขนาดเล็กกว่าช่องเปิดของจีโอกรีดเส้นใยธรรมชาติ ความสัมพันธ์ดังกล่าว มีประโยชน์ในการประมาณค่าสัมประสิทธิ์กำลักร่วมเนียนของมวลรวมคอนกรีตรีไซเคิลเสริมจีโอกรีดเส้นใยธรรมชาติ สำหรับมวลรวมคอนกรีตรีไซเคิลที่มีการกระจายขนาดคละภายในขอบเขตบน และขอบเขตล่างตามมาตรฐานกรมทางหลวง เมื่อทราบขนาดของช่องเปิดของจีโอกรีดเส้นใยธรรมชาติ และการกระจายขนาดคละของมวลรวมคอนกรีตรีไซเคิล

บทที่ 5

สรุปและข้อเสนอแนะ

5.1 สรุปผลการศึกษา

งานวิจัยนี้ศึกษาเส้นใยปอ (Kenaf) ที่ถักสานเป็น โครงตาข่ายในลักษณะเรียบ (Plain pattern) โดยที่มีขนาดช่องเปิด (Opening Size) ที่แตกต่างกันของโครงตาข่าย มี 2 ขนาดดังนี้ 7 และ 21 มิลลิเมตร เพื่อเป็นวัสดุเสริมแรงให้แก่มวลรวมคอนกรีตรีไซเคิล โดยศึกษาปฏิกิริยาร่วมเดือนในพจน์ของคุณสมบัติของจีโอกรีตเส้นใยธรรมชาติ (ขนาดช่องเปิด) และคุณสมบัติของมวลรวมคอนกรีตรีไซเคิล (การกระจายขนาดและกำลังต้านทานแรงเฉือน) ผลการทดสอบจะนำมาเปรียบเทียบกับผลทดสอบแรงเฉือนของมวลรวมคอนกรีตรีไซเคิล ประเด็นสำคัญของงานวิจัยสามารถสรุปได้ดังนี้

5.1.1 กำลังร่วมเดือนระหว่างมวลรวมคอนกรีตรีไซเคิลและจีโอกรีตเส้นใยธรรมชาติ มีค่าน้อยกว่ากำลังต้านทานแรงเฉือนของมวลรวมคอนกรีตรีไซเคิลปราศจากการเสริมจีโอกรีตเส้นใยธรรมชาติ เนื่องจากการลดลงของการขัดกัน (interlocking) ระหว่างอนุภาคของมวลรวมคอนกรีตรีไซเคิลในบริเวณที่มีการเสริมจีโอกรีตเส้นใยธรรมชาติ ซึ่งเป็นบริเวณที่ถูกเหนี่ยวนำให้เกิดหน้าตัดเฉือน (shear plane) สำหรับมวลรวมที่มีการกระจายขนาดละเอียดเดียวกัน เมื่อขนาดช่องเปิดของจีโอกรีตเส้นใยธรรมชาติมีขนาดใหญ่มากขึ้นกำลังร่วมเดือนระหว่างมวลรวมคอนกรีตรีไซเคิลและจีโอกรีตเส้นใยธรรมชาติมีค่าเพิ่มมากขึ้น เนื่องจากการขัดกันของอนุภาคที่มีขนาดเล็กกว่าจีโอกรีตเส้นใยธรรมชาติที่เพิ่มมากขึ้น และเมื่อพิจารณาการเสริมจีโอกรีตเส้นใยธรรมชาติขนาดเดียวกันกำลังร่วมเดือนของมวลรวมคอนกรีตรีไซเคิลที่ขอบเขตล่างมีค่าสูงกว่าขอบเขตบน เนื่องจากอิทธิพลของขนาดเฉลี่ย (D_{50}) ที่มีขนาดใหญ่เช่นเดียวกับผลทดสอบหาลำกำลังต้านทานของมวลรวมคอนกรีตรีไซเคิลปราศจากการเสริมจีโอกรีตเส้นใยธรรมชาติ

5.1.2 สมการกำลังร่วมเดือนที่นำเสนอในงานวิจัยนี้สร้างขึ้นในรูปของสัมประสิทธิ์กำลังร่วมเดือน (α) ซึ่งเป็นอัตราส่วนระหว่างกำลังร่วมเดือนของมวลรวมคอนกรีตรีไซเคิลเสริมจีโอกรีตเส้นใยธรรมชาติและมวลรวมคอนกรีตรีไซเคิลปราศจากการเสริมจีโอกรีตเส้นใยธรรมชาติ สมการดังกล่าวสามารถใช้ทำนายกำลังร่วมเดือนของมวลรวมคอนกรีตรีไซเคิลเสริมจีโอกรีตเส้นใยธรรมชาติเพียงต้องการกำลังต้านทานแรงเฉือนของมวลรวมคอนกรีตรีไซเคิลขนาดช่องเปิดของจีโอกรีตเส้นใยธรรมชาติ และการกระจายขนาดละเอียดของมวลรวมคอนกรีตรีไซเคิล

เอกสารอ้างอิง

- ธวัชชัย ตัดชัยสวัสดิ์. (2556). การใช้เส้นใยธรรมชาติเป็นวัสดุเสริมแรงเพื่อเพิ่มเสถียรภาพและป้องกันการชะล้างพังทลายของลาดดิน. สำนักงานกองทุนสนับสนุนการวิจัย. กรุงเทพมหานคร.
- ปรีดิเทพ อนุจร และเอนก สิ้นวีรุทัย. (2548). การเสริมไหล่คันทางความชันสูงด้วยวัสดุสังเคราะห์สำหรับการเสริมกำลัง. ส่วนสำรวจและประเมินสภาพทาง สำนักวิศวกรรมและตรวจสอบ กรมทางหลวง: กรุงเทพมหานคร.
- สุขสันต์ หอพิบูลสุข. (2559). ปฏิกริยาร่วมเนื้อระหว่างมวลรวมคอนกรีตรีไซเคิลและจีโอกริด. มหาวิทยาลัยเทคโนโลยีสุรนารี. นครราชสีมา.
- ดิถี แห่งเชาวนิช และนายวิทร ชินพนธ์. (2543). การใช้หญ้าแฝกเพื่อเสริมเสถียรภาพเชิงลาดและควบคุมการชะล้างพังทลาย เพื่อประยุกต์ในงานวิศวกรรม. เอกสารทางวิชาการหมายเลข 2543/1 เครื่องข่ายหญ้าแฝกประเทศไทย สำนักงานคณะกรรมการพิเศษ เพื่อประสานงานโครงการอันเนื่องมาจากพระราชดำริ (กปร.). ISBN 9747773988, 9789747773989.
- ทล-ม. 203/2556. (2558). มาตรฐานพื้นทางหินคลุกผสมซีเมนต์. กรมทางหลวง ประเทศไทย.
- Abu-Farsakh, M., Coronel, J., and Tao, M. (2007) **Effect of soil moisture content and dry density on cohesive soil-geosynthetic interactions using large direct shear tests.** J. Mater. Civ. Eng., 10.1061/(ASCE) 0899-1561(2007)19:7(540), 540-549.
- Anand, S. (2008). **Designer natural fiber geotextiles - A new concept.** Indian Journal of Fiber & Textile Research, Vol. 33, pp. 339-344.
- ASTM. (2006). **Standard test method for resistance to degradation of small-size coarse aggregate by abrasion and impact in the Los Angeles machine.** ASTM-C131, West Conshohocken, PA.
- ASTM. (2012). **Standard test method for density, relative density (specific gravity), and absorption of coarse aggregate.** ASTM-C127-12, West Conshohocken, PA.
- ASTM. (2008). **Standard test method for determining the coefficient of soil and geosynthetic or geosynthetic and geosynthetic friction by the direct shear method.** ASTM-D5321, West Conshohocken, PA.

- ASTM. (2009). **Standard test methods for laboratory compaction characteristics of soil using modified effort**. ASTM-D1557, West Conshohocken, PA.
- ASTM. (2015). **Standard test method for determining tensile properties of geogrids by the single or multi-rib tensile method**. ASTM-D6637, West Conshohocken, PA.
- ASTM. (2012). **Standard test method for CBR (California Bearing Ratio) of laboratory-compacted soils**. ASTM-D1883, West Conshohocken, PA.
- Askew, M. F. (2000). **Summary Report—Fibre Crops**. IENICA, Ref. 1495, Chapter 5, August 2000, pp. 23–38.
- Arulrajah, A., Rahman, M. A., Piratheepan, J., Bo, M. W., and Imteaz, M. A. (2013). **Interface Shear Strength Testing of Geogrid-Reinforced Construction and Demolition Materials**. *Advances in Civil Engineering Materials* 2(1), 189-200.
- Arulrajah, A., Disfani, M. M., Horpibulsuk, S., Suksiripattanapong, C., and Prongmanee, N. (2014a). **Physical properties and shear strength responses of recycled construction and demolition materials in unbound pavement base/subbase applications**. *Construction and Building Materials* 58, 245–257.
- Arulrajah, A., Rahman, M. A., Piratheepan, J., Bo, M. W., and Imteaz M. A. (2014b). **Evaluation of interface shear strength properties of geogrid-reinforced construction and demolition materials using a modified large-scale direct shear testing apparatus**. *Journal of Materials in Civil Engineering* 26(5), 974–982.
- Arulrajah, A., Ali M. M. Y., Disfani, M. M., and Horpibulsuk, S. (2014c). **Recycled-glass blends in pavement base/subbase applications: laboratory and field evaluation**. *Journal of Materials in Civil Engineering* 26(7), Article ID04014025.
- Arulrajah, A., Horpibulsuk, S., Maghoolpilehrood, F., Samingthong, W., Du, Y.J., and Shen, S.L. (2015). **Evaluation of Interface Shear Strength Properties of Geogrid Reinforced Foamed Recycled Glass Using a Large-Scale Direct Shear Testing Apparatus**. *Advances in Materials Science and Engineering* 2015(2015), Article ID235424.
- Beckman, W. K., Mills, W. H. (1957). **Cotton fabric reinforced roads**. *Engineering News Records* Vol. 115, No. 14, pp. 453–455.

- Chandrakaran, S., Sankar, N. and Subaida, E. A. (2008). **Performance of unpaved road section reinforced with woven coir geotextile**. Proceedings Indian Geotechnical Conference, December 17-19, 2008, Bangalore, INDIA.
- Davidovits, J. (1991). **Geopolymers: inorganic polymeric new materials**. Journal of Thermal Analysis, 37(8), 1633-1656.
- Dinu, I. and Saska, M. (2007). **Production and properties of soil erosion control mats made from sugarcane bagasse**. Journal American Society of Sugar Cane Technologists, Vol. 27, pp. 36-47.
- Kirby, R. H. (1963), **Vegetable fibres**. World Crops Books, Leonard Hill Ltd., London, UK.
- Lee, K., and Manjunath, V.R. (2000). **Soil-geotextile interface friction by direct shear tests** *Can. Geotech. J.*, 37(1), 238-252.
- Lekha, K. R. (2004). **Field instrumentation and monitoring of soil erosion in coir geotextile stabilized slopes- A case study**. Geotextiles and Geomembranes, Vol. 22, pp. 399-413.
- Ling, H.I., Wang, J. P., and Leshchinsky, D. (2008). **Cyclic behaviour of soil-structure interfaces associated with modular-block reinforced soil-retaining walls**. Geosynth. Int., 15(1), 14-21.
- Liu, C.N., Zornberg, J.G., Chen, T.C., Ho, Y.H. and Lin, B.H. (2009a). **Behavior of geogrid sand interface in direct shear mode**. Journal of Geotechnical and Geoenvironmental Engineering 135(12), 1863-1871.
- Liu, C.N., Ho, Y.H. and Huang, J.W. (2009b). **Large scale direct shear tests of soil/pet-yarn geogrid interfaces**. Geotextiles and Geomembranes 27(1), 19-30.
- Mandal, J. N. (1989). **Geojute**. International Geotextile Society News, Vol. 5, No. 3, November, CANADA, p. 12.
- McCartney, J.S., and Zornberg, J. G., and Swan, R. H. Jr. (2009). **Analysis of a large database of gcl-geomembrane interface shear strength results**. J. Geotech. Geoenviron. Eng., 10.1061/(ASCE) 1090-0241(2009)135:2(209), 209-223.
- Methacanon, P., Weerawatsophon, U., Sumransin, N., Prahsarn C. and Bergado, D. T. (2010). **Properties and potential application of the selected natural fibers as limited life geotextiles**. Carbohydrate Polymers, doi:10.1016/j.carbpl.2010.06.036 (in press).

- Mwasha, A. (2009). **Designing bio-based geotextiles for reinforcing an embankment erected on soft soil.** *Materials and Design*, Vol. 30, No. 7, pp. 2657–2664.
- Mwasha, A. and Petersen A. (2010). **Thinking outside the box: The time dependent behavior of a reinforced embankment on soft soil.** *Materials and Design*, Vol. 31, pp. 2360–2367.
- Palomo, A., Grutzeck, M., and Blance, M. T. (1999). **Alkali-Activated Fly Ashes: A Cement for the Future.** *Cement and Concrete Research*, 8, 1323-1329.
- Sarsby, R. W., Ali, M., Alwis, R., de Khaffaf, J. H. and McDougall, J. M. (1992). **The use of natural and low cost soil reinforcement.** *Proceeding of International Conference on Nonwoven*, The Textile Institute, New Delhi, pp. 297-310.
- Sarsby, R. W. (2007). **Use of ‘Limited Life Geotextiles’ (LLGs) for basal reinforcement of embankment built on soft clay.** *Geotextiles and Geomembranes*, Vol. 25, Issue 4-5, pp. 302-310.
- Subaida, E. A., Chandrakaran, S. and Sankar, N. (2008). **Experimental investigations on tensile and pullout behaviour of woven coir geotextiles.** *Geotextiles and Geomembranes*, Vol. 26, pp. 384-392.
- Suddepong, A., Sari, N., Horpibulsuk, S., Chinkulkijniwat, A. and Arulrajah, A. (2018). **Interface shear behaviours between recycled concrete aggregate and geogrids for pavement applications.** *International Journal of Pavement Engineering*. doi.org/10.1080/10298436.2018.1453609.

ประวัติผู้เขียน

นายชนินันท์ นันทะเสนา เกิดวันที่ 3 กรกฎาคม 2535 ที่อยู่ปัจจุบัน เลขที่ 448 หมู่ 7 ต.โพธิ์กลาง อ.เมือง จ.นครราชสีมา การศึกษามัธยมศึกษาปีที่ 6 โรงเรียนบุญวัฒนา จ.นครราชสีมา การศึกษาปริญญาตรีวิศวกรรมศาสตรบัณฑิต สาขาวิชาวิศวกรรมโยธา สำนักวิชาวิศวกรรมศาสตร์ มหาวิทยาลัยเทคโนโลยีสุรนารี ปี 2557 หลังจบการศึกษาทำงานบริษัทเอกชน ปี 2559 ศึกษาต่อปริญญาโทวิศวกรรมศาสตรมหาบัณฑิต สาขาการบริหารงานก่อสร้างและสาธารณูปโภค สำนักวิชาวิศวกรรมศาสตร์ มหาวิทยาลัยเทคโนโลยีสุรนารี จนถึงปัจจุบัน

